

**PENGARUH SERANGAN RUSHING TERHADAP PROTOCOL AD
HOC ON DEMAND DISTANCE VECTOR (AODV) PADA
JARINGAN MOBILE AD HOC NETWORKS (MANET)**

SKRIPSI

Untuk memenuhi sebagian persyaratan
memperoleh gelar Sarjana Komputer

Disusun oleh:

Eldyto Puspa Laksana
145150200111107



**PROGRAM STUDI INFORMATIKA
JURUSAN INFORMATIKA
FAKULTAS ILMU KOMPUTER
UNIVERSITAS BRAWIJAYA
MALANG
2019**



PENGESAHAN

PENGARUH SERANGAN *RUSHING* TERHADAP *PROTOCOL AD HOC ON DEMAND DISTANCE VECTOR (AODV)* PADA JARINGAN *MOBILE AD HOC NETWORKS (MANET)*

SKRIPSI

Diajukan untuk memenuhi sebagian persyaratan memperoleh gelar Sarjana Komputer

Disusun Oleh :

Eldyto Puspa Laksana

NIM: 145150200111107

Skripsi ini telah diuji dan dinyatakan lulus pada
3 Desember 2019

Telah diperiksa dan disetujui oleh:

Dosen Pembimbing 1

Dosen Pembimbing 2

Reza Andria Siregar, S.T., M.Kom.

Achmad Basuki, S.T., M.MG., Ph.D.

NIK: 19790621 200604 1 003

NIK: 19741118 200312 1 002

Mengetahui

Ketua Jurusan **Teknik Informatika**

Tri Astoto Kurniawan, S.T., M.T, Ph.D.

NIK: 19790621 200604 1 003



PERNYATAAN ORISINALITAS

Saya menyatakan dengan sebenar-benarnya bahwa sepanjang pengetahuan saya, di dalam naskah skripsi ini tidak terdapat karya ilmiah yang pernah diajukan oleh orang lain untuk memperoleh gelar akademik di suatu perguruan tinggi, dan tidak terdapat karya atau pendapat yang pernah ditulis atau diterbitkan oleh orang lain, kecuali yang secara tertulis disitasi dalam naskah ini dan disebutkan dalam daftar referensi.

Apabila ternyata didalam naskah skripsi ini dapat dibuktikan terdapat unsur-unsur plagiasi, saya bersedia skripsi ini digugurkan dan gelar akademik yang telah saya peroleh (sarjana) dibatalkan, serta diproses sesuai dengan peraturan perundang-undangan yang berlaku (UU No. 20 Tahun 2003, Pasal 25 ayat 2 dan Pasal 70).

Malang, 3 Desember 2019



Eldyto Puspa Laksana

NIM: 14515020011107



PRAKATA

Puji Syukur kehadiran Allah Bapa Yang Maha Kuasa yang mengaruniakan anak-Nya yang tunggal Tuhan Yesus Kristus yang telah memberikan berkat karunia-Nya sehingga laporan skripsi yang berjudul "Pengaruh Serangan *Rushing* Terhadap *Protocol Ad Hoc On Demand Distance Vector (Aodv)* Pada Jaringan *Mobile Ad Hoc Networks (Manet)*" ini dapat terselesaikan. Penulis ingin menyampaikan rasa hormat dan terimakasih kepada :

1. Reza Andria Siregar, S.T., M.Kom. selaku dosen pembimbing 1 yang telah meluangkan waktu untuk membimbing dan memberikan masukan ilmu, arahan serta nasihat dan masukan kepada penulis sehingga dapat menyelesaikan skripsi ini dengan baik.
2. Achmad Basuki, S.T., M.MG., Ph.D. selaku dosen pembimbing 2 yang telah meluangkan waktu untuk membimbing dan memberikan masukan ilmu, arahan serta nasihat dan masukan kepada penulis sehingga dapat menyelesaikan skripsi ini dengan baik.
3. Bayu Priyambadha, S.Kom., M.Kom. selaku dosen pembimbing akademik.
4. Tri Astoto Kurniawan, S.T., M.T, Ph.D. selaku Ketua Jurusan Teknik Informatika Fakultas Ilmu Komputer Universitas Brawijaya.
5. Wayan Firdaus Mahmudy, S.Si, M.T., P.hD. selaku Dekan Fakultas Ilmu Komputer Universitas Brawijaya.
6. Bapak Budyo Leksono dan Ibu Arie Utami Yanuarti selaku orang tua penulis atas segala doa, dukungan, dan kepercayaan dalam bentuk apapun dalam menyelesaikan skripsi ini
7. Semua pihak yang tidak dapat penulis sebutkan satu persatu. Untuk yang terlibat secara langsung maupun tidak langsung dalam penyelesaian skripsi ini.

Semoga Allah Bapa senantiasa memberikan berkat karunia-Nya untuk semua pihak yang telah membantu dan mendukung penyelesaian skripsi ini. Dengan segala kekurangan penulis mengharapkan untuk memberikan kritik dan saran sebagai acuan pada penelitian selanjutnya. Semoga skripsi ini dapat memberikan manfaat untuk semua pihak yang menggunakannya.

Malang, 3 Desember 2019

Eldyto Puspa Laksana
eldyto180395@gmail.com

ABSTRAK

Eldyto Puspa Laksana, Pengaruh Serangan *Rushing* Terhadap *Protocol Ad Hoc On-Demand Distance Vector (Aodv)* Pada Jaringan *Mobile Ad Hoc Networks (Manet)*.

Pembimbing: Reza Andria Siregar, S.T., M.Kom. dan Achmad Basuki, S.T, M.MG, Ph.D

Abstrak

Mobile Ad Hoc Networks (MANET) adalah salah satu jenis jaringan nirkabel yang ada saat ini, dimana *mobile nodes* diasosiasikan dengan tidak terencana atau disebut *ad hoc*. Terdapat berbagai jenis protokol routing pada MANET dan salah satunya adalah *reactive routing*. Salah satu contoh algoritme *reactive routing* adalah Ad hoc On-Demand Distance Vector (AODV). Serangan *rushing* memanfaatkan RREQ pada *route discovery* untuk menjadi *node* penghubung antara *source* dan *destination* paket data pada jaringan. Jumlah *node* yang digunakan 30 *node*, 40 *node*, 50 *node*. Simulasi tersebut dilakukan menggunakan *Network Simulator (NS-2.35)*. Serangan *rushing* memberikan dampak pada routing protokol AODV dengan menurunkan kinerjanya. Dengan dibuktikan dari nilai *packet delivery ratio*, *packet loss*, *throughput*, dan *end to end delay* yang turun kualitasnya. Penurunan nilai *packet delivery ratio* paling banyak terjadi pada implementasi 3 serangan *rushing* pada 30 *node* yaitu sebesar 20,35 %, untuk kenaikan nilai *packet loss* paling banyak pada implementasi 3 serangan *rushing* pada 30 *node* yaitu sebesar 20,35%, untuk penurunan nilai *throughput* paling banyak pada implementasi 3 serangan *rushing* pada 30 *node* yaitu sebesar 20,75 kbps, dan untuk kenaikan nilai *end to end delay* paling banyak pada implementasi 3 serangan *rushing* pada 40 *node* yaitu sebesar 770,8293 ms.

Kata kunci: MANET, AODV, *Rushing*, NS-2.35

ABSTRACT

Eldyto Puspa Laksana, Pengaruh Serangan *Rushing* Terhadap *Protocol Ad Hoc On Demand Distance Vector (Aodv)* Pada Jaringan *Mobile Ad Hoc Networks (Manet)*.

Supervisors: Reza Andria Siregar, S.T., M.Kom. dan Achmad Basuki, S.T, M.MG, Ph.D

Mobile Ad Hoc Networks (MANET) is one type of wireless network that exists today, where mobile nodes are associated with unplanned or called ad hoc. There are various types of routing protocols on MANET and one of them is reactive routing. One example of reactive routing algorithms is Ad hoc On-Demand Distance Vector (AODV). Rush attacks use RREQ on route discovery to become a connecting node between the source and destination data packets on the network. The number of nodes used is 30 nodes, 40 nodes, 50 nodes. The simulation was carried out using Network Simulator (NS-2.35). Rush attacks have an impact on routing the AODV protocol by reducing its performance. It is proven by the value of the packet delivery ratio, packet loss, throughput, and end to end delay, which decreases in quality. The most decline in the value of the packet delivery ratio occurs in the implementation of 3 rushing attacks at 30 nodes, namely 20.35%, to increase the value of packet loss mostly in the implementation of 3 rushing attacks at 30 nodes, namely 20.35%, to decrease the most throughput value there are many on the implementation of 3 rushing attacks on 30 nodes, namely 20.75 kbps, and for increasing the end to end delay the most is the implementation of 3 rushing attacks on 40 nodes, namely 770,8293 ms.

Keywords : *MANET, AODV, Rushing, NS-2.35*

DAFTAR ISI

PENGESAHAN	ii
PERNYATAAN ORISINALITAS	iii
PRAKATA.....	iv
ABSTRAK.....	v
ABSTRACT.....	vi
DAFTAR TABEL.....	ix
DAFTAR GAMBAR.....	x
DAFTAR LAMPIRAN.....	xii
BAB 1 PENDAHULUAN.....	1
1.1 Latar Belakang.....	1
1.2 Rumusan Masalah.....	2
1.3 Tujuan.....	2
1.4 Manfaat.....	2
1.5 Batasan Masalah.....	3
1.6 Sistematika Pembahasan.....	3
BAB 2 LANDASAN PUSTAKA.....	5
2.1 Tinjauan Pustaka.....	5
2.2 Dasar Teori.....	6
2.2.1 Mobile Ad Hoc Network.....	6
2.2.2 <i>Ad Hoc On-Demand Distance Vector (AODV)</i>	7
2.2.3 Rushing.....	8
2.2.4 Quality of Service (QoS).....	10
2.2.5 <i>Random Way Point</i>	12
BAB 3 METODOLOGI PENELITIAN.....	13
3.1 Alur Metode Penelitian.....	13
3.2 Studi Literatur.....	14
3.3 Analisis Kebutuhan.....	14
3.3.1 Kebutuhan Perangkat Keras.....	14
3.3.2 Kebutuhan Perangkat Lunak.....	14



3.4 Perancangan Sistem	14
3.4.1 Perancangan Simulasi	15
3.4.2 Perancangan Area Simulasi	15
3.4.3 Perancangan Letak <i>Node</i>	15
3.4.4 Perancangan Serangan	15
3.4.5 Perancangan Pergerakan <i>Node</i>	15
3.4.6 Perancangan Parameter Pengujian	15
3.5 Implementasi	16
3.6 Analisis Hasil	16
3.7 Kesimpulan	16
BAB 4 PERANCANGAN SISTEM	17
4.1. Perancangan Simulasi	17
4.2 Perancangan Area Simulasi	18
4.3 Perancangan Serangan Rushing	18
4.4 Perancangan Pergerakan <i>Node</i>	21
4.5 Perancangan Parameter Pengujian	22
BAB 5 IMPLEMENTASI	23
5.1 Implementasi Tanpa Serangan <i>Rushing</i>	25
5.2 Implementasi Dengan Serangan <i>Rushing</i>	28
BAB 6 HASIL DAN ANALISIS	38
6.1 Hasil	38
6.1.1 Hasil Implementasi Tanpa Serangan <i>rushing</i>	38
6.1.2 Hasil Implementasi Dengan Serangan <i>rushing</i>	41
6.2 Analisis	48
BAB 7 KESIMPULAN	49
7.1 Kesimpulan	49
7.2 Saran	49
DAFTAR PUSTAKA	50



DAFTAR TABEL

Tabel 2.1 Tinjauan Pustaka 5

Tabel 2.2 Kategori *Packet Loss* 11

Tabel 2.3 Parameter Baris Perintah untuk Menjalankan Setdest 12

Tabel 4.1 Parameter Simulasi 17

Tabel 4.2 Pseudocode AODV 20

Tabel 4.3 Pseudocode AODV dengan Serangan *Rushing* 21

Tabel 4.4 Tabel Variabel File AWK 22

Tabel 5.1 Penambahan fungsi `nsaddr_t` malicious pada `aodv.h` 23

Tabel 5.2 Inisialisasi Serangan Pada `aodv.cc` 23

Tabel 5.3 Penambahan Nilai Malicious Pada Constructor di `AODV.cc` 23

Tabel 5.4 Penambahan Fungsi pada *Routing Table* 24

Tabel 5.5 Penambahan Fungsi untuk Serangan *Rushing* 24

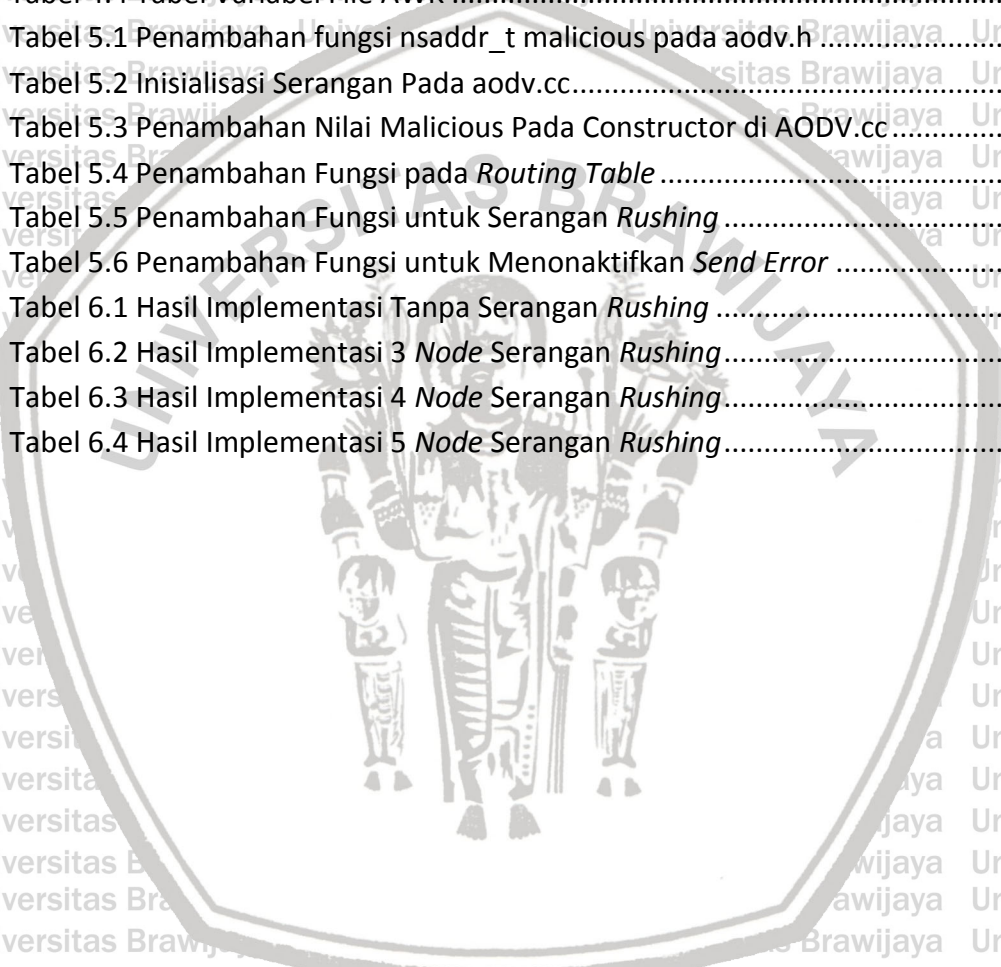
Tabel 5.6 Penambahan Fungsi untuk Menonaktifkan *Send Error* 25

Tabel 6.1 Hasil Implementasi Tanpa Serangan *Rushing* 38

Tabel 6.2 Hasil Implementasi 3 *Node* Serangan *Rushing* 41

Tabel 6.3 Hasil Implementasi 4 *Node* Serangan *Rushing* 43

Tabel 6.4 Hasil Implementasi 5 *Node* Serangan *Rushing* 46



DAFTAR GAMBAR

Gambar 2.1 Jaringan MANET	7
Gambar 2.2 Mekanisme Pencarian Rute	7
Gambar 2.3 Mekanisme Pemeliharaan Jalur	8
Gambar 2.4 Serangan <i>Rushing</i>	9
Gambar 2.5 <i>Node Attacker</i> Dekat <i>Source Node</i>	9
Gambar 2.6 <i>Node Attacker</i> Dekat <i>Destination Node</i>	10
Gambar 2.7 <i>Node Attacker</i> Dimana Saja	10
Gambar 3.1 Diagram Alir Penelitian	13
Gambar 4.1 Diagram Alir Perancangan Serangan <i>Rushing</i>	19
Gambar 4.2 Diagram Alir untuk Mendapatkan Hasil Perhitungan	22
Gambar 5.1 30 <i>Node</i> Tanpa Serangan <i>Rushing</i>	25
Gambar 5.2 Hasil Implementasi 30 <i>Node</i> Tanpa Serangan <i>Rushing</i>	26
Gambar 5.3 40 <i>Node</i> Tanpa Serangan <i>Rushing</i>	26
Gambar 5.4 Hasil Implementasi 40 <i>Node</i> Tanpa Serangan <i>Rushing</i>	27
Gambar 5.5 50 <i>Node</i> Tanpa Serangan <i>Rushing</i>	27
Gambar 5.6 Hasil Implementasi 50 <i>Node</i> Tanpa Serangan <i>Rushing</i>	28
Gambar 5.7 30 <i>Node</i> dengan Jumlah Serangan <i>Rushing</i> 3 <i>Node</i>	28
Gambar 5.8 Hasil Implementasi 3 Serangan <i>Rushing</i> pada 30 <i>Node</i>	29
Gambar 5.9 40 <i>Node</i> dengan Jumlah Serangan <i>Rushing</i> 3 <i>Node</i>	29
Gambar 5.10 Hasil Implementasi 3 Serangan <i>Rushing</i> pada 40 <i>Node</i>	30
Gambar 5.11 50 <i>Node</i> dengan Jumlah Serangan <i>Rushing</i> 3 <i>Node</i>	30
Gambar 5.12 Hasil Implementasi 3 Serangan <i>Rushing</i> pada 50 <i>Node</i>	31
Gambar 5.13 30 <i>Node</i> dengan Jumlah Serangan <i>Rushing</i> 4 <i>Node</i>	31
Gambar 5.14 Hasil Implementasi 4 Serangan <i>Rushing</i> pada 30 <i>Node</i>	32
Gambar 5.15 40 <i>Node</i> dengan Jumlah Serangan <i>Rushing</i> 4 <i>Node</i>	32
Gambar 5.16 Hasil Implementasi 4 Serangan <i>Rushing</i> pada 40 <i>Node</i>	33
Gambar 5.17 50 <i>Node</i> dengan Jumlah Serangan <i>Rushing</i> 4 <i>Node</i>	33
Gambar 5.18 Hasil Implementasi 4 Serangan <i>Rushing</i> pada 50 <i>Node</i>	34
Gambar 5.20 30 <i>Node</i> dengan Jumlah Serangan <i>Rushing</i> 5 <i>Node</i>	34
Gambar 5.21 Hasil Implementasi 5 Serangan <i>Rushing</i> pada 30 <i>Node</i>	35
Gambar 5.22 40 <i>Node</i> dengan Jumlah Serangan <i>Rushing</i> 5 <i>Node</i>	35
Gambar 5.23 Hasil Implementasi 5 Serangan <i>Rushing</i> pada 40 <i>Node</i>	36
Gambar 5.24 50 <i>Node</i> dengan Jumlah Serangan <i>Rushing</i> 5 <i>Node</i>	36
Gambar 5.25 Hasil Implementasi 5 Serangan <i>Rushing</i> pada 50 <i>Node</i>	37
Gambar 6.1 Grafik <i>Packet Delivery Ratio</i> Tanpa Serangan <i>Rushing</i>	39
Gambar 6.2 Grafik <i>Packet Loss</i> Tanpa Serangan <i>Rushing</i>	39



Gambar 6.3 Grafik *Throughput* Tanpa Serangan *Rushing* 40

Gambar 6.4 Grafik *End to End Delay* Tanpa Serangan *Rushing* 40

Gambar 6.5 Grafik *Packet Delivery Ratio* dari 3 Node Serangan *Rushing* 41

Gambar 6.6 Grafik *Packet Loss* dari 3 Node Serangan *Rushing* 42

Gambar 6.7 Grafik *Throughput* dari 3 Node Serangan *Rushing* 42

Gambar 6.8 Grafik *End to End Delay* dari 3 Node Serangan *Rushing* 43

Gambar 6.9 Grafik *Packet Delivery Ratio* dari 4 Node Serangan *Rushing* 44

Gambar 6.10 Grafik *Packet Loss* dari 4 Node Serangan *Rushing* 44

Gambar 6.11 Grafik *Throughput* dari Serangan 4 Node Serangan *Rushing* 45

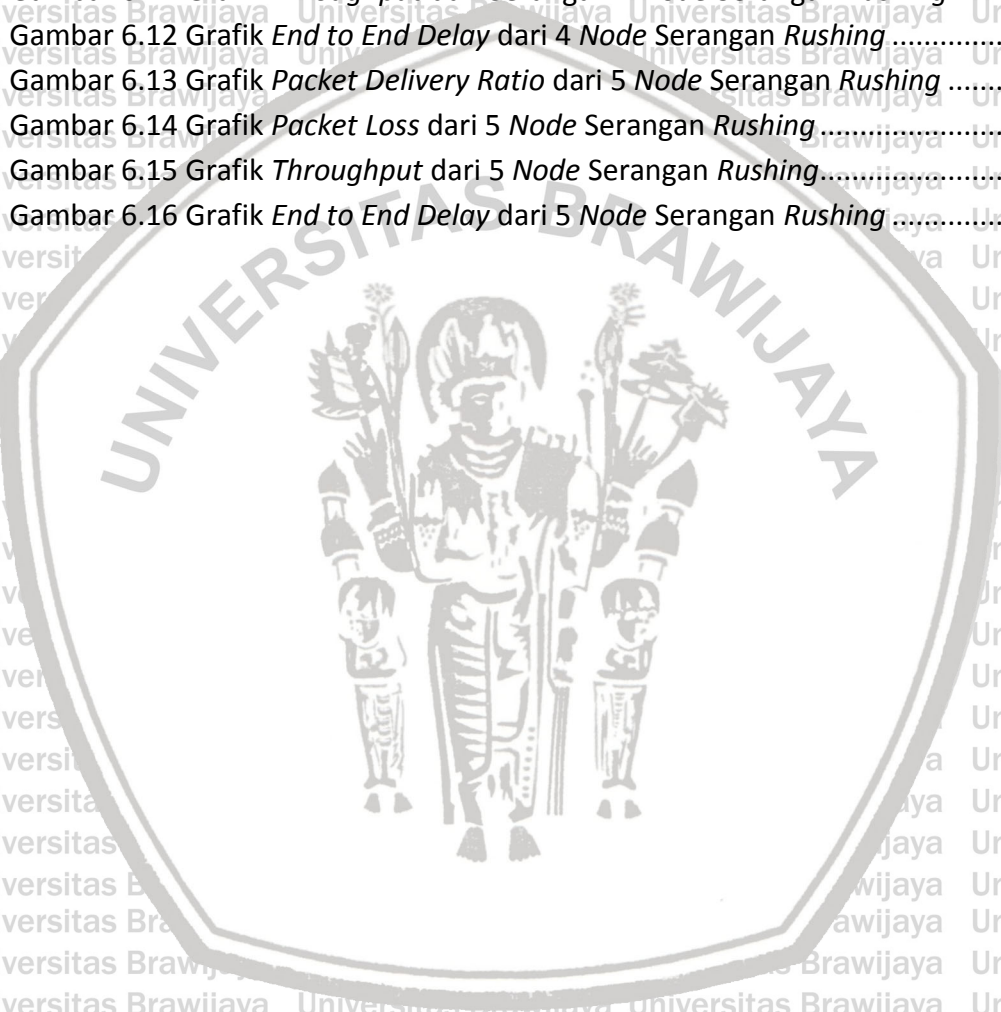
Gambar 6.12 Grafik *End to End Delay* dari 4 Node Serangan *Rushing* 45

Gambar 6.13 Grafik *Packet Delivery Ratio* dari 5 Node Serangan *Rushing* 46

Gambar 6.14 Grafik *Packet Loss* dari 5 Node Serangan *Rushing* 47

Gambar 6.15 Grafik *Throughput* dari 5 Node Serangan *Rushing* 47

Gambar 6.16 Grafik *End to End Delay* dari 5 Node Serangan *Rushing* 48



DAFTAR LAMPIRAN

LAMPIRAN 1 *SCRIPT* AODV.TCL 52

LAMPIRAN 2 SKENARIO PERGERAKAN NODE 55

LAMPIRAN 3 *TRACE FILE* 61

LAMPIRAN 4 FILE AWK 68



BAB 1 PENDAHULUAN

1.1 Latar Belakang

Mobile Ad Hoc Networks (MANET) adalah salah satu jenis jaringan nirkabel yang ada saat ini, dimana *mobile nodes* diasosiasikan dengan tidak terencana atau disebut *ad hoc*. MANET dapat melakukan *self-forming* dan *self-healing* dimana hal tersebut memungkinkan komunikasi antara *mobile nodes* tidak bergantung pada sumber daya yang terpusat atau infrastruktur tetap (Cisco, 2018). Kemampuan *self-forming* dan *self-healing* pada MANET dapat memberikan manfaat dalam memenuhi kebutuhan jaringan untuk pengguna atau platform yang memiliki mobilitas tinggi pada wilayah yang belum mempunyai infrastruktur jaringan. MANET dapat digunakan untuk pemulihan bencana, pertambangan, transportasi, dan pertahanan. MANET memungkinkan komunikasi tanpa adanya infrastruktur tetap. MANET dapat diterapkan sebagai salah satu alternatif infrastruktur jaringan dalam membantu komunikasi antar *node*. Terdapat berbagai jenis protokol routing pada MANET dan salah satunya adalah *reactive routing*. *Reactive routing* akan mengirimkan paket *Route Request* (RREQ) ke semua *node* yang ada di suatu jaringan untuk menemukan rute. Salah satu contoh algoritme *reactive routing* adalah Ad hoc On-Demand Distance Vector (AODV).

AODV merupakan *distance vector routing protocol* yang termasuk dalam kelompok reaktif *routing protocol*, yang *me-request* sebuah rute hanya pada saat dibutuhkan. AODV mempunyai ciri-ciri utama yaitu menjaga *timer-based state* setiap *node* sesuai dengan penggunaan tabel *routing*. AODV mempunyai *route discovery* dan *route maintenance*. *Route Discovery* berupa RREQ dan *Route Reply* (RREP). Sedangkan *Route Maintenance* berupa Data, *Route update* dan *Route Error* (RRER) (Sari, Syarif, & Budiardjo, 2010).

Serangan-serangan yang ada saat ini mempunyai karakteristik yang berbeda, dari perbedaan karakteristik tersebut serangan dalam MANET dibedakan menjadi serangan lalu lintas data dan serangan lalu lintas *control*. Serangan lalu lintas data akan membuang atau menahan data melalui *node malicious* hal ini akan menurunkan kualitas layanan dan meningkatkan *end to end delay*, hingga dapat menghilangkan data yang penting, contohnya *blackhole*, *grayhole*. Pada serangan lalu lintas *control* akan mengganggu jaringan dengan memanipulasi *routing table* sehingga *node malicious* seolah-olah berada pada rute terpendek dan serangan lalu lintas *control* dapat mencuri data yang dikirimkan dari *source node* menuju *destination node*, contohnya *rushing*, *wormhole* (Bhattacharyya, 2011).

Serangan *rushing* memanfaatkan RREQ pada *route discovery* untuk menjadi *node* penghubung antara *source* dan *destination* paket data pada jaringan. Dalam kerjanya, *node* yang menjadi penyerang akan menempatkan dirinya pada jaringan dengan posisi yang paling dekat dengan *node* tujuan. Ketika *source node* mengirimkan RREQ ke jaringan, maka *node* penyerang akan mengirimkan RREQ

juga ke *destination node*. *Node* penyerang akan berusaha secepat mungkin untuk mengirimkan RREQ ke *destination node*. Ketika *destination node* menerima RREQ tercepat yang tiba kepadanya, maka *destination node* akan memberi jawaban RREP ke jaringan tanpa memperhatikan asal RREQ yang diterimanya. Dengan demikian, jalur paket data yang akan digunakan oleh jaringan adalah jalur dengan melewati *node* penyerang tersebut. (Seyyedtaj & Jamali, 2014).

Pada penelitian ini membahas serangan *rushing* pada AODV karena memiliki alasan tersendiri. Serangan *rushing* memanipulasi *control* dari *node malicious*, hal ini bertujuan agar rute yang terbentuk akan melewati *node malicious* sehingga paket yang dikirim dapat dicuri atau ditahan oleh *node malicious*. Efek dari serangan *rushing* sangat merugikan, hal ini menarik untuk diteliti.

Dengan media transmisi yang terbuka MANET, kesempatan untuk menyerang MANET akan selalu ada. Sebelum membangun komunikasi yang aman *node* yang saling terhubung harus dapat saling mengidentifikasi satu sama lain dengan cara masing-masing *node* diberikan identitas yang sudah diautentikasi dan dilindungi sehingga keasliannya dan integritas dari identitas masing-masing *node* (Bayu Aji, 2015).

1.2 Rumusan Masalah

Berdasarkan dari latar belakang yang telah dijelaskan dapat diambil rumusan masalah sebagai berikut :

1. Bagaimana kinerja dari *routing protocol* AODV pada MANET ketika terdapat serangan *rushing*?
2. Bagaimana dampak yang ditimbulkan dari serangan *rushing* terhadap *routing protocol* AODV pada MANET dilihat dari parameter ukur yang terpengaruh?

1.3 Tujuan

Tujuan yang ingin diperoleh pada penelitian ini adalah, diantaranya:

1. Dapat mengetahui karakteristik dari serangan *rushing*.
2. Dapat mengetahui kinerja dari *routing protocol* AODV pada *Mobile Ad Hoc Networks* (MANET) jika mendapatkan serangan *rushing*.
3. Mengetahui dampak yang ditimbulkan dari serangan *rushing*.

1.4 Manfaat

Manfaat yang didapatkan dari penelitian ini adalah sebagai berikut.

- Memberikan kontribusi ilmiah pada penelitian mengenai serangan pada jaringan MANET terutama serangan *rushing*
- Memberikan referensi baru mengenai serangan pada MANET terutama serangan *rushing*
- Mendapatkan pengetahuan mengenai *routing* protokol AODV pada MANET.

- Mendapatkan wawasan mengenai serangan pada jaringan MANET

1.5 Batasan Masalah

Batasan masalah pada penelitian ini adalah sebagai berikut.

1. Pada pengerjaan hanya memilih satu algoritme *routing* yaitu AODV.
2. Banyaknya *node* yang digunakan sudah ditentukan sebelum pengujian dimulai.
3. Waktu simulasi yang akan dilakukan telah ditetapkan sebelum pengujian dilakukan.
4. Parameter pengujian yang dipakai pada penelitian antara lain *Packet Delivery Ratio (PDR)*, *Throughput*, *End to end delay*, dan *Packet Loss*
5. Skenario disimulasikan dengan memakai *Network Simulator 2.35*.

1.6 Sistematika Pembahasan

Sistematika pembahasan adalah uraian dalam penyusunan penelitian ini yang dijelaskan sebagai berikut.

BAB 1 Pendahuluan

Isi dari bab ini diantaranya latar belakang dari masalah, rumusan masalah, tujuan dan manfaat, identifikasi dan pembatasan masalah, serta sistematika penulisaan.

BAB 2 Landasan pustaka

Bab ini membahas tentang teori-teori dari bermacam sumber pustaka yang berkaitan dengan penelitian ini sebagai referensi dalam penelitian.

BAB 3 Metode Penelitian

Bab ini menjelaskan tahapan-tahapan dalam pengerjaan penelitian diantaranya studi literatur, analisis kebutuhan, perancangan sistem, implementasi, analisis, dan kesimpulan.

BAB 4 Perancangan Sistem

Bab ini menjelaskan perancangan sistem yang dipakai pada penelitian ini yang berisi perancangan simulasi, perancangan area simulasi, perancangan letak posisi *node*, perancangan serangan *rushing*, perancangan pergerakan *node*, dan perancangan parameter pengujian

BAB 5 Implementasi

Isi dari bab ini adalah proses implementasi dari penelitian terhadap *routing* protokol *Ad hoc On-Demand Distance Vector (AODV)* ketika mendapatkan serangan *rushing* dengan memakai *Network Simulator 2.35*.

BAB 6 Hasil dan Analisis

Bab ini merupakan hasil dan analisis dari implementasi serangan *rushing* pada *routing* protokol *Ad hoc On-Demand Distance Vector* (AODV)

BAB 7 Kesimpulan

Isi dari bab ini adalah kesimpulan yang didapat dari hasil implementasi. Pada bab ini juga berisi saran dari hasil pengujian yang sudah dilakukan serta perkembangan dari penelitian yang perlu ditingkatkan.



BAB 2 LANDASAN PUSTAKA

Bab ini berisi beberapa pustaka yang membantu penelitian ini. Landasan pustaka berisi beberapa penelitian terdahulu terpaut dengan *Simulation of Gray Hole Attack in Adhoc Network Using NS2* dan *Impact of Serangan rushing on Multicast in Mobile Ad Hoc Network*. Jurnal penelitian terdahulu, penulis jadikan rujukan, objek kajian, dan bagian dalam membantu penelitian ini.

2.1 Tinjauan Pustaka

Beberapa penelitian sebelumnya dijadikan oleh penulis sebagai pegangan untuk melakukan penelitian ini.

Tabel 2.1 Tinjauan Pustaka

Judul Penelitian	Persamaan	Pembeda	
		Penelitian Terdahulu	Rencana Penelitian
V. Palanisamy dan P. Annadurai, 2009. <i>Impact of Serangan rushing on Multicast in Mobile Ad Hoc Network</i>	Melakukan implementasi serangan <i>rushing</i> pada MANET	Jumlah <i>node</i> 50 – 100 <i>node</i> dan <i>malicious node</i> berjumlah 1 namun diletakkan dekat dengan <i>source node</i> dan <i>destination node</i> .	Jumlah <i>node</i> 30, 40, dan 50 dan <i>rushing attack node</i> berjumlah 3, 4, dan 5
	Implementasi menggunakan NS 2	Menggunakan perhitungan <i>delay</i> sebagai pengujian performa	Menggunakan perhitungan <i>Packet loss</i> , <i>Packet Delivery Ratio</i> (PDR), <i>End to End Delay</i> , <i>Throughput</i> .
	Menggunakan protokol <i>routing</i> AODV	Menggunakan	Luas area yang digunakan 500 x 500
Ms. Meenakshi dan Mr. Kapil Kumar Kaswan, 2014. <i>Simulation of Gray Hole Attack in Adhoc Network Using NS2</i>	Implementasi menggunakan NS 2	Melakukan implementasi serangan <i>grey hole</i> pada MANET	
	Pengujian performa menggunakan <i>Throughput</i> , <i>End</i>		<i>Simulation time</i> 30 sec <i>Simulation time</i> 500 sec

	<i>to end delay dan Packet delivery ratio</i>		
	Menggunakan protokol <i>routing</i> AODV	Menggunakan perhitungan <i>packet loss</i> sebagai pengujian performa	Menggunakan perhitungan <i>Packet Delivery Ratio (PDR), End to End Delay, Throughput.</i>

Diatas pada tabel 2.1 merupakan penelitian terdahulu yang penulis jadikan sebagai pegangan untuk melakukan penelitian ini dan terdapat faktor persamaan dan pembeda dari penelitian sebelumnya dengan penelitian yang oleh penulis lakukan.

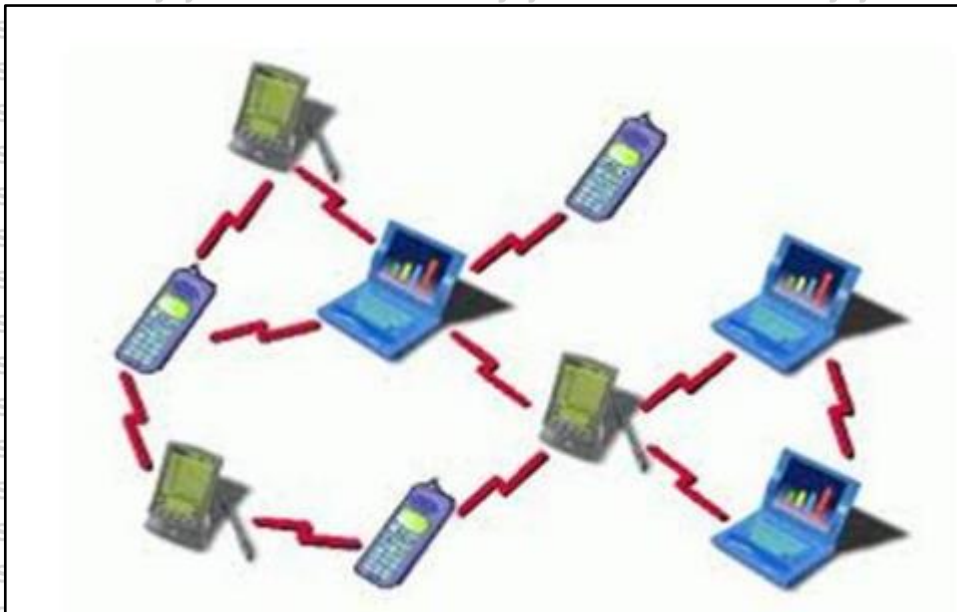
2.2 Dasar Teori

Dasar teori menjelaskan beberapa teori dan beberapa faktor yang diperlukan dan aplikasi yang membantu pada penelitian ini.

2.2.1 Mobile Ad Hoc Network

Mobile ad-hoc network (MANET) adalah suatu jaringan yang terdiri dari beberapa perangkat bergerak atau yang disebut *node* tanpa memerlukan prasarana jaringan yang tetap, sehingga membuat jaringan yang bersifat temporer (Saputra, 2011). Setiap *node* dapat berfungsi sebagai *host* maupun *routers* sehingga jaringan dapat terbentuk dimana saja dan kapan saja selama dua atau lebih *node* terhubung dan saling berkomunikasi satu sama lain baik secara langsung antara *node* yang saling berhubungan maupun melalui simpul yang terbentuk dari *node* yang saling terhubung sesuai dengan topologinya dikarenakan fleksibilitas dari MANET (Roy, 2011). *Node* yang berperan sebagai router bisa bergerak dengan bebas dan dapat mengatur diri sendiri sehingga topologi jaringan dari MANET dapat berubah dengan cepat dan tidak terduga. Tiap *node* pada MANET dilengkapi dengan antena yang dapat menerima dan mengirimkan sinyal dapat secara terarah (*point to point*), *omni directional* (*broadcast*), atau kombinasi dari keduanya (Jadhav, Kulkarni, & Menon, 2014).





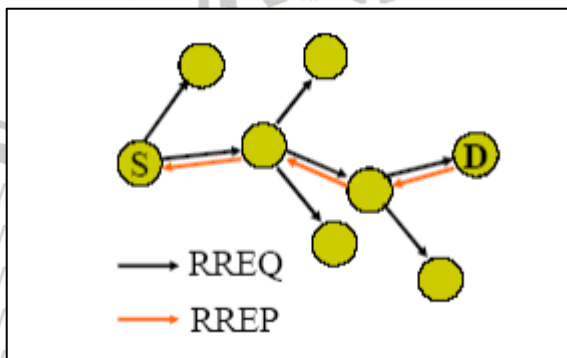
Gambar 2.1 Jaringan MANET

Sumber : Jayanti (2014)

Dalam gambar 2.1 menunjukkan MANET terbentuk dari beragam *mobile platform* yang simple sebagai *node* yang bergerak secara bebas dan acak.

2.2.2 Ad Hoc On-Demand Distance Vector (AODV)

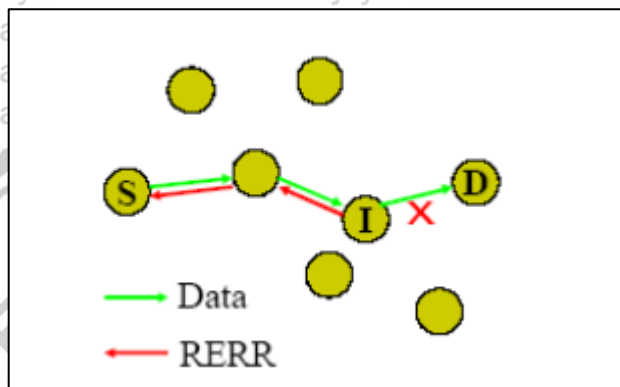
AODV merupakan salah satu protokol *routing reactive* artinya protokol ini akan bekerja ketika ada permintaan untuk mengirimkan data. Pada protokol ini terdapat tiga pesan utama yang digunakan untuk proses pembentukan jalur dan pemeliharaan jalur yaitu: *route request* (RREQ), *route replay* (RREP), dan *route error* (RRER). AODV berjalan secara dinamis, *self-starting*, dan *routing multihop* (Sari, Syarif, & Budiardjo, 2010) .



Gambar 2.2 Mekanisme Pencarian Rute

Sumber : (Sari, Syarif, & Budiardjo, 2010)

Pencarian jalur (*Path discovery*) atau *Route discovery* diawali dengan menyebarkan RREP, seperti dalam Gambar 2.2. Saat RREP menjelajahi *node* RREP dapat otomatis membentuk jalur. Jika *node* menerima RREP, maka *node* tersebut akan mengirimkan RREP lagi ke *node* atau *destination sequence number*. Pada proses ini, *node* pertama kali akan mengecek *destination sequence number*. Pada proses ini, *node* pertama kali memeriksa *destination sequence number* pada tabel *routing*, apakah lebih besar dari 1 (satu) pada RREQ, jika benar, maka *node* akan mengirim RREP. Ketika RREP berjalan kembali ke source melalui *path* yang telah di-setup, ia akan men-setup jalur kedepan dan meng-update *timeout*.



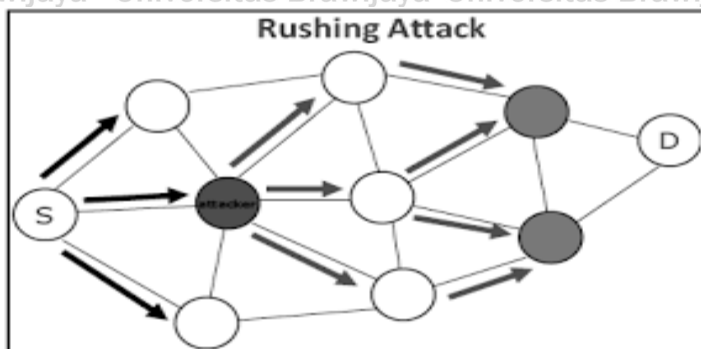
Gambar 2.3 Mekanisme Pemeliharaan Jalur

Sumber : (Sari, Syarif, & Budiardjo, 2010)

Jika sebuah *link* ke *hop* berikutnya tidak terdeteksi dengan metode penemuan rute, maka *link* tersebut dinyatakan terputus dan RERR akan disebarkan ke *node* tetangganya seperti dalam Gambar 2.3. Sebuah *node* dapat menghentikan pengiriman data melalui rute ini dan meminta rute baru dengan menyebarkan RREQ kembali.

2.2.3 Rushing

Serangan *rushing* memanfaatkan RREQ pada *route discovery* untuk menjadi *node* penghubung antara *source* dan *destination* paket data pada jaringan. Dalam kerjanya, *node* yang akan menjadi penyerang akan menempatkan dirinya pada jaringan dengan posisi yang paling dekat dengan *node* tujuan. Ketika *source node* mengirimkan RREQ ke jaringan, maka *node* penyerang akan mengirimkan RREQ juga ke *destination node*. *Node* penyerang akan berusaha secepat mungkin untuk mengirimkan RREQ ke *destination node*. Ketika *destination node* menerima RREQ tercepat yang tiba kepadanya, maka *destination node* akan memberi jawaban RREP ke jaringan tanpa memperhatikan asal RREQ yang diterimanya. Dengan demikian, jalur paket data yang akan digunakan oleh jaringan adalah jalur dengan melewati *node* penyerang tersebut. (Seyyedtaj & Jamali, 2014).



Gambar 2.4 Serangan *Rushing*

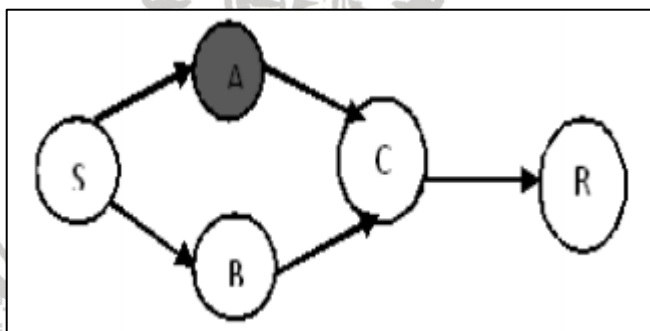
Sumber : (Jain & Sharma, 2014)

Pada gambar 2.4 menunjukkan mekanisme serangan *rushing*. *Attacker node* seolah-olah menjadi jalur terpendek sehingga data dikirim melalui *attacker node* dan data tersebut akan diduplikasi oleh *attacker node*.

Paket RREQ dalam protokol *On Demand Routing* diteruskan untuk menemukan rute mencapai tujuan dan meminimalkan *overhead* dalam jaringan dengan mengirimkan paket permintaan rute pertama ke tujuan untuk menemukan rute. Penyerang mendapatkan paket RREQ dari *source node* atau di sekitar *node* lainnya lalu meneruskannya untuk mencapai tujuan lebih cepat daripada *node* lainnya. Sehingga *node receiver* menganggapnya sebagai paket RREQ yang dikirim oleh *source node* dengan mengotentikasi *node*. Sehingga *destination node* akan membuang paket RREQ yang baru tiba dan menetapkan rute antara *source node* dan *destination node* dengan penyerang di tengah untuk mendapatkan akses antara dua *node* (Thilagarasi & Geetha, 2015).

Serangan *rushing* dapat berada dimana saja dalam jaringan, seperti berikut :

- Serangan berada di dekat *sender*



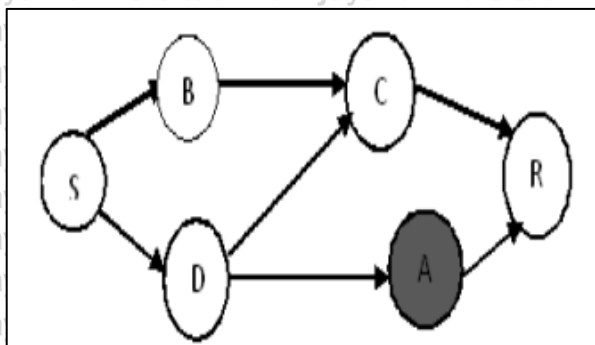
Gambar 2.5 *Node Attacker Dekat Source Node*

Sumber : (Thilagarasi & Geetha, 2015)

Pada gambar 2.5 *node attacker* A berada didekat *source node*. Paket RREQ berasal dari *source node* S meneruskan paket *request* ke *node* A dan *node* B. *Node* A atau *node attacker* dengan cepat meneruskan paket ke *node* C daripada *node* B, maka paket dari *node* A yang melalui *node* C tiba lebih dulu di *node* R dari pada paket dari *node* B.

- Serangan berada di dekat *receiver*



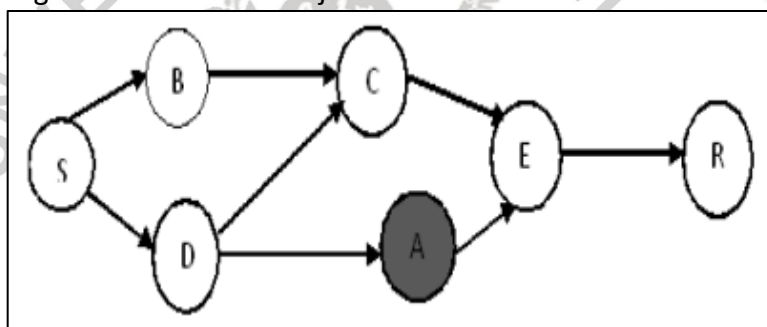


Gambar 2.6 Node Attacker Dekat Destination Node

Sumber : (Thilagarasi & Geetha, 2015)

Pada gambar 2.6 *node attacker* A berada di dekat *destination node*. Di sini paket RREQ dimulai dari S *source node* diteruskan ke B & D, kemudian B meneruskannya ke C dan D meneruskan paket ke A & C, *node attacker* A kemudian meneruskannya dengan cepat ke *node R* daripada *node C*. Akhirnya R membuang paket yang terakhir tiba dari *node* lainnya.

Serangan berada dimana saja



Gambar 2.7 Node Attacker Dimana Saja

Sumber : (Thilagarasi & Geetha, 2015)

Pada gambar 2.7 *node attacker* A berada di tengah-tengah jaringan. Paket *request route* dimulai oleh S *source node*, lalu meneruskannya ke B & D, *node B* meneruskannya ke C, *node D* meneruskan paket ke C & A, E mendapat paket permintaan yang dikirim oleh *node attacker* A dari C. Akhirnya R *destination node* menerima paket permintaan yang dikirim oleh *node attacker* daripada *node* lainnya.

2.2.4 Quality of Service (QoS)

Quality of Service (QoS) adalah kemampuan sebuah jaringan untuk menyediakan layanan yang lebih baik bagi layanan trafik yang melewatinya. Baik atau buruknya kualitas dan kemampuan suatu jaringan dapat diukur dari kinerja jaringan tersebut. Parameter *Quality of Service* terdiri dari :

a. *Throughput*

Throughput adalah banyaknya *byte* yang diterima pada waktu tertentu dengan satuan *byte/second* atau dengan kata lain kondisi data *rate* sebenarnya

pada sebuah jaringan. *Throughput* dapat dinyatakan dengan rumus sebagai berikut:

$$\text{Throughput} = \frac{\text{jumlah paket yang diterima}}{\text{total waktu pengamatan}} \times \text{ukuran paket}$$

Throughput dapat mengalami penurunan yang diakibatkan oleh adanya jarak yang jauh antara *source node* dengan *destination node* sehingga bertambahnya jumlah *hop routing*. Semakin besar nilai *throughput* maka semakin baik pula kinerja sebuah jaringan.

b. *End to End Delay*

End to end delay adalah waktu yang terjadi pada saat proses pengiriman suatu paket dari titik awal menuju titik tujuan. *end to end delay* terdiri dari waktu pengiriman, propagasi, proses, dan antrian dari suatu paket pada setiap *node* dalam jaringan. *end to end delay* dapat dirumuskan sebagai berikut :

$$\text{End to end delay} = \frac{\text{waktu paket diterima} - \text{waktu paket dikirimkan}}{\text{jumlah paket yang dikirim}}$$

Faktor utama yang memberikan pengaruh pada *end to end delay* adalah waktu yang digunakan untuk menemukan rute, hal ini dikarenakan sebelum mengirimkan pesan *node* harus mengenal jalur yang akan dilalui untuk mencapai *destination*. Nilai *end to end delay* yang rendah menunjukkan performansi yang baik.

c. *Packet Loss*

Packet loss adalah suatu parameter yang menggambarkan suatu kondisi yang menunjukkan jumlah total paket yang hilang. Beberapa penyebab terjadinya *packet loss* yaitu: tabrakan (*congestion*), memory yang terbatas pada *node*, *node* yang bekerja melebihi kapasitas *buffer*. Hal ini mempengaruhi kinerja sebuah jaringan secara keseluruhan, walaupun *bandwidth* yang tersedia sudah mencukupi. Secara umum terdapat empat kategori penurunan performansi jaringan berdasarkan nilai *packet loss* yaitu seperti tampak pada tabel.

Tabel 2.2 Kategori *Packet Loss*

Kategori Degradasi	<i>Packet Loss</i>
Sangat Bagus	0%-2%
Bagus	3%-14%
Sedang	15%-24%
Buruk	>25%

Sumber : (Iskandar & Hidayat, 2015)

Pada tabel 2.2 dijelaskan kategori dalam *Packet Loss*, terdapat beberapa kategori diantaranya Sangat bagus, Bagus, Sedang, dan Buruk. Untuk mendapatkan nilai *packet loss*, dapat ditentukan dengan rumus :

$$\text{packet loss} = \frac{\text{packet send} - \text{packet received}}{\text{packet send}} \times 100\%$$



d. *Packet Delivery Ratio* (PDR)

Packet delivery ratio (PDR) merupakan rasio antara banyaknya paket yang diterima oleh tujuan dengan banyaknya paket yang dikirimkan oleh sumber. *packet delivery ratio* dapat dijadikan sebagai acuan sebagai tingkat kesuksesan suatu protokol *routing* dalam pencarian dan pemeliharaan rutenya. Semakin tinggi nilai *packet delivery ratio* maka akan semakin baik pula performa jaringan. Untuk mendapatkan nilai *packet delivery ratio*, dapat ditentukan dengan rumus :

$$PDR = \frac{Pr}{Ps} \times 100\%$$

$0 \leq t \leq T$ dimana :

Pr = Paket yang diterima

Ps = Paket yang dikirim

T = Waktu simulasi (detik)

t = Waktu pengambilan sampel (detik)

2.2.5 *Random Way Point*

Random way point merupakan model pergerakan secara acak yang digunakan untuk simulasi. Dalam *random way point node* bergerak secara acak dan bebas tanpa adanya batasan dengan arah dan kecepatan yang sudah ditentukan. Untuk membentuk skenario *random way point* digunakan sebuah *tool* yang terdapat pada NS2, *tool* tersebut bernama *setdest*. Pada *tool setdest node* dapat diatur pergerakannya dan tujuan pergerakannya. Untuk menjalankan *setdest*, diperlukan perintah sebagai berikut :

```
"setdest [-v num of version] [-n num of nodes] [-p pausetime] [-t simtime] [-x max x] [-y max y] > [name file]
```

Parameter yang digunakan pada perintah untuk menjalankan *tool setdest* dijelaskan pada Tabel 2.3.

Tabel 2.3 Parameter Baris Perintah untuk Menjalankan Setdest

No	Parameter	Keterangan
1	-v	Versi yang digunakan
2	-n	Jumlah <i>node</i>
3	-p	Lama waktu <i>node</i> diam ketika tiba di lokasi pergerakan
4	-M	Kecepatan <i>node</i> bergerak
5	-t	Waktu simulasi
6	-x	Panjang maksimal area simulasi
7	-y	Lebar maksimal area simulasi

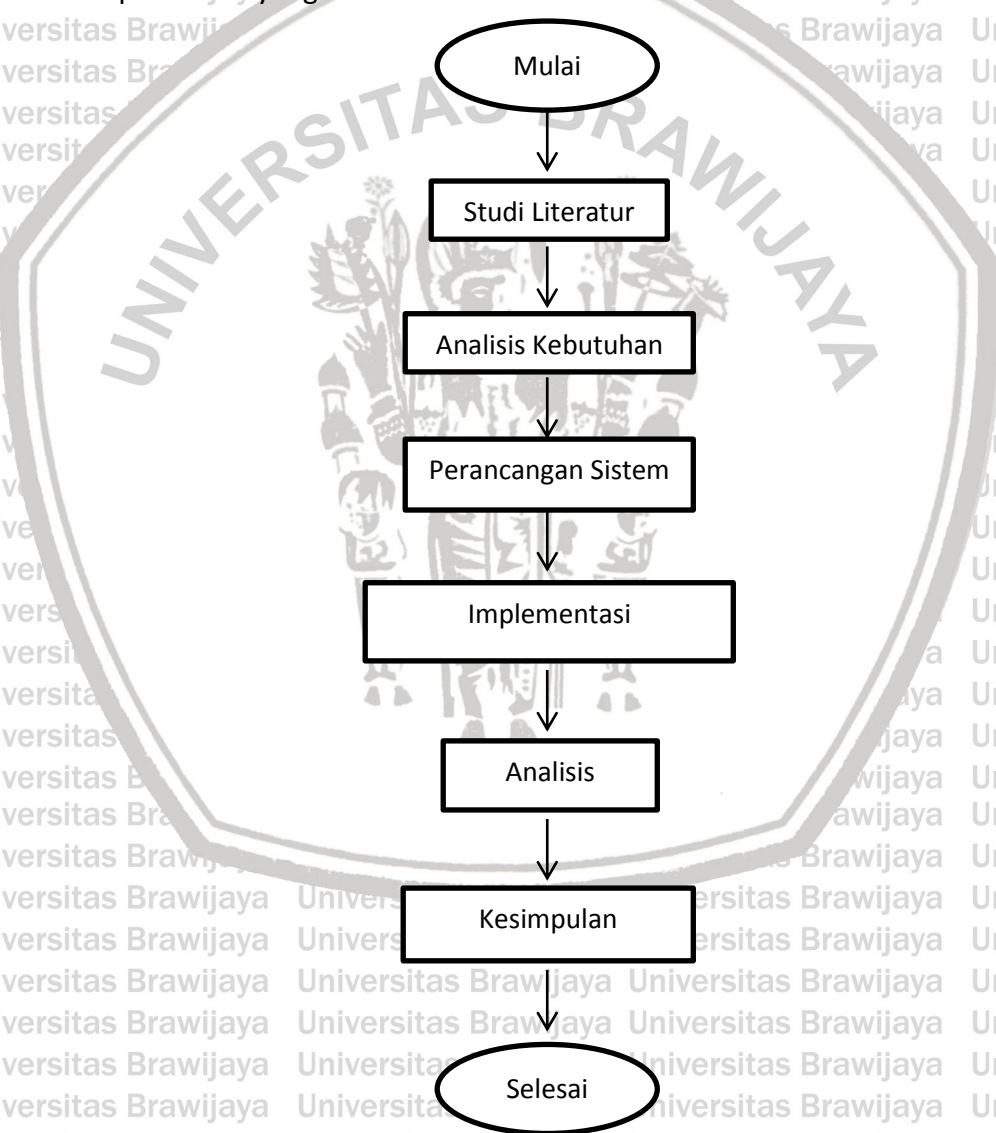


BAB 3 METODOLOGI PENELITIAN

Bab ini berisi mengenai metodologi penelitian yang digunakan pada penelitian ini. Metodologi penelitian membahas tahapan-tahapan dalam melakukan penelitian serta perangkat-perangkat yang digunakan dalam penelitian.

3.1 Alur Metode Penelitian

Alur metode penelitian merupakan suatu tingkatan yang digunakan dalam menyelesaikan penelitian atau dalam penulisan skripsi. Berikut merupakan alur metode penelitian yang dilakukan :



Gambar 3.1 Diagram Alir Penelitian



Pada gambar 3.1 adalah tahapan-tahapan yang digunakan pada penelitian ini dan digambarkan pada bentuk diagram alir.

3.2 Studi Literatur

Studi literatur menggambarkan teori yang dipakai sebagai penunjang dalam perancangan dan pengimplementasian sistem. Untuk dapat merancang sistem tersebut, berikut adalah dasar teori penunjang yang digunakan :

1. Protokol *routing* AODV
2. Serangan Rushing
3. *Network Simulator* 2.35
4. Parameter uji : - *packet delivery ratio*
- *packet loss*
- *throughput*
- *end to end delay*
5. Jenis *node mobility* : *Random way point*

3.3 Analisis Kebutuhan

Analisis kebutuhan dilakukan untuk memahami kebutuhan apa saja yang digunakan oleh sistem untuk melakukan simulasi, sehingga tujuan dari penelitian ini dapat tercapai. Analisis kebutuhan terdapat dua jenis, yaitu analisis kebutuhan perangkat keras dan analisis kebutuhan perangkat lunak. Kebutuhan perangkat keras merupakan suatu perangkat yang akan digunakan untuk menunjang penelitian, seperti laptop. Kebutuhan perangkat lunak merupakan aplikasi atau *software* yang akan digunakan dalam penelitian, misalnya linux.

3.3.1 Kebutuhan Perangkat Keras

Kebutuhan perangkat keras yang dibutuhkan dalam penelitian ini adalah :

- a. Laptop
- b. Prosesor Intel Core i5 @ 1,60 GHz
- c. RAM 4 GB

3.3.2 Kebutuhan Perangkat Lunak

Kebutuhan perangkat lunak yang dibutuhkan untuk mewujudkan sistem dalam penelitian ini, diantaranya adalah :

- a. VirtualBox
- b. Ubuntu 16.04
- c. *Network Simulator* 2.35

3.4 Perancangan Sistem

Pada penelitian ini apabila dilakukan secara langsung akan membutuhkan biaya yang sangat besar. Sehingga pada penelitian ini dilakukan melalui simulasi dengan menggunakan *Network Simulator* 2.35. Simulasi ini dapat dijadikan sebagai gambaran apabila penelitian ini dilakukan secara langsung.

3.4.1 Perancangan Simulasi

Perancangan simulasi adalah perancangan parameter-parameter yang digunakan pada saat melakukan simulasi dengan tujuan agar simulasi dapat berjalan sesuai dengan skenario yang sudah ditentukan. Parameter-parameter yang digunakan misalnya protokol *routing*, model pergerakan, trafik yang digunakan, serta lamanya simulasi dilakukan.

3.4.2 Perancangan Area Simulasi

Perancangan area simulasi dilakukan untuk menentukan seberapa luas area yang akan digunakan untuk melakukan simulasi. Area simulasi ini nantinya menjadi tempat Bergeraknya *node – node* yang akan digunakan pada simulasi. Area simulasi ditentukan melalui sumbu kartesius (X, Y) yang nantinya membentuk luas area simulasi.

3.4.3 Perancangan Letak Node

Perancangan letak *node* bertujuan untuk menentukan posisi *node – node* pada area simulasi yang sudah dibentuk. *Node – node* ini nantinya sebagai penunjang parameter simulasi yang sudah ditentukan. *Node – node* ini akan bervariasi jumlahnya, hal ini bertujuan untuk mengetahui mekanisme serangan *rushing*. *Node – node* ini akan menempati sumbu kartesius (X, Y).

3.4.4 Perancangan Serangan

Perancangan serangan dilakukan dengan memodifikasi algoritma protokol *routing* AODV supaya dapat mengimplementasikan serangan *rushing* pada protokol *routing* AODV. Hal-hal yang ditambahkan pada algoritma protokol *routing* AODV diantaranya dengan menambahkan beberapa fungsi pada mekanisme *route request* dan *forward packet* pada *routing table* agar sifat dari serangan *rushing* dapat diimplementasikan pada simulasi, selain itu juga ditambahkan fungsi dari serangan *rushing* pada algoritma protokol *routing* AODV. Setelah melakukan modifikasi pada algoritma protokol *routing* AODV juga harus ditentukan posisi atau letak dari serangan *rushing* pada simulasi, dimana pada penelitian ini serangan *rushing* dimasukkan dalam beberapa *node* yang sudah dibentuk.

3.4.5 Perancangan Pergerakan Node

Perancangan pergerakan *node* bertujuan untuk menentukan pergerakan *node – node* pada saat simulasi dilakukan. Perancangan pergerakan *node* juga menentukan mekanisme pergerakan *node* yang digunakan karena setiap mekanisme pergerakan *node* memiliki sifat yang berbeda pula. Pada pergerakan *node* beberapa hal yang harus diperhatikan, antara lain waktu *node* bergerak, sumbu kartesius (X, Y) sebagai tujuan untuk bergerak, dan kecepatan bergerak.

3.4.6 Perancangan Parameter Pengujian

Perancangan parameter pengujian bertujuan untuk mendapatkan hasil perhitungan dari simulasi yang digunakan untuk menganalisis data. Parameter pengujian yang digunakan antara lain *packet delivery ratio*, *packet loss*,

throughput, dan *end to end delay*. Setelah selesai menjalankan parameter pengujian selanjutnya dilakukan analisis yang diperoleh dari hasil pengujian.

3.5 Implementasi

Software yang dipakai untuk melakukan simulasi dari perancangan yang sudah dibuat adalah *Network Simulator 2.35* dan *nam* yang digunakan untuk menampilkan simulasi dari *script* yang sudah dibuat. Pada simulator akan diimplementasikan protokol *routing AODV* dan model pergerakan *Random Way Point* dalam bentuk *script* yang dijalankan pada simulator. Berikut faktor pendukung yang dipakai :

1. Algoritme *routing AODV*.
2. Algoritme *routing AODV* yang telah dimodifikasi untuk melakukan serangan *rushing*.
3. Script protokol *routing AODV* dengan parameter-parameter simulasi yang sudah ditentukan, seperti model pergerakan, luas area, jumlah *node*, jumlah *node* serangan, dan waktu simulasi
4. Bahasa pemrograman menggunakan C++

3.6 Analisis Hasil

Analisis hasil dilakukan untuk mengetahui efek yang ditimbulkan dari serangan *rushing*. Hasil analisis dapat diketahui dari hasil perhitungan yang sudah dilakukan dalam parameter pengujian. Dari analisis hasil ini dapat dijadikan dasar untuk menarik kesimpulan.

3.7 Kesimpulan

Pada bagian ini berisi kesimpulan dan saran. Kesimpulan akan dilakukan berdasarkan hasil pengujian yang sudah dianalisa yang kemudian akan menjawab rumusan masalah yang ditentukan di awal. Saran akan berisi tentang usulan dan harapan dari penulis untuk membantu pengembangan jaringan *Mobile Ad Hoc Network* (MANET) terlebih dalam sistem keamanan.

BAB 4 PERANCANGAN SISTEM

Perancangan Sistem mencakup perancangan simulasi, perancangan area simulasi, perancangan letak posisi *node*, perancangan serangan *rushing*, perancangan pergerakan *node*, dan perancangan parameter pengujian

4.1. Perancangan Simulasi

Perancangan simulasi menjelaskan parameter-parameter yang digunakan pada simulasi serangan. Parameter-parameter ini dipakai sebagai dasar pada proses simulasi. Parameter yang berbeda dalam setiap skenario akan menimbulkan perbedaan hasil nantinya.

Tabel 1.1 Parameter Simulasi

Parameter	Nilai
Jumlah Node	30, 40, 50
Jumlah Node Malicious	3,4,5
Jenis Protokol	AODV
Jenis Serangan	<i>Rushing</i>
Simulator	<i>Network Simulator 2.35</i>
<i>Chanel Type</i>	<i>Wireless Channel</i>
<i>Mobility Model</i>	<i>Random Way Point</i>
Model Propagasi	<i>Two Ray Ground</i>
<i>Network Interface</i>	<i>WirelessPhy</i>
<i>Antena Mode</i>	<i>OmniAntenna</i>
Ukuran Paket Data	1024 bytes
Jenis Trafik	CBR (<i>Constant Bit Rate</i>)
Luas Area Jaringan	1000 m x 1000 m
Kecepatan <i>Node</i>	10 m/s
Waktu Simulasi	1000 s

Pada tabel 4.1 menunjukkan parameter-parameter yang digunakan pada simulasi.

Berikut merupakan spesifikasi sistem yang digunakan untuk melakukan simulasi pada penelitian ini :

1. Jumlah *node* yang dipakai dalam simulasi
2. Jumlah *node malicious* yang akan dipakai dalam simulasi
3. Protokol *routing* yang dipakai pada proses simulasi adalah *Ad Hoc on Demand Distnce Vector* (AODV).
4. Jenis serangan yang dipakai adalah serangan *rushing*
5. Simulator yang dipakai untuk melakukan simulasi adalah *Network Simulator* versi 2.35
6. *Channel Type* yang pakai adalah *Wireless Channel*
7. Model mobilitas yang dipakai *Random Way Point*
8. Model propagasi yang dipakai adalah *Two Ray Ground*

9. Menggunakan *WirelessPhy* sebagai *Network Interface*.
10. Menggunakan *Antena Mode Omni Antena*.
11. Ukuran paket yang dipakai sebesar 1024 *bytes*.
12. Jenis trafik yang dipakai CBR (*Constant Bit Rate*).
13. Luas wilayah yang dipakai 1000m x 1000m.
14. Waktu simulasi 1000 sec.

4.2 Perancangan Area Simulasi

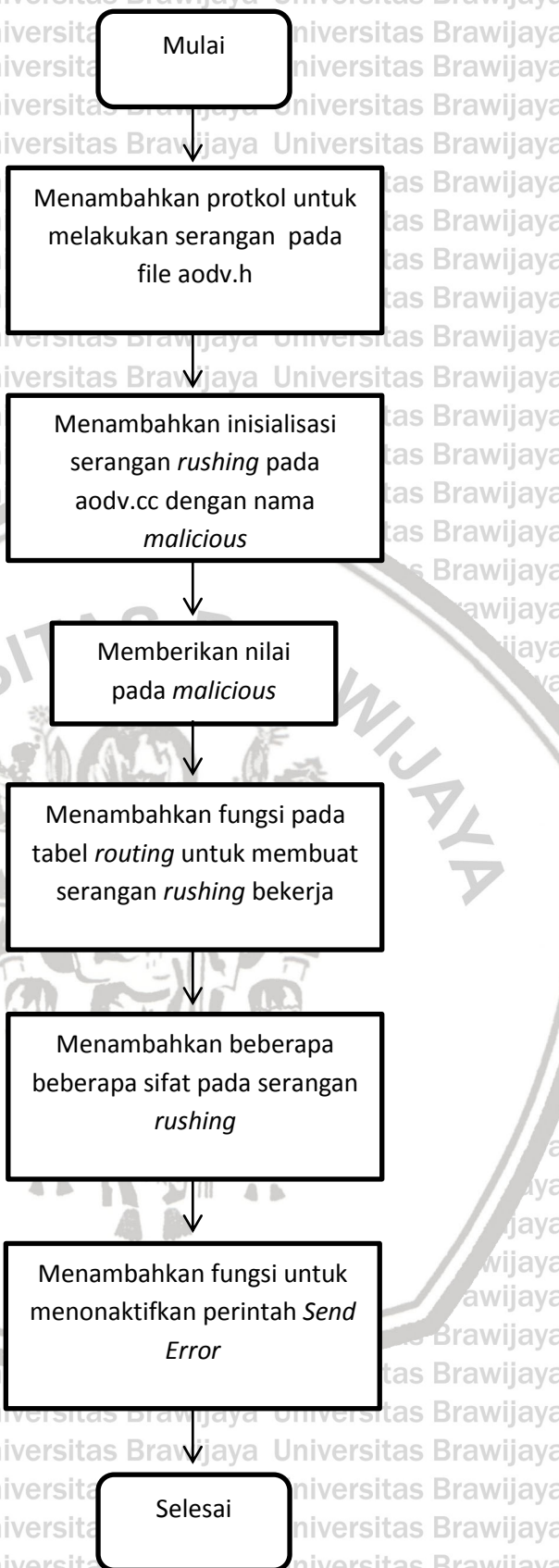
Pada penelitian ini memakai area simulasi dengan luas 1000x1000m dengan berpatokan pada sumbu kartesius (X, Y). Pada area seluas 1000x1000m ini akan di tempatkan *node* dengan variasi jumlah 30, 40, dan 50. Pada luas 1000x1000m ini juga menjadi batas pergerakan *node* pada simulasi.

4.3 Perancangan Serangan Rushing

Pada bagian perancangan serangan menjelaskan mengenai skenario penyerangan pada protokol *routing* AODV dalam jaringan *Mobile Ad Hoc Network* (MANET) dengan menambahkan beberapa fungsi untuk melakukan serangan *rushing* pada protokol *routing* AODV.

1. Pada *aodv.h* ditambahkan sebuah protokol untuk melakukan serangan
2. Pada *aodv.cc* dilakukan inialisasi untuk menambahkan serangan *rushing* dengan nama "rushingattack" dan diberikan nilai sebesar 1000
3. Penambahan fungsi pada tabel *routing*, dimana fungsi ini bertujuan untuk membuat serangan *rushing* dapat berperilaku seperti *node* lainnya yaitu melakukan *route request* namun serangan *rushing* akan melakukan *forward* packet lebih cepat daripada *node* lainnya sehingga rute yang terbentuk akan melalui serangan *rushing*. Fungsi yang ditambahkan inilah merupakan karakteristik dari serangan *rushing*.
4. Serangan *rushing* dapat membuang semua paket data atau beberapa paket data dan juga menahan paket data atau melakukan permintaan ulang (*re-ordering*).
5. Serangan *rushing* akan menjatuhkan paket karena tidak ada rute tujuan. *Node* yang terinfeksi serangan *rushing* harus menonaktifkan pengiriman *error*. Hal ini dimaksudkan agar serangan *rushing* tidak mudah terdeteksi.

Berikut merupakan diagram alir perancangan serangan *rushing* yang ditunjukkan pada gambar 4.1



Gambar 4.1 Diagram Alir Perancangan Serangan Rushing



Pada file .tcl ditambahkan fungsi untuk menjalankan serangan *rushing*. Fungsi yang ditambahkan ini mengambil dari fungsi yang telah ditambahkan pada file aodv.cc. Serangan *rushing* masuk ke dalam *node* yang sudah dibentuk. Serangan *rushing* memanfaatkan *Route Request* (RREQ) pada *route discovery* untuk menjadi *node* penghubung antara *source* dan *destination* paket data pada jaringan. Dalam kerjanya, *node* yang akan menjadi penyerang akan menempatkan dirinya pada jaringan dengan posisi yang paling dekat dengan *node* tujuan. Ketika *source node* mengirimkan RREQ ke jaringan, maka *node* penyerang akan mengirimkan RREQ juga ke *destination node*. *Node* penyerang akan berusaha secepat mungkin untuk mengirimkan RREQ ke *destination node*. Ketika *destination node* menerima RREQ tercepat yang tiba kepadanya, maka *destination node* akan memberi jawaban *Route Reply* (RREP) ke jaringan tanpa memperhatikan asal RREQ yang diterimanya. Dengan demikian, jalur paket data yang akan digunakan oleh jaringan adalah jalur dengan melewati *node* penyerang tersebut. Dibawah ini digambarkan *flowchart* mengenai mekanisme *routing protocol* AODV dan mekanisme serangan *rushing* pada AODV pada tabel 4.2 dan 4.3.

Tabel 4.2 Pseudocode AODV

```

1 //method broadcast RREQ
2 SendRREQ (nodeX)
3 BROADCAST RREQ to Neighbors
4 //method handling RREQ
5 ReceiverRREQ (RREQ, nodeX){
6     If {
7         (nodeX == Destination) UPDATE Route, Send
8         RREP (nodeX, RREQ)
9     }
10    Else {
11        FOWARD RREQ, UPDATE RREQ
12    }
13    UPDATE Route
14 }
15 //method broadcast RREP
16 SendRREP (nodeX, RREQ)
17 BROADCAST RREP to Neighbors
18 //method handling RREP
19 ReceiverRREP (RREP, nodeX){
20     If {
21         (nodeX == Source) UPDATE Route, Send DATA
22     }
23     Else {
24         FOWARD RREP, UPDATE RREP
25     }
26 }

```



Tabel 4.3 Pseudocode AODV dengan Serangan *Rushing*

```

1 //method broadcast RREQ
2 SendRREQ (nodeX)
3 BROADCAST RREQ to Neighbors
4 Rushing receive RREQ
5 Rushing BROADCAST RREQ to Neighbors
6 //method handling RREQ
7 ReceiverRREQ (RREQ, nodeX, rushing){
8   If (nodeX == Destination){
9     UPDATE Route, Send RREP (nodeX, RREQ,
10    rushing)
11   }
12   Else {
13     FOWARD RREQ, UPDATE RREQ
14   }
15   UPDATE Route
16 }
17 //method broadcast RREP
18 SendRREP (nodeX, RREQ, rushing)
19 BROADCAST RREP to Neighbors
20 //method handling RREP
21 ReceiverRREP (RREP, nodeX, rushing){
22   If (nodeX == Source){
23     UPDATE Route, Send DATA
24   }
25   Else {
26     FOWARD RREP, UPDATE RREP
27   }
28 }
29 rushing receive DATA (DATA) {
30   If (t < CURRENT TIME){
31     DATA Hold
32   }
33   Else {
34     DATA Delete
35   }
36 }

```

4.4 Perancangan Pergerakan *Node*

Perancangan pergerakan *node* dibentuk menurut luas area simulasi yang sudah di rancang. Terdapat 3 variasi jumlah *node* yang disimulasikan pada luas area simulasi yaitu 30, 40, dan 50 *node*. Pergerakan *node* menggunakan mekanisme pergerakan *random way point* dan juga diatur waktu dan kecepatannya, dimana pada perancangan simulasi telah ditetapkan waktu

simulasi selama 100s dan kecepatan 50 m/s. Untuk menghasilkan pergerakan *random way point* digunakan *tool* yang bernama *setdest*. Berikut baris perintah untuk membentuk pergerakan pada *node* 30, 40, dan 50 dengan kecepatan maksimal 50 m/s dan waktu simulasi selama 100s

```
- "setdest -v 1 -n 30 -p 0 -M 50 -t 100 -x 1000 -y
1000 > scenario_30"
- "setdest -v 1 -n 40 -p 0 -M 50 -t 100 -x 1000 -y
1000 > scenario_40"
- "setdest -v 1 -n 50 -p 0 -M 50 -t 100 -x 1000 -y
1000 > scenario_50"
```

4.5 Perancangan Parameter Pengujian

Pada bagian perancangan parameter pengujian ini menjelaskan parameter apa saja yang akan dipakai pada penelitian ini untuk dapat mengetahui dampak dari serangan *rushing*. Pada penelitian ini digunakan file *.awk* sebagai perhitungan dalam parameter pengujian. Untuk mendapatkan pengujian akan ditampilkan alur dalam bentuk diagram alir pada Gambar 4.2



Gambar 4.2 Diagram Alir untuk Mendapatkan Hasil Perhitungan

Gambar 4.2 menunjukkan tahapan-tahapan untuk mendapatkan hasil perhitungan, dimana untuk mendapatkan hasil perhitungan file *.tr* yang berisi hasil implementasi di *parse* ke file *.awk* yang berisi rumus perhitungan sehingga mengeluarkan hasil perhitungan. File *awk* akan mengambil beberapa variabel yang ada pada *trace* file untuk dijadikan sebagai bahan dalam melakukan perhitungan. Berikut merupakan contoh variabel pada file *awk* beserta kodenya yang ditunjukkan pada tabel 4.4.

Tabel 4.4 Tabel Variabel File AWK

kode	variabel
\$1	<i>Event</i>
\$2	<i>Time</i>
\$3	<i>Node id</i>
\$4	<i>Layer</i>
\$5	<i>Flags</i>
\$6	<i>Sequence Number</i>
\$7	<i>Packet Type</i>
\$8	<i>Packet Size</i>



BAB 5 IMPLEMENTASI

Dalam bab ini membahas implementasi serangan *rushing* pada protokol AODV pada jaringan MANET. Implementasi dilakukan dengan menggunakan *Network Simulator 2.35 (NS-2.35)* dan animasi untuk simulasi menggunakan NAM. Implementasi dilakukan dengan menggunakan jumlah *node* yang berbeda, yaitu 30, 40, dan 50 *node* dan jumlah *node attack* yang berbeda pula, yaitu 3 *node*, 4 *node*, dan 5 *node* dan juga menggunakan perbedaan pergerakan *node* dimana *node attack* diam dan bergerak. Sebelum menjalankan simulasi ditambahkan beberapa fungsi dan protokol pada file *aodv.h*, *aodv.cc* dan file *.tcl* agar serangan *rushing* dapat berjalan. Berikut beberapa fungsi yang ditambahkan.

1. Pada *aodv.h* ditambahkan fungsi *nsaddr_t malicious* untuk menentukan serangan *rushing* seperti yang ditunjukkan pada tabel 5.1 berikut. Penambahan fungsi bertujuan untuk menetapkan serangan *rushing* pada algoritma protokol *routing* AODV.

Tabel 5.1 Penambahan fungsi nsaddr_t malicious pada aodv.h

```
1 nsaddr_t malicious;
```

2. Pada *aodv.cc* dilakukan inisialisasi untuk menambahkan serangan *rushing* dengan nama "rushingattack" dan nilai dari *malicious* = 1000 seperti yang terlihat Tabel 5.2, dimana nama ini digunakan pada file *.tcl* untuk melakukan serangan *rushing*. Serta pada *constructor* juga ditambahkan fungsi *malicious* seperti yang terlihat pada Tabel 5.3

Tabel 5.2 Inisialisasi Serangan Pada aodv.cc

```
1 if(strcmp(argv[1], "rushingattack") ==
2 0) {
3     malicious= 1000;
4     return TCL_OK;
}
```

Tabel 5.3 Penambahan Nilai Malicious Pada Constructor di AODV.cc

```
1 malicious = 900
```

3. Penambahan fungsi pada tabel *routing*, seperti pada tabel 5.4 dimana fungsi ini bertujuan untuk membuat serangan *rushing* dapat berperilaku seperti *node* lainnya yaitu melakukan *route request* namun serangan *rushing* akan

melakukan *forward* packet lebih cepat daripada *node* lainnya sehingga rute yang terbentuk akan melalui serangan *rushing*. Fungsi yang ditambahkan inilah merupakan karakteristik dari serangan *rushing*.

Tabel 5.4 Penambahan Fungsi pada Routing Table

```

1  if (malicious!=1000)
2      rq->rq_hop_count += 1;
3      // Maximum sequence number seen en
4  route
5      if (rt) rq->rq_dst_seqno = max(rt-
6  >rt_seqno, rq->rq_dst_seqno);
7  if (malicious==1000)
8      forward((aadv_rt_entry*) 0, p, 0);
9  else
10     forward((aadv_rt_entry*) 0, p,
        DELAY);

```

4. Serangan *rushing* dapat membuang semua paket data atau beberapa paket data dan juga menahan paket data atau melakukan permintaan ulang (*re-ordering*). Seperti pada Tabel 5.5 terdapat fungsi *drop* hal inilah yang akan membuang paket data yang masuk ke dalam serangan *rushing* dan terdapat fungsi *forward* hal inilah yang menyebabkan *delay* pada paket data yang melalui serangan *rushing*

Tabel 5.5 Penambahan Fungsi untuk Serangan Rushing

```

1  if ((ch->ptype() !=PT_AODV) &&
2      (malicious==1000))
3      {
4          if (t<CURRENT_TIME)
5              {
6                  t=t+1;
7                  drop(p, DROP_RTR_NO_ROUTE);
8              }
9      }
10     else
        forward(rt, p, 0.8);

```

5. Serangan *rushing* akan menjatuhkan paket karena tidak ada rute tujuan *node* yang terinfeksi serangan *rushing* harus menonaktifkan pengiriman *error*. Hal ini dimaksudkan agar serangan *rushing* tidak mudah terdeteksi. Dapat dilihat pada Tabel 5.6 terdapat fungsi *sendError* pada baris 14 yang berfungsi untuk menonaktifkan pengiriman *error*.



Tabel 5.6 Penambahan Fungsi untuk Menonaktifkan *Send Error*

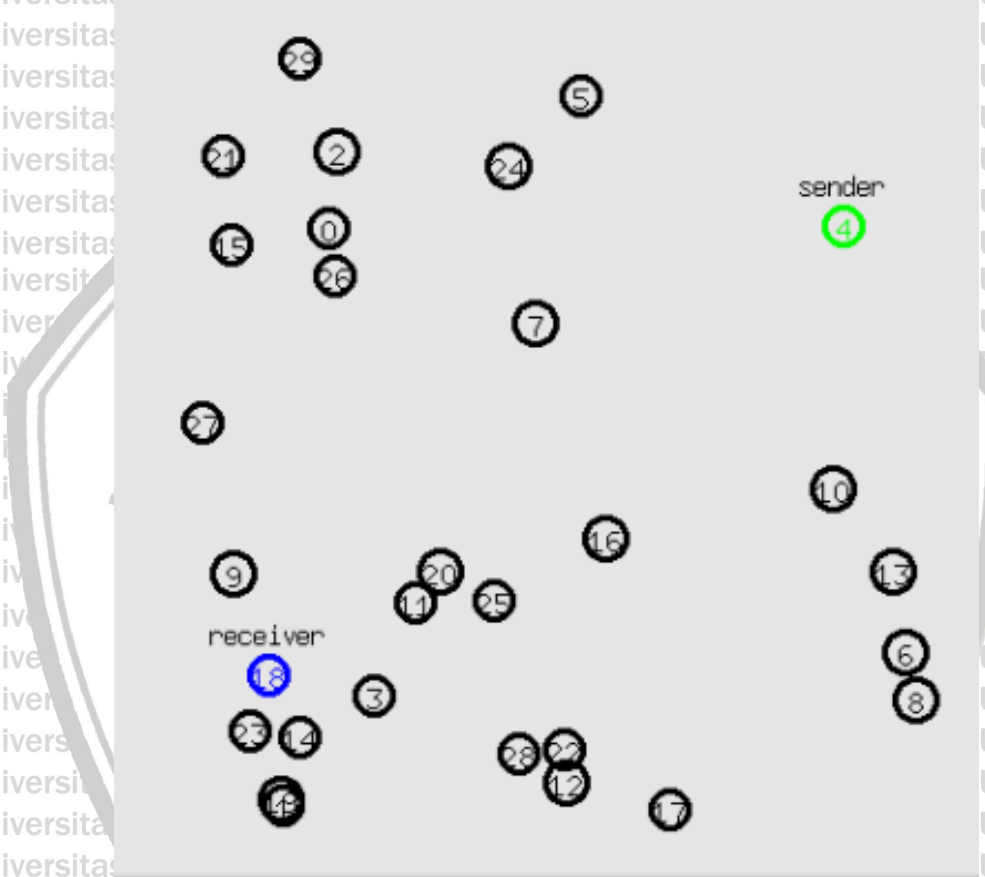
```

1  if (malicious==1000) drop(p,
2  DROP_RTR_NO_ROUTE);
3  else

```

5.1 Implementasi Tanpa Serangan *Rushing*

1. 30 Node Tanpa Serangan *Rushing*



Gambar 5.1 30 Node Tanpa Serangan *Rushing*

Pada gambar 5.1 adalah implementasi AODV dengan 30 *node* tanpa serangan *rushing* dengan pergerakan *Random Way Point*. Bisa dilihat dalam gambar diatas *source node* (*node* 4) yang berwarna hijau dan label *sender* dan *node receiver* (*node* 18) yang berwarna biru dan label *receiver*.



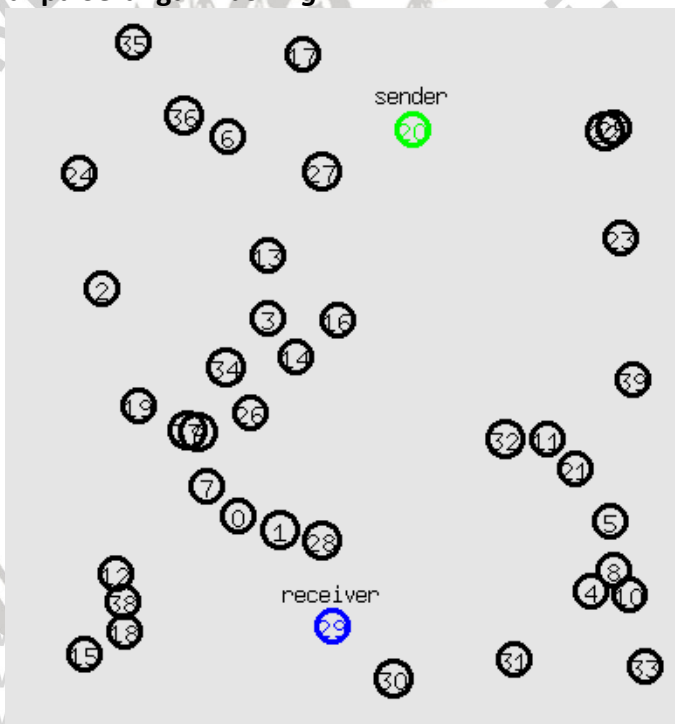
```

eldyto@eldyto-VirtualBox:~/ns-allinone-2.35/ns-2.35/rushing_attack$ ns rushingattacks_30.tcl
num_nodes is set 30
INITIALIZE THE LIST xListHead
Loading scenario file...
channel.cc:sendUp - Calc highestAntennaZ_ and distCST_
highestAntennaZ_ = 1.5, distCST_ = 550.0
SORTING LISTS ...DONE!
eldyto@eldyto-VirtualBox:~/ns-allinone-2.35/ns-2.35/rushing_attack$ awk -f parameter.awk out30.tr
Packet Sent :1209
Packet Received :1207
Packet Loss :2
Packet Loss :0.165426 %
Packet Delivery Ratio :99.8346 %
Average Throughput[kbps] = 101.86      StartTime=1.00  StopTime = 99.97
End-to-End Delay = 31.9341 ms
eldyto@eldyto-VirtualBox:~/ns-allinone-2.35/ns-2.35/rushing_attack$ █
    
```

Gambar 5.2 Hasil Implementasi 30 Node Tanpa Serangan Rushing

Pada gambar 5.2 merupakan hasil dari implementasi dari protokol AODV tanpa serangan *rushing* dengan 30 *node* yang menunjukkan dalam proses pengiriman paket dari *source node* (*node* 4) menuju ke *node receiver* (*node* 18) *Packet loss* 8,35401 %, *Packet Delivery Ratio* 91,646 %, *Throughput* 93,48 kbps, dan *End to end delay* 417,453 ms .

2. 40 Node Tanpa Serangan Rushing



Gambar 5.3 40 Node Tanpa Serangan Rushing

Pada gambar 5.3 merupakan implementasi AODV dengan 40 *node* tanpa serangan *rushing* dengan pergerakan *Random Way Point*. Bisa dilihat pada gambar diatas *source node* (*node* 20) yang berwarna hijau dan label *sender* dan *node receiver* (*node* 29) yang berwarna biru dan label *receiver*.



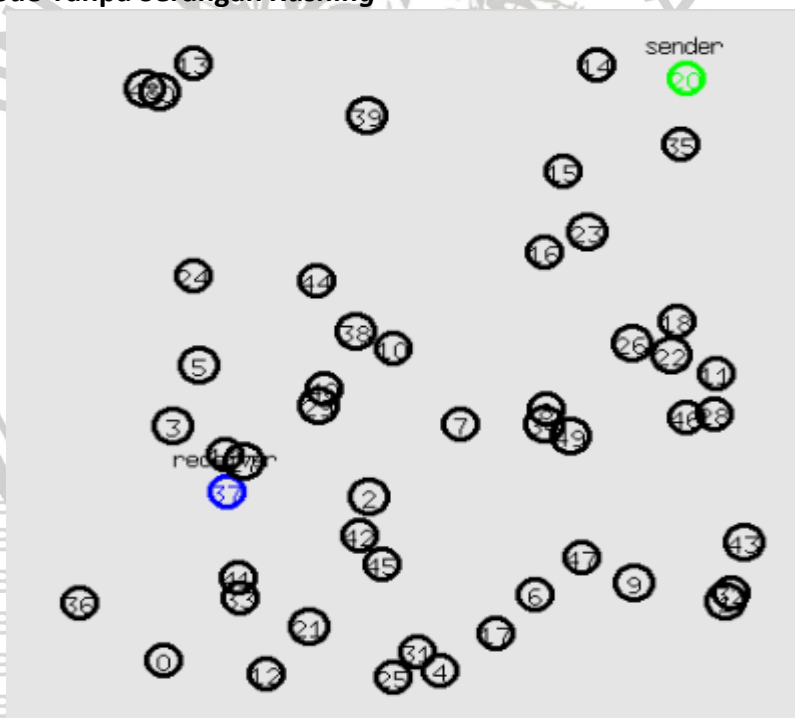
```

eldyto@eldyto-VirtualBox:~/ns-allinone-2.35/ns-2.35/rushing_attack$ ns rushingattacks_40.tcl
num_nodes is set 40
INITIALIZE THE LIST xListHead
Loading scenario file...
channel.cc:sendUp - Calc highestAntennaZ_ and distCST_
highestAntennaZ_ = 1.5, distCST_ = 550.0
SORTING LISTS ...DONE!
eldyto@eldyto-VirtualBox:~/ns-allinone-2.35/ns-2.35/rushing_attack$ awk -f parameter.awk out40.tr
Packet Sent :1209
Packet Received :867
Packet Loss :342
Packet Loss :28.2878 %
Packet Delivery Ratio :71.7122 %
Average Throughput[kbps] = 101.56          StartTime=1.00  StopTime = 72.30
End-to-End Delay = 19.5681 ms
eldyto@eldyto-VirtualBox:~/ns-allinone-2.35/ns-2.35/rushing_attack$ █
    
```

Gambar 5.4 Hasil Implementasi 40 Node Tanpa Serangan Rushing

Pada gambar 5.4 merupakan hasil implementasi dengan menggunakan protokol AODV tanpa serangan *rushing* dengan 40 node yang menunjukkan dalam proses pengiriman paket dari *source node* (node 20) menuju ke *node receiver* (node 29) *Packet loss* 2,97767 %, *Packet Delivery Ratio* 97,0223 %, *Throughput* 98,96 kbps, dan *End to end delay* 60,8227 ms .

3. 50 Node Tanpa Serangan Rushing



Gambar 5.5 50 Node Tanpa Serangan Rushing

Pada gambar 5.5 merupakan implementasi AODV dengan 50 node tanpa serangan *rushing* dengan pergerakan *Random Way Point*. Bisa dilihat pada gambar diatas *source node* (node 20) yang berwarna hijau dan label *sender* dan *node receiver* (node 37) yang berwarna biru dan label *receiver*.



```

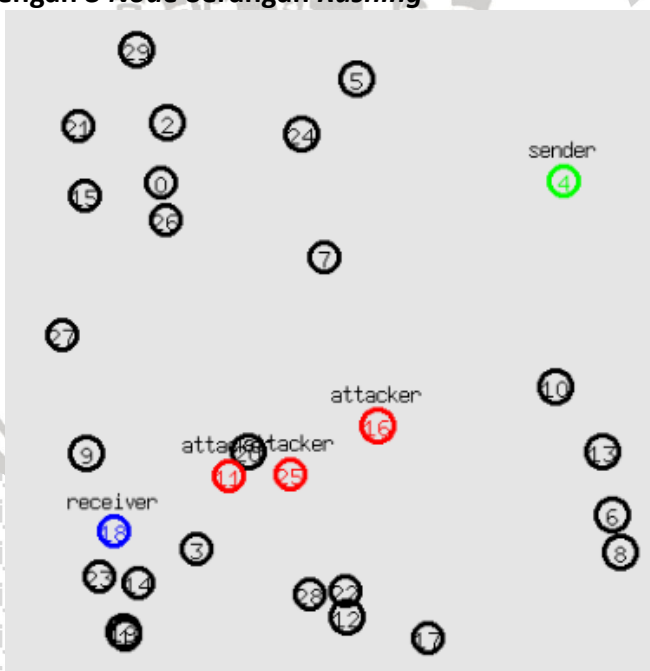
eldyto@eldyto-VirtualBox:~/ns-allinone-2.35/ns-2.35/rushing attack$ ns rushingattacks_50.tcl
num_nodes is set 50
INITIALIZE THE LIST xListHead
Loading scenario file...
channel.cc:sendUp - Calc highestAntennaZ_ and distCST_
highestAntennaZ_ = 1.5, distCST_ = 550.0
SORTING LISTS ...DONE!
eldyto@eldyto-VirtualBox:~/ns-allinone-2.35/ns-2.35/rushing attack$ awk -f parameter.awk out50.tr
Packet Sent :1209
Packet Received :1141
Packet Loss :68
Packet Loss :5.62448 %
Packet Delivery Ratio :94.3755 %
Average Throughput[kbps] = 96.17           StartTime=1.00  StopTime = 100.09
End-to-End Delay = 356.205 ms
eldyto@eldyto-VirtualBox:~/ns-allinone-2.35/ns-2.35/rushing attack$ █
  
```

Gambar 5.6 Hasil Implementasi 50 Node Tanpa Serangan Rushing

Pada gambar 5.6 merupakan hasil implementasi dengan menggunakan protokol AODV tanpa serangan *rushing* dengan 50 node yang menunjukkan dalam proses pengiriman paket dari *source node* (node 20) menuju ke *node receiver* (node 37) *Packet loss* 2,89495 %, *Packet Delivery Ratio* 97,105 %, *Throughput* 99,06 kbps, dan *End to end delay* 57,8196 ms.

5.2 Implementasi Dengan Serangan Rushing

1. 30 Node dengan 3 Node Serangan Rushing



Gambar 5.7 30 Node dengan Jumlah Serangan Rushing 3 Node

Pada gambar 5.7 merupakan implementasi dari AODV dengan 30 node dan jumlah serangan *rushing* 3 node dengan pergerakan *Random Way Point*. Bisa dilihat pada gambar diatas *source node* (node 4) yang berwarna hijau dan label



sender dan node receiver (node 18) yang berwarna biru dan label receiver dan juga node serangan rushing (node 11, node 25, node 16) yang berwarna merah dan label attacker.

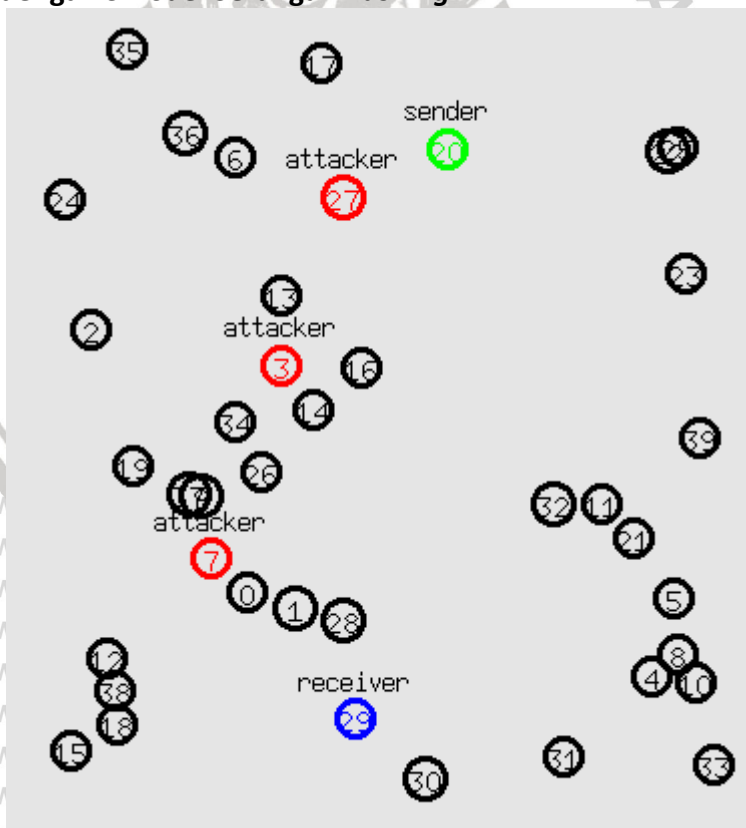
```

eldyto@eldyto-VirtualBox:~/ns-allinone-2.35/ns-2.35/rushing_attack$ ns rushingattacks_30.tcl
num_nodes is set 30
INITIALIZE THE LIST xListHead
Loading scenario file...
channel.cc:sendUp - Calc highestAntennaZ_ and distCST_
highestAntennaZ_ = 1.5, distCST_ = 550.0
SORTING LISTS ..DONE!
eldyto@eldyto-VirtualBox:~/ns-allinone-2.35/ns-2.35/rushing_attack$ awk -f parameter.awk out30.tr
Packet Sent :1209
Packet Received :1195
Packet Loss :14
Packet Loss :1.15798 %
Packet Delivery Ratio :98.842 %
Average Throughput[kbps] = 100.85      StartTime=1.00  StopTime = 99.97
End-to-End Delay = 790.375 ms
eldyto@eldyto-VirtualBox:~/ns-allinone-2.35/ns-2.35/rushing_attack$
    
```

Gambar 5.8 Hasil Implementasi 3 Serangan Rushing pada 30 Node

Pada gambar 5.8 merupakan hasil implementasi protokol AODV dengan jumlah 30 node dan jumlah serangan rushing 3 node yang menunjukkan dalam proses pengiriman paket dari source node (node 4) menuju ke node receiver (node 18) Packet loss 28,7014 %, Packet Delivery Ratio 71,2986 %, Throughput 72,73 kbps, dan End to end delay 995,407 ms.

2. 40 Node dengan 3 Node Serangan Rushing



Gambar 5.9 40 Node dengan Jumlah Serangan Rushing 3 Node



Pada gambar 5.9 merupakan implementasi AODV dengan 40 node dengan jumlah serangan rushing 3 node dengan pergerakan *Random Way Point*. Bisa dilihat pada gambar diatas *source node* (node 20) yang berwarna hijau dan label *sender* dan *node receiver* (node 29) yang berwarna biru dan label *receiver* dan juga *node serangan rushing* (node 3, node 7, node 27) yang berwarna merah dan label *attacker*.

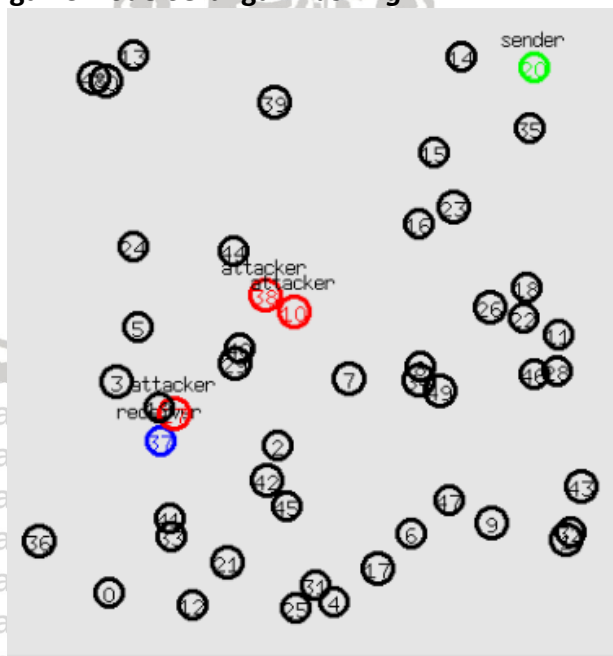
```

eldyto@eldyto-VirtualBox:~/ns-allinone-2.35/ns-2.35/rushing attack$ ns rushingattacks_40.tcl
num_nodes is set 40
INITIALIZE THE LIST xListHead
Loading scenario file...
channel.cc:sendUp - Calc highestAntennaZ_ and distCST_
highestAntennaZ_ = 1.5, distCST_ = 550.0
SORTING LISTS ...DONE!
eldyto@eldyto-VirtualBox:~/ns-allinone-2.35/ns-2.35/rushing attack$ awk -f parameter.awk out40.tr
Packet Sent :1209
Packet Received :867
Packet Loss :342
Packet Loss :28.2878 %
Packet Delivery Ratio :71.7122 %
Average Throughput[kbps] = 101.56      StartTime=1.00  StopTime = 72.30
End-to-End Delay = 52.1334 ms
eldyto@eldyto-VirtualBox:~/ns-allinone-2.35/ns-2.35/rushing attack$ █
    
```

Gambar 5.10 Hasil Implementasi 3 Serangan *Rushing* pada 40 Node

Pada gambar 5.10 merupakan hasil implementasi protokol AODV dengan jumlah 40 node dan jumlah serangan *rushing* 3 node yang menunjukkan dalam proses pengiriman paket dari *source node* (node 20) menuju ke *node receiver* (node 29) *Packet loss* 10,67 %, *Packet Delivery Ratio* 89,33 %, *Throughput* 91,18 kbps, dan *End to end delay* 831,715 ms.

3. 50 Node dengan dengan 3 Node Serangan *Rushing*



Gambar 5.11 50 Node dengan Jumlah Serangan *Rushing* 3 Node



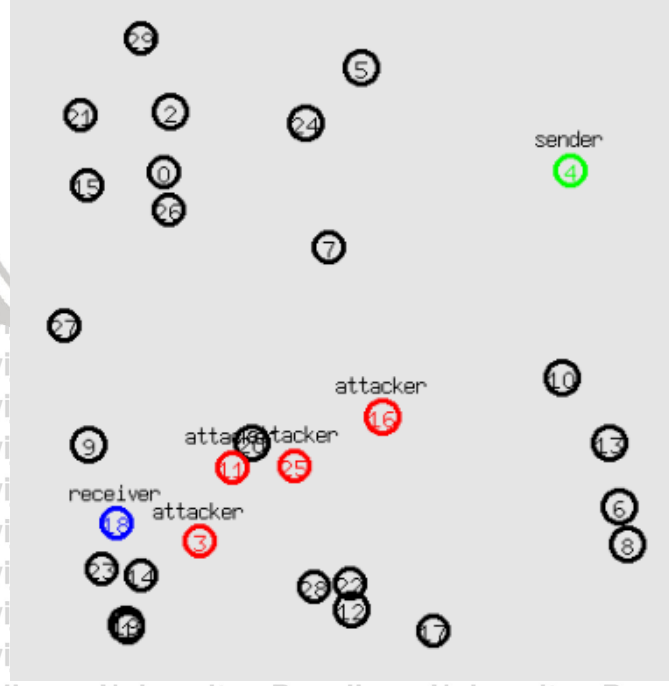
Pada gambar 5.11 merupakan implementasi AODV dengan 50 node dengan jumlah serangan rushing 3 node dengan pergerakan Random Way Point. Bisa dilihat pada gambar dibawah source node (node 20) yang berwarna hijau dan label sender dan node receiver (node 37) yang berwarna biru dan label receiver dan juga node serangan rushing (node 10, node 27, node 38) yang berwarna merah dan label attacker.

```
elddyto@elddyto-VirtualBox:~/ns-allinone-2.35/ns-2.35/rushing attack$ ns rushingattacks_50.tcl
num_nodes is set 50
INITIALIZE THE LIST xListHead
Loading scenario file...
channel.cc:sendUp - Calc highestAntennaZ_ and distCST_
highestAntennaZ_ = 1.5, distCST_ = 550.0
SORTING LISTS ...DONE!
elddyto@elddyto-VirtualBox:~/ns-allinone-2.35/ns-2.35/rushing attack$ awk -f parameter.awk out50.tr
Packet Sent :1209
Packet Received :1120
Packet Loss :89
Packet Loss :7.36146 %
Packet Delivery Ratio :92.6385 %
Average Throughput[kbps] = 94.51      StartTime=1.00  StopTime = 99.98
End-to-End Delay = 135.305 ms
elddyto@elddyto-VirtualBox:~/ns-allinone-2.35/ns-2.35/rushing attack$ █
```

Gambar 5.12 Hasil Implementasi 3 Serangan Rushing pada 50 Node

Pada gambar 5.12 merupakan hasil implementasi protokol AODV dengan jumlah 50 node dan jumlah serangan rushing 3 node yang menunjukkan dalam proses pengiriman paket dari source node (node 20) menuju ke node receiver (node 37) Packet loss 7,36146 %, Packet Delivery Ratio 92,6385 %, Throughput 94,51 kbps, dan End to end delay 135,305 ms.

4. 30 Node dengan 4 Node Serangan Rushing



Gambar 1.13 30 Node dengan Jumlah Serangan Rushing 4 Node



Pada gambar 5.13 merupakan implementasi AODV dengan 30 node dengan jumlah serangan rushing 4 node dengan pergerakan Random Way Point. Bisa dilihat pada gambar dibawah source node (node 4) yang berwarna hijau dan label sender dan node receiver (node 18) yang berwarna biru dan label receiver dan juga node serangan rushing (node 3, node 11, node 16, node 25) yang berwarna merah dan label attacker.

```

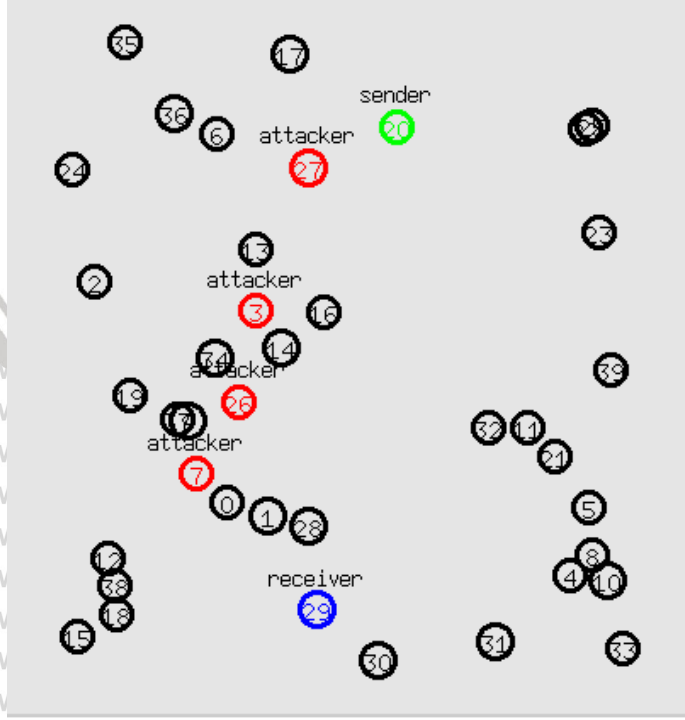
eLdyto@eLdyto-VirtualBox:~/ns-allinone-2.35/ns-2.35/rushing_attack$ ns rushingattacks_30.tcl
num_nodes is set 30
INITIALIZE THE LIST xListHead
Loading scenario file...
channel.cc:sendUp - Calc highestAntennaZ_ and distCST_
highestAntennaZ_ = 1.5, distCST_ = 550.0
SORTING LISTS ...DONE!
eLdyto@eLdyto-VirtualBox:~/ns-allinone-2.35/ns-2.35/rushing_attack$ awk -f parameter.awk out30.tr
Packet Sent :1209
Packet Received :1105
Packet Loss :104
Packet Loss :8.60215 %
Packet Delivery Ratio :91.3978 %
Average Throughput[kbps] = 93.25          StartTime=1.00  StopTime = 99.97
End-to-End Delay = 4067.26 ms
eLdyto@eLdyto-VirtualBox:~/ns-allinone-2.35/ns-2.35/rushing_attack$ █

```

Gambar 5.14 Hasil Implementasi 4 Serangan Rushing pada 30 Node

Pada gambar 5.14 merupakan hasil implementasi protokol AODV dengan jumlah 30 node dan jumlah serangan rushing 4 node yang menunjukkan dalam proses pengiriman paket dari source node (node 4) menuju ke node receiver (node 18) Packet loss 14,2266 %, Packet Delivery Ratio 85,7734 %, Throughput 90,49 kbps, dan End to end delay 1146,09 ms.

5. 40 Node dengan 4 Node Serangan Rushing



Gambar 5.15 40 Node dengan Jumlah Serangan Rushing 4 Node



Pada gambar 5.15 merupakan implementasi AODV dengan 40 node dengan jumlah serangan rushing 4 node dengan pergerakan *Random Way Point*. Bisa dilihat pada gambar dibawah *source node* (node 20) yang berwarna hijau dan label *sender* dan *node receiver* (node 29) yang berwarna biru dan label *receiver* dan juga *node serangan rushing* (node 3, node 7, node 26, node 27) yang berwarna merah dan label *attacker*.

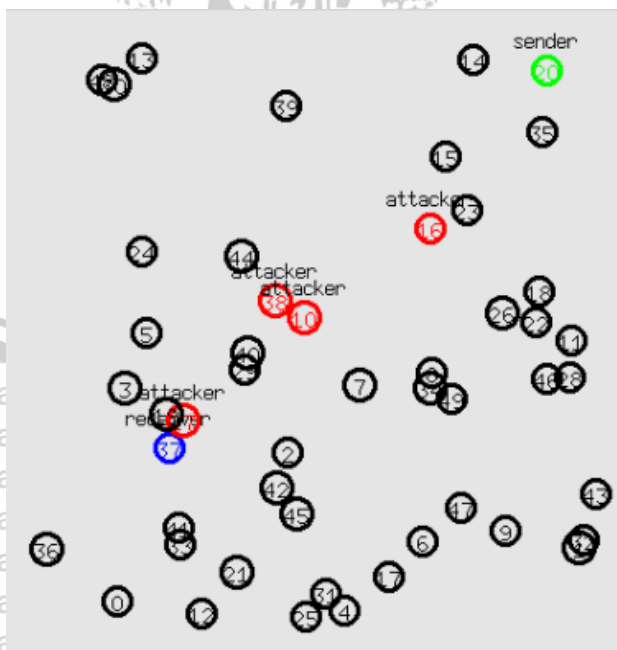
```

eldyto@eldyto-VirtualBox:~/ns-allinone-2.35/ns-2.35/rushing_attack$ ns rushingattacks_40.tcl
num_nodes is set 40
INITIALIZE THE LIST xListHead
Loading scenario file...
channel.cc:sendUp - Calc highestAntennaZ_ and distCST_
highestAntennaZ_ = 1.5, distCST_ = 550.0
SORTING LISTS ...DONE!
eldyto@eldyto-VirtualBox:~/ns-allinone-2.35/ns-2.35/rushing_attack$ awk -f parameter.awk out40.tr
Packet Sent :1209
Packet Received :711
Packet Loss :498
Packet Loss :41.1911 %
Packet Delivery Ratio :58.8089 %
Average Throughput[kbps] = 83.29          StartTime=1.00  StopTime = 72.30
End-to-End Delay = 256.856 ms
eldyto@eldyto-VirtualBox:~/ns-allinone-2.35/ns-2.35/rushing_attack$ █
    
```

Gambar 5.16 Hasil Implementasi 4 Serangan Rushing pada 40 Node

Pada gambar 5.16 merupakan hasil implementasi protokol AODV dengan jumlah 40 node dan jumlah serangan rushing 4 node yang menunjukkan dalam proses pengiriman paket dari *source node* (node 20) menuju ke *node receiver* (node 29) *Packet loss* 23,0769 %, *Packet Delivery Ratio* 76,9231 %, *Throughput* 78,46 kbps, dan *End to end delay* 365,731 ms.

6. 50 Node dengan dengan 4 Node Serangan Rushing



Gambar 5.17 50 Node dengan Jumlah Serangan Rushing 4 Node



Pada gambar 5.17 merupakan implementasi AODV dengan 50 node dengan jumlah serangan rushing 4 node dengan pergerakan *Random Way Point*. Bisa dilihat pada gambar bawah *source node* (node 20) yang berwarna hijau dan label *sender* dan *node receiver* (node 37) yang berwarna biru dan label *receiver* dan juga *node serangan rushing* (node 10, node 16, node 27, node 38) yang berwarna merah dan label *attacker*.

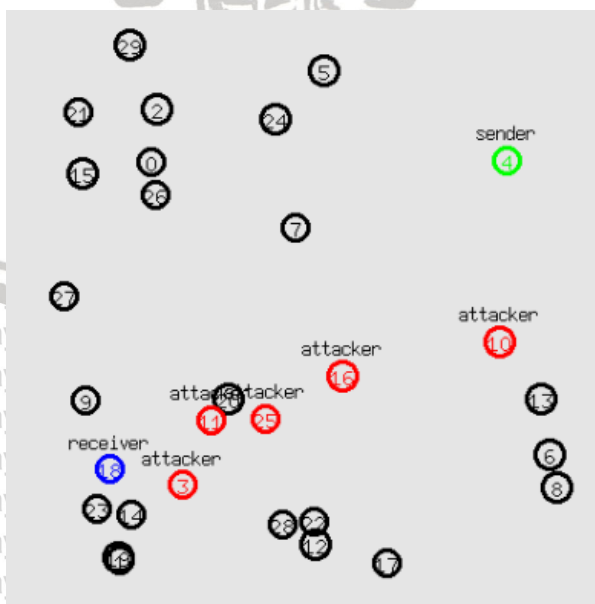
```

eldyto@eldyto-VirtualBox:~/ns-allinone-2.35/ns-2.35/rushing_attack$ ns rushingattacks_50.tcl
num_nodes is set 50
INITIALIZE THE LIST xListHead
Loading scenario file...
channel.cc:sendUp - Calc highestAntennaZ_ and distCST_
highestAntennaZ_ = 1.5, distCST_ = 550.0
SORTING LISTS ...DONE!
eldyto@eldyto-VirtualBox:~/ns-allinone-2.35/ns-2.35/rushing_attack$ awk -f parameter.awk out50.tr
Packet Sent :1209
Packet Received :1016
Packet Loss :193
Packet Loss :15.9636 %
Packet Delivery Ratio :84.0364 %
Average Throughput[kbps] = 81.59          StartTime=1.00  StopTime = 105.00
End-to-End Delay = 1265.02 ms
eldyto@eldyto-VirtualBox:~/ns-allinone-2.35/ns-2.35/rushing_attack$ █
    
```

Gambar 5.18 Hasil Implementasi 4 Serangan *Rushing* pada 50 Node

Pada gambar 5.18 merupakan hasil implementasi protokol AODV dengan jumlah 50 node dan jumlah serangan *rushing* 4 node yang menunjukkan dalam proses pengiriman paket dari *source node* (node 20) menuju ke *node receiver* (node 37) *Packet loss* 18,6931 %, *Packet Delivery Ratio* 81,3069 %, *Throughput* 82,95 kbps, dan *End to end delay* 192,181 ms.

7. 30 Node dengan 5 Node Serangan *Rushing*



Gambar 5.20 30 Node dengan Jumlah Serangan *Rushing* 5 Node



Pada gambar 5.20 merupakan implementasi AODV dengan 30 *node* dengan jumlah serangan *rushing* 5 *node* dengan pergerakan *Random Way Point*. Bisa dilihat pada gambar dibawah *source node* (*node 4*) yang berwarna hijau dan label *sender* dan *node receiver* (*node 18*) yang berwarna biru dan label *receiver* dan juga *node* serangan *rushing* (*node 3, node 10, node 11, node 16, dan node 25*) yang berwarna merah dan label *attacker*.

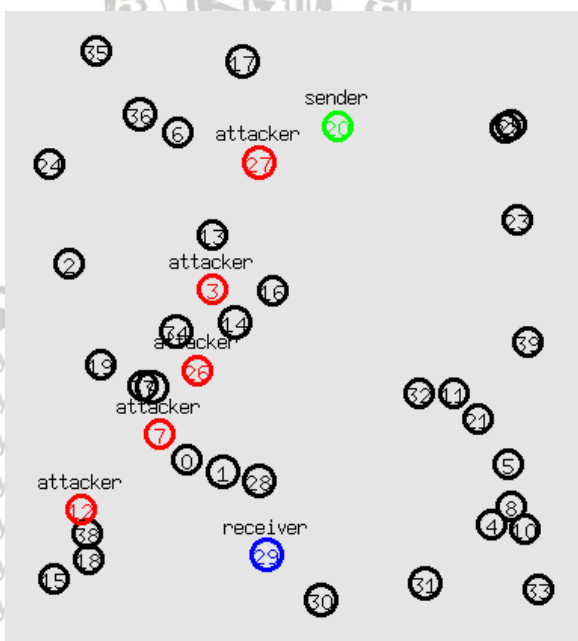
```

elddyto@elddyto-VirtualBox:~/ns-allinone-2.35/ns-2.35/rushing attack$ ns rushingattacks_30.tcl
num_nodes is set 30
INITIALIZE THE LIST xListHead
Loading scenario file...
channel.cc:sendUp - Calc highestAntennaZ_ and distCST_
highestAntennaZ_ = 1.5, distCST_ = 550.0
SORTING LISTS ...DONE!
elddyto@elddyto-VirtualBox:~/ns-allinone-2.35/ns-2.35/rushing attack$ awk -f parameter.awk out30.tr
Packet Sent :1209
Packet Received :1138
Packet Loss :71
Packet Loss :5.87262 %
Packet Delivery Ratio :94.1274 %
Average Throughput[kbps] = 96.04          StartTime=1.00  StopTime = 99.97
End-to-End Delay = 772.44 ms
elddyto@elddyto-VirtualBox:~/ns-allinone-2.35/ns-2.35/rushing attack$
    
```

Gambar 5.21 Hasil Implementasi 5 Serangan *Rushing* pada 30 *Node*

Pada gambar 5.21 merupakan hasil implementasi protokol AODV dengan jumlah 30 *node* dan jumlah serangan *rushing* 5 *node* yang menunjukkan dalam proses pengiriman paket dari *source node* (*node 4*) menuju ke *node receiver* (*node 18*) *Packet loss* 23,1596 %, *Packet Delivery Ratio* 76,8404 %, *Throughput* 78,51 kbps, dan *End to end delay* 826,801 ms.

8. 40 *Node* dengan 5 *Node* Serangan *Rushing*



Gambar 2.22 40 *Node* dengan Jumlah Serangan *Rushing* 5 *Node*



Pada gambar 5.22 merupakan implementasi AODV dengan 40 node dengan jumlah serangan rushing 5 node dengan pergerakan *Random Way Point*. Bisa dilihat pada gambar dibawah *source node* (node 20) yang berwarna hijau dan label *sender* dan *node receiver* (node 29) yang berwarna biru dan label *receiver* dan juga *node serangan rushing* (node 3, node 7, node 12, node 26, dan node 27) yang berwarna merah dan label *attacker*.

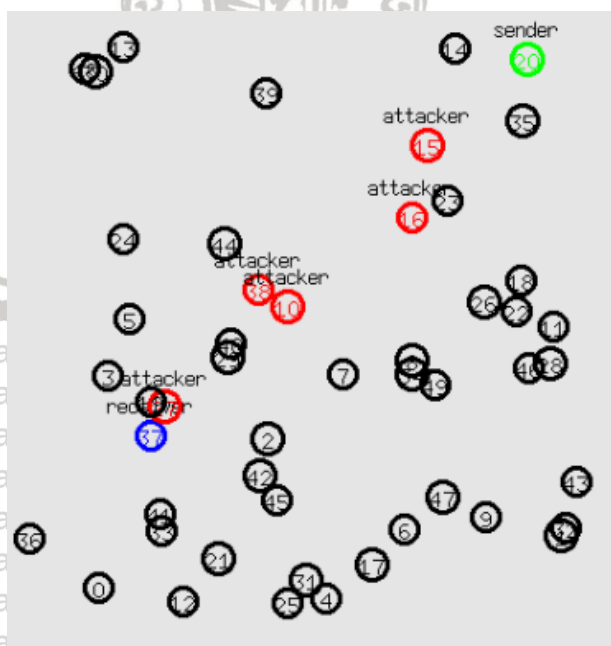
```

elldyto@elldyto-VirtualBox:~/ns-allinone-2.35/ns-2.35/rushing_attack$ ns rushingattacks_40.tcl
num_nodes is set 40
INITIALIZE THE LIST xListHead
Loading scenario file...
channel.cc:sendUp - Calc highestAntennaZ_ and distCST_
highestAntennaZ_ = 1.5, distCST_ = 550.0
SORTING LISTS ..DONE!
elldyto@elldyto-VirtualBox:~/ns-allinone-2.35/ns-2.35/rushing_attack$ awk -f parameter.awk out40.tr
Packet Sent :1209
Packet Received :711
Packet Loss :498
Packet Loss :41.1911 %
Packet Delivery Ratio :58.8089 %
Average Throughput[kbps] = 83.29          StartTime=1.00  StopTime = 72.30
End-to-End Delay = 256.856 ms
elldyto@elldyto-VirtualBox:~/ns-allinone-2.35/ns-2.35/rushing_attack$ █
    
```

Gambar 5.23 Hasil Implementasi 5 Serangan *Rushing* pada 40 Node

Pada gambar 5.23 merupakan hasil implementasi protokol AODV dengan jumlah 40 node dan jumlah serangan rushing 5 node yang menunjukkan dalam proses pengiriman paket dari *source node* (node 4) menuju ke *node receiver* (node 18) *Packet loss* 11,3317 %, *Packet Delivery Ratio* 88,6683 %, *Throughput* 90,51 kbps, dan *End to end delay* 107,147 ms.

9. 50 Node dengan 5 Node Serangan *Rushing*



Gambar 5.24 50 Node dengan Jumlah Serangan *Rushing* 5 Node



Pada gambar 5.24 merupakan implementasi AODV dengan 50 *node* dengan jumlah serangan *rushing* 5 *node* dengan pergerakan *Random Way Point*. Bisa dilihat pada gambar dibawah *source node* (*node* 20) yang berwarna hijau dan label *sender* dan *node receiver* (*node* 37) berwarna biru dan label *receiver* dan juga *node* serangan *rushing* (*node* 10, *node* 15, *node* 16, *node* 27, dan *node* 38) yang berwarna merah dan label *attacker*.

```

elodyto@elodyto-VirtualBox:~/ns-allinone-2.35/ns-2.35/rushing_attack$ ns rushingattacks_50.tcl
num_nodes is set 50
INITIALIZE THE LIST xListHead
Loading scenario file...
channel.cc:sendUp - Calc highestAntennaZ_ and distCST_
highestAntennaZ_ = 1.5, distCST_ = 550.0
SORTING LISTS ...DONE!
elodyto@elodyto-VirtualBox:~/ns-allinone-2.35/ns-2.35/rushing_attack$ awk -f parameter.awk out50.tr
Packet Sent :1209
Packet Received :1073
Packet Loss :136
Packet Loss :11.249 %
Packet Delivery Ratio :88.751 %
Average Throughput[kbps] = 90.53           StartTime=1.00  StopTime = 99.99
End-to-End Delay = 1337.27 ms
elodyto@elodyto-VirtualBox:~/ns-allinone-2.35/ns-2.35/rushing_attack$ █

```

Gambar 5.25 Hasil Implementasi 5 Serangan *Rushing* pada 50 *Node*

Pada gambar 5.25 merupakan hasil implementasi protokol AODV dengan jumlah 50 *node* dan jumlah serangan *rushing* 5 *node* yang menunjukkan dalam proses pengiriman paket dari *source node* (*node* 4) menuju ke *node receiver* (*node* 18) *Packet loss* 12,8205 %, *Packet Delivery Ratio* 87,1795 %, *Throughput* 88,93 kbps, dan *End to end delay* 145,563 ms.



BAB 6 HASIL DAN ANALISIS

Bagian ini berisi mengenai hasil dari implementasi yang sudah dilakukan. Implementasi yang sudah dilakukan adalah protokol AODV tanpa serangan *rushing* dengan 30, 40, dan 50 *node* dan protokol AODV dengan serangan *rushing* 3, 4, dan 5 *node* dengan keadaan *node* serangan *rushing* diam dan bergerak dengan 30, 40, dan 50 *node* kemudian hasil dari implementasi tersebut akan dilakukan pengukuran dengan menggunakan parameter *throughput*, *end to end delay*, *packet delivery ratio*, dan *packet loss*.

6.1 Hasil

Hasil yang sudah didapatkan dari implementasi AODV tanpa serangan *rushing* dengan 30, 40, dan 50 *node* dan protokol AODV dengan serangan *rushing* 3, 4, dan 5 *node* dengan keadaan *node* serangan *rushing* diam dan bergerak dengan 30, 40, dan 50 akan dilakukan pengukuran dengan menggunakan parameter *throughput*, *end to end delay*, *packet delivery ratio*, dan *packet loss*. Berikut merupakan hasil pengujian dengan menggunakan parameter pengujian *packet delivery ratio*, *packet loss throughput* dan *end to end delay* pada protokol AODV tanpa serangan *rushing* dan dengan serangan *rushing*. Dimana, *packet delivery Ratio* adalah rasio antara banyaknya paket yang diterima dengan paket yang dikirim, *packet loss* terjadi karena kegagalan transmisi paket untuk mencapai tujuannya, *throughput* adalah banyaknya *byte* yang diterima dalam waktu tertentu dengan satuan *byte/second* atau dengan kata lain kondisi data *rate* sebenarnya dalam suatu jaringan dan *end to end delay* merupakan waktu yang digunakan ketika paket dikirimkan hingga paket diterima.

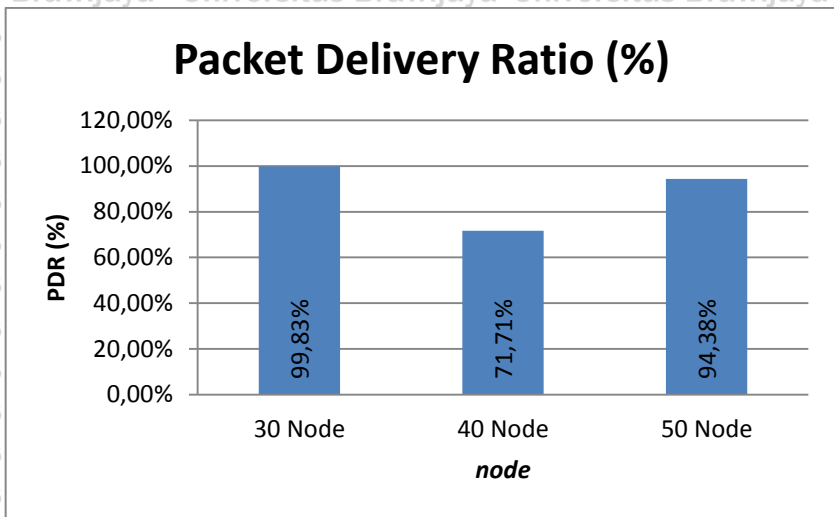
6.1.1 Hasil Implementasi Tanpa Serangan *rushing*

Berikut adalah hasil implementasi tanpa serangan *rushing* dengan jumlah *node* 30, 40, dan 50 *node* dengan parameter ukur *packet delivery ratio*, *packet loss*, *throughput*, dan *end to end delay* yang ditunjukkan pada tabel 6.1.

Tabel 6.1 Hasil Implementasi Tanpa Serangan *Rushing*

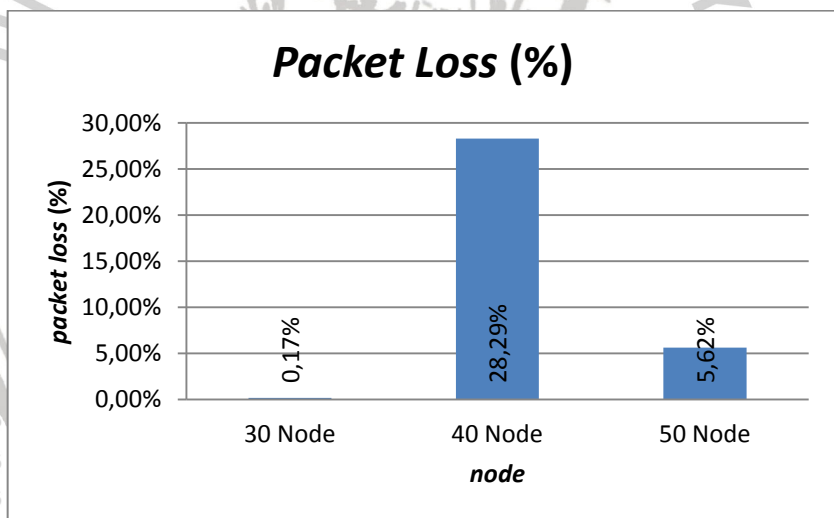
Jumlah <i>Node</i>	Parameter Ukur			
	<i>Packet Delivery Ratio</i> (%)	<i>Packet Loss</i> (%)	<i>Throughput</i> (kbps)	<i>End to End Delay</i> (ms)
30 <i>Node</i>	99,8346 %	0,1654 %	101,86 kbps	31,9341 ms
40 <i>Node</i>	71,7122 %	28,2878 %	101,56 kbps	19,5681 ms
50 <i>Node</i>	88,751 %	11,249 %	92,80 kbps	356,205 ms

Pada tabel 6.1 menunjukkan hasil implementasi tanpa serangan *rushing* dari 30 *node*, 40 *node*, dan 50 *node*.



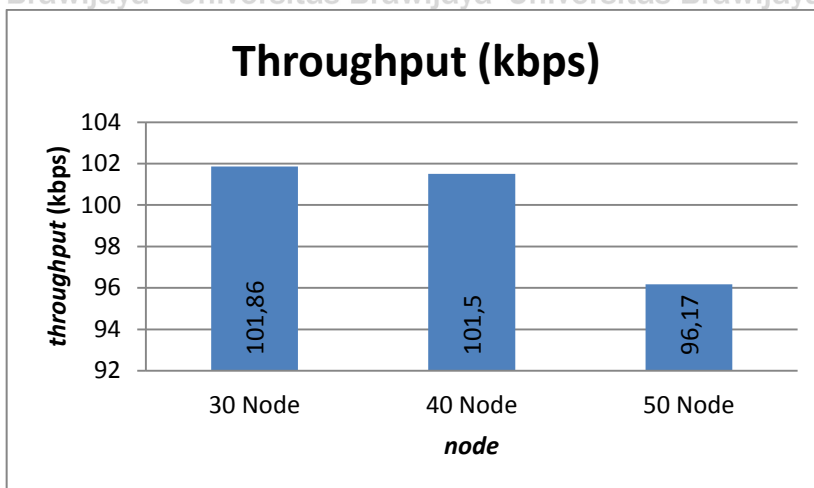
Gambar 6.1 Grafik *Packet Delivery Ratio* Tanpa Serangan *Rushing*

Pada gambar 6.1 menunjukkan hasil *packet delivery ratio* (PDR) dari hasil implementasi tanpa serangan *rushing*. Dapat dilihat dari grafik 30 *node* dan 50 *node* memiliki nilai sebesar 99,83 % dan 94,38 %, sedangkan 40 *node* memiliki nilai yang lebih rendah yaitu sebesar 71,71 %. Semakin tinggi nilai PDR yang dihasilkan maka akan semakin baik pula performa jaringannya



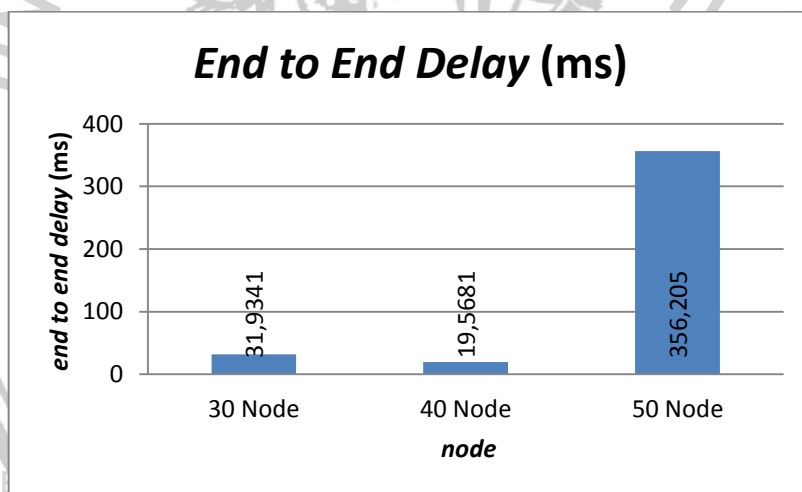
Gambar 6.2 Grafik *Packet Loss* Tanpa Serangan *Rushing*

Pada gambar 6.2 menunjukkan hasil *packet loss* dari hasil implementasi tanpa serangan *rushing*. Dapat dilihat dari grafik 30 *node* dan 50 *node* memiliki nilai 0,1 % dan 5,62 % sedangkan 40 *node* memiliki nilai yang lebih tinggi yaitu sebesar 28,29 %. Semakin rendah nilai *packet loss* maka semakin baik pula performa jaringannya



Gambar 6.3 Grafik Throughput Tanpa Serangan Rushing

Pada gambar 6.3 menunjukkan hasil *throughput* dari hasil implementasi tanpa serangan *rushing*. Dapat dilihat dari grafik 30 *node* dan 40 *node* memiliki nilai 101.86 kbps dan 101,5 kbps sedangkan 50 *node* memiliki nilai yang lebih rendah yaitu sebesar 96,17 kbps. Semakin tinggi nilai *throughput* maka semakin baik pula performa jaringannya



Gambar 6.4 Grafik End to End Delay Tanpa Serangan Rushing

Pada gambar 6.4 menunjukkan hasil *end to end delay* dari hasil implementasi tanpa serangan *rushing*. Dapat dilihat dari grafik *node* 30 dan 40 *node* memiliki nilai 31,9341 ms dan 19,5681 ms sedangkan *node* 50 memiliki nilai *end to end delay* yang tinggi yaitu sebesar 366,205 ms. Semakin rendah nilai *end to end delay* maka semakin baik pula performa jaringannya.

6.1.2 Hasil Implementasi Dengan Serangan *rushing*

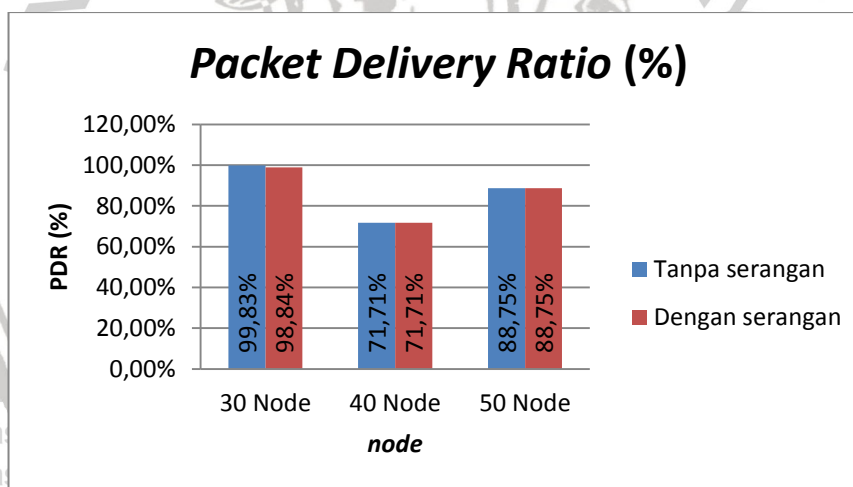
1. Hasil Implementasi Serangan *rushing* dengan Jumlah 3 Node Serangan

Berikut adalah hasil implementasi 3 serangan *rushing* dengan keadaan diam dan bergerak dengan jumlah *node* 30, 40, dan 50 *node* dengan parameter ukur *packet delivery ratio*, *packet loss*, *throughput*, dan *end to end delay* yang ditunjukkan pada tabel 6.2.

Tabel 6.2 Hasil Implementasi 3 Node Serangan *Rushing*

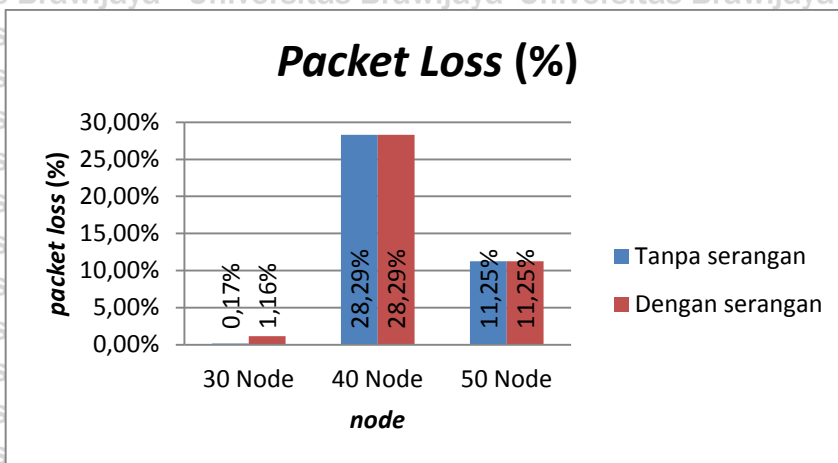
Jumlah Node	Parameter Ukur			
	<i>Packet Delivery Ratio</i> (%)	<i>Packet Loss</i> (%)	<i>Throughput</i> (kbps)	<i>End to End Delay</i> (ms)
30 Node	98,842 %	1,15798 %	100,85 kbps	790,375 ms
40 Node	71,7122 %	28,2878 %	101,56 kbps	52,1334 ms
50 Node	88,751 %	11,249 %	92,80 kbps	377,791 ms

Pada tabel 6.2 menunjukkan hasil implementasi 3 serangan *rushing* dari 30 *node*, 40 *node*, dan 50 *node*.



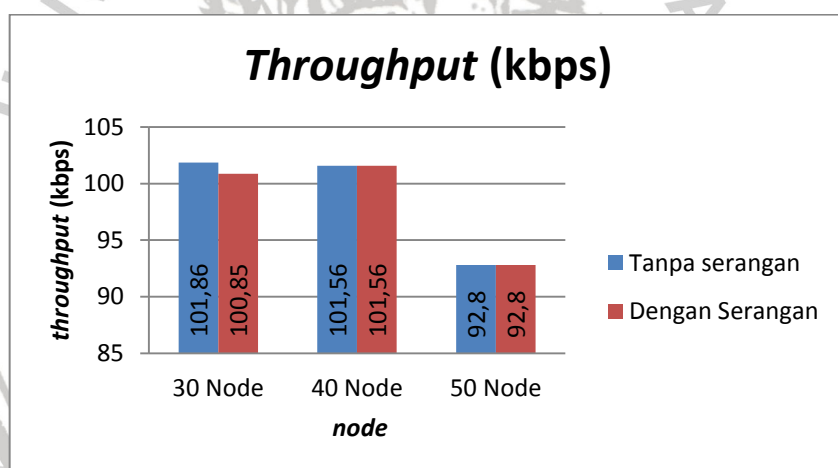
Gambar 6.5 Grafik *Packet Delivery Ratio* dari 3 Node Serangan *Rushing*

Pada gambar 6.5 menunjukkan hasil *packet delivery ratio* (PDR) dari hasil implementasi serangan *rushing* dengan jumlah 3 *node*. Dapat dilihat dari grafik terdapat penurunan nilai *packet delivery ratio* (PDR) dibandingkan dengan implementasi tanpa serangan. Pada 30 *node* terjadi penurunan sebanyak 0,99 %, 40 *node* dan 50 *node* tidak terjadi penurunan PDR.



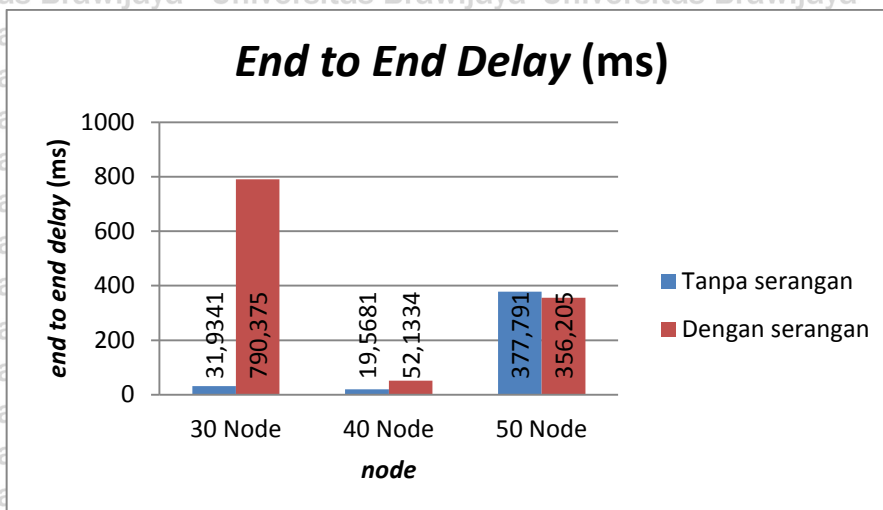
Gambar 6.6 Grafik Packet Loss dari 3 Node Serangan Rushing

Pada gambar 6.6 menunjukkan hasil *packet loss* dari hasil implementasi serangan *rushing* dengan jumlah 3 node. Dapat dilihat dari grafik terdapat kenaikan nilai *packet loss* dibandingkan dengan implementasi tanpa serangan. Pada 30 node terjadi kenaikan sebanyak 0,99 %, 40 node dan 50 node tidak terjadi kenaikan.



Gambar 6.7 Grafik Throughput dari 3 Node Serangan Rushing

Pada gambar 6.7 menunjukkan hasil *throughput* dari hasil implementasi serangan *rushing* dengan jumlah 3 node. Dapat dilihat dari grafik terdapat penurunan nilai *throughput* dibandingkan dengan implementasi tanpa serangan. Pada 30 node terjadi penurunan sebanyak 1,01 kbps, 40 node dan 50 node tidak terjadi penurunan.



Gambar 6.8 Grafik End to End Delay dari 3 Node Serangan Rushing

Pada gambar 6.8 menunjukkan hasil *end to end delay* dari hasil implementasi serangan *rushing* dengan jumlah 3 *node*. Dapat dilihat dari grafik terdapat kenaikan nilai *end to end delay* dibandingkan dengan implementasi tanpa serangan. Pada 30 *node* terjadi kenaikan sebanyak 758,4409 ms, 40 *node* terjadi penurunan sebanyak 32,5653 ms, dan 50 *node* terjadi penurunan sebanyak 21,586 ms. Peningkatan nilai *end to end delay* pada implementasi 3 serangan *rushing* paling besar terdapat pada 30 *node* dengan peningkatan sebanyak 758,4409 ms.

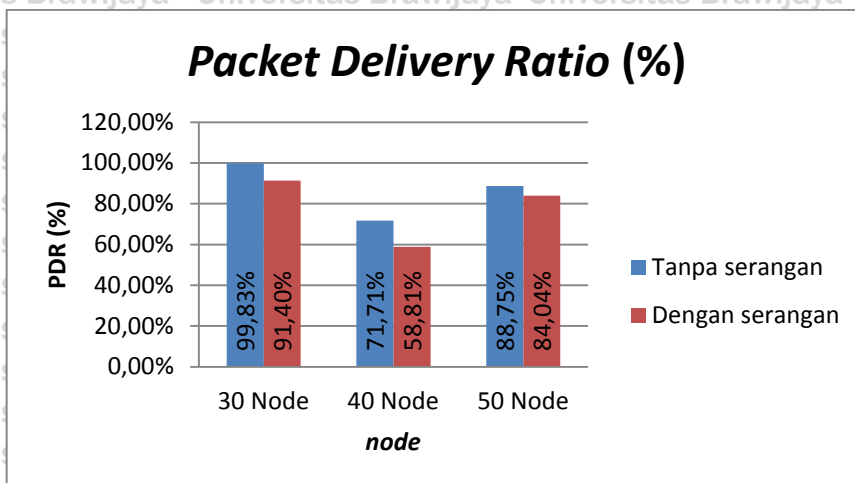
2. Hasil Implementasi Serangan *rushing* dengan Jumlah 4 Node Serangan

Berikut adalah hasil implementasi 4 serangan *rushing* dengan jumlah *node* 30, 40, dan 50 *node* dengan parameter ukur *packet delivery ratio*, *packet loss*, *throughput*, dan *end to end delay* yang ditunjukkan pada tabel 6.3.

Tabel 6.3 Hasil Implementasi 4 Node Serangan Rushing

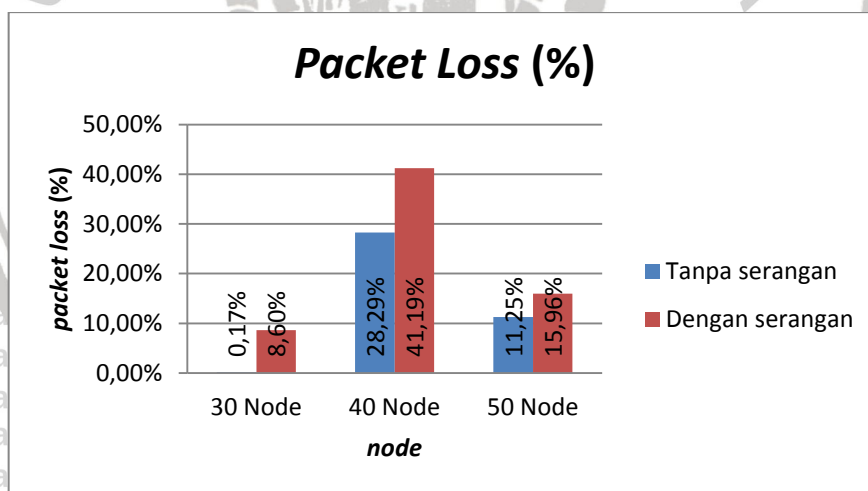
Jumlah Node	Parameter Ukur			
	<i>Packet Delivery Ratio</i> (%)	<i>Packet Loss</i> (%)	<i>Throughput</i> (kbps)	<i>End to End Delay</i> (ms)
30 Node	91,3978 %	8,60215 %	93,25 kbps	4067,26 ms
40 Node	58,8089 %	41,1911 %	83,29 kbps	256,856 ms
50 Node	84,0364 %	15,9636 %	81,59 kbps	1265,02 ms

Pada tabel 6.3 menunjukkan hasil implementasi 4 serangan *rushing* dari 30 *node*, 40 *node*, dan 50 *node*.



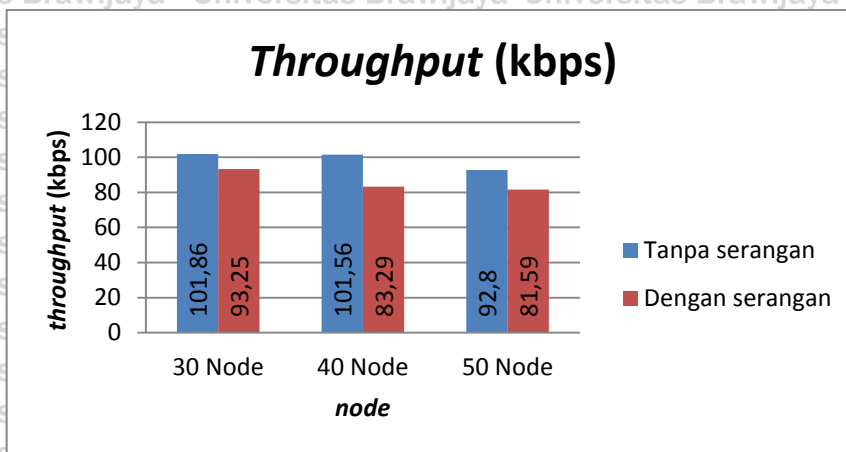
Gambar 6.9 Grafik Packet Delivery Ratio dari 4 Node Serangan Rushing

Pada gambar 6.9 menunjukkan hasil *packet delivery ratio* (PDR) dari hasil implementasi serangan *rushing* dengan jumlah 4 *node*. Dapat dilihat dari grafik terdapat penurunan nilai *packet delivery ratio* (PDR) dibandingkan dengan implementasi tanpa serangan. Pada 30 *node* terjadi penurunan sebanyak 8,44%, 40 *node* terjadi penurunan sebanyak 12,90%, dan 50 *node* terjadi penurunan sebanyak 4,71%. Penurunan nilai PDR pada implementasi 4 serangan *rushing* paling besar terdapat pada 40 *node* dengan penurunan sebanyak 12,90%.



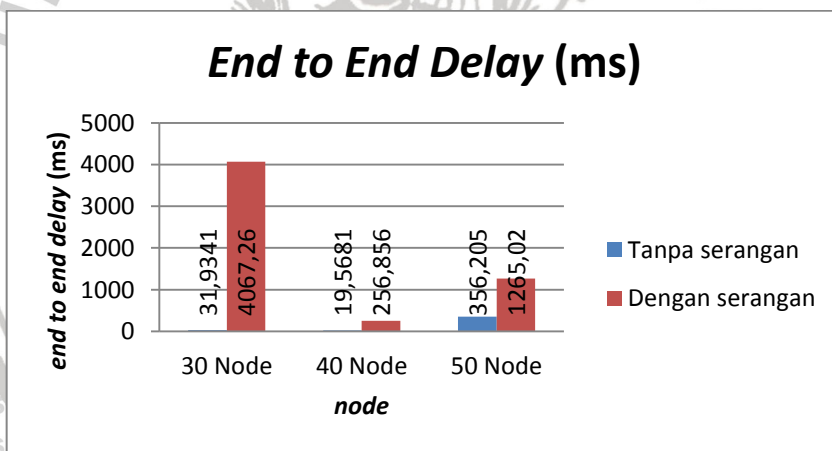
Gambar 6.10 Grafik Packet Loss dari 4 Node Serangan Rushing

Pada gambar 6.10 menunjukkan hasil *packet loss* dari hasil implementasi serangan *rushing* dengan jumlah 4 *node*. Dapat dilihat dari grafik terdapat kenaikan nilai *packet loss* dibandingkan dengan implementasi tanpa serangan. Pada 30 *node* terjadi kenaikan sebanyak 8,44%, 40 *node* terjadi kenaikan sebanyak 12,90%, dan 50 *node* terjadi kenaikan sebanyak 4,71%. Peningkatan nilai *packet loss* pada implementasi 4 serangan *rushing* paling besar terdapat pada 40 *node* dengan kenaikan sebanyak 12,90%.



Gambar 6.11 Grafik Throughput dari Serangan 4 Node Serangan Rushing

Pada gambar 6.11 menunjukkan hasil *throughput* dari hasil implementasi serangan *rushing* dengan jumlah 4 *node*. Dapat dilihat dari grafik terdapat penurunan nilai *throughput* dibandingkan dengan implementasi tanpa serangan. Pada 30 *node* terjadi penurunan sebanyak 8,61 kbps, 40 *node* terjadi penurunan sebanyak 18,27 kbps, dan 50 *node* terjadi penurunan sebanyak 11,21 kbps. penurunan nilai *throughput* pada implementasi 4 serangan *rushing* paling besar terdapat pada 40 *node* dengan penaikan sebanyak 18,27 kbps.



Gambar 6.12 Grafik End to End Delay dari 4 Node Serangan Rushing

Pada gambar 6.12 menunjukkan hasil *end to end delay* dari hasil implementasi serangan *rushing* dengan jumlah 4 *node*. Dapat dilihat dari grafik terdapat kenaikan nilai *end to end delay* dibandingkan dengan implementasi tanpa serangan. Pada 30 *node* terjadi kenaikan sebanyak 4035,3259 ms, 40 *node* terjadi kenaikan sebanyak 237,2879 ms, dan 50 *node* terjadi kenaikan sebanyak 908,815 ms. Penaikan nilai *end to end delay* pada implementasi 4 serangan *rushing* paling besar terdapat pada 30 *node* dengan penaikan sebanyak 4035,3259 ms.

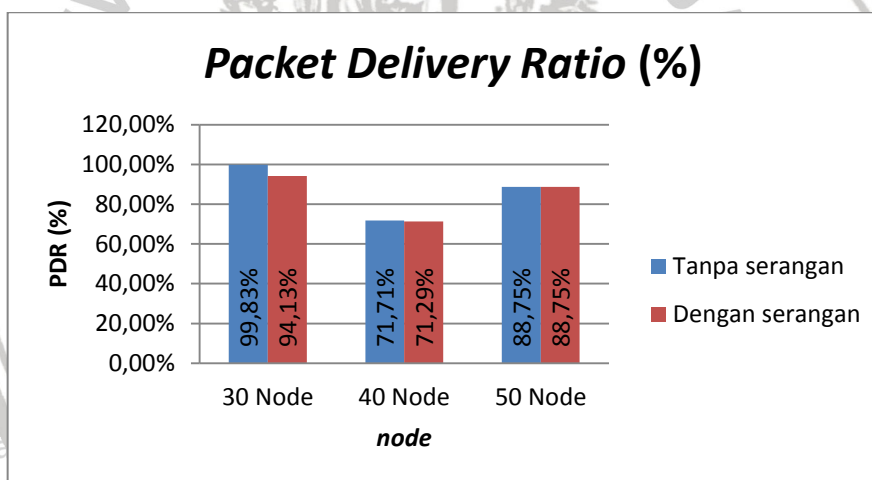
3. Hasil Implementasi Serangan *rushing* dengan Jumlah 5 Node Serangan

Berikut adalah hasil implementasi 5 serangan *rushing* dengan keadaan dengan jumlah *node* 30, 40, dan 50 *node* dengan parameter ukur *packet delivery ratio*, *packet loss*, *throughput*, dan *end to end delay* yang ditunjukkan pada tabel 6.4.

Tabel 6.4 Hasil Implementasi 5 Node Serangan *Rushing*

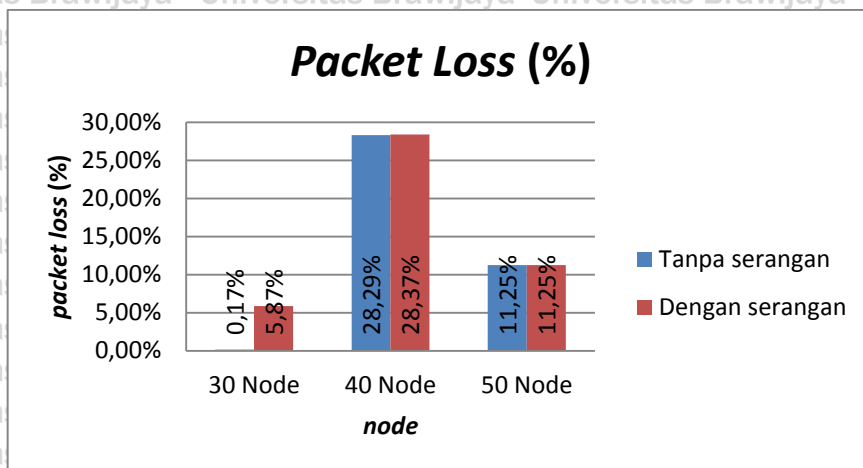
Jumlah Node	Parameter Ukur			
	<i>Packet Delivery Ratio</i> (%)	<i>Packet Loss</i> (%)	<i>Throughput</i> (kbps)	<i>End to End Delay</i> (ms)
30 Node	94,1274 %	5,87262 %	96,04 kbps	772,44 ms
40 Node	71,294 %	28,3706 %	101,44 kbps	18,2695 ms
50 Node	88,751 %	11,249 %	90,53 kbps	1337,27 ms

Pada tabel 6.4 menunjukkan hasil implementasi 4 serangan *rushing* dari 30 *node*, 40 *node*, dan 50 *node*.



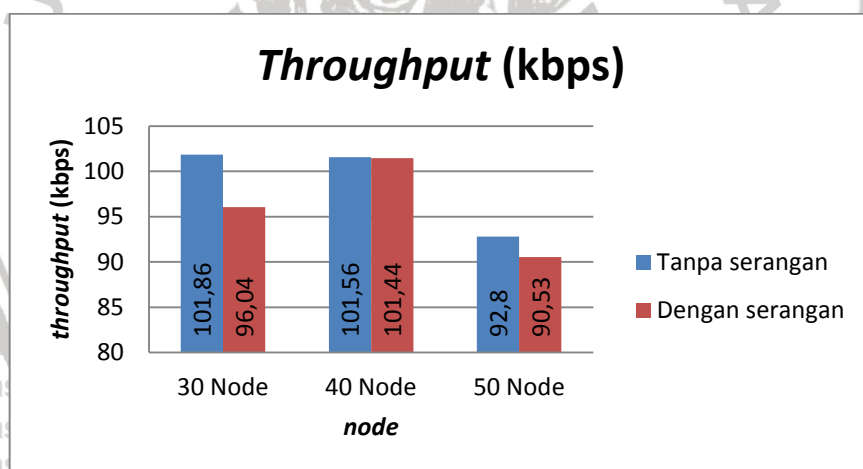
Gambar 6.13 Grafik *Packet Delivery Ratio* dari 5 Node Serangan *Rushing*

Pada gambar 6.13 menunjukkan hasil *packet delivery ratio* (PDR) dari hasil implementasi serangan *rushing* dengan jumlah 5 *node*. Dapat dilihat dari grafik terdapat penurunan nilai *packet delivery ratio* (PDR) dibandingkan dengan implementasi tanpa serangan. Pada 30 *node* terjadi penurunan sebanyak 5,71%, 40 *node* terjadi penurunan sebanyak 0,42%, dan 50 *node* tidak terjadi penurunan. Penurunan nilai PDR pada implementasi 5 serangan *rushing* paling besar terdapat pada 30 *node* dengan penurunan sebanyak 5,71%.



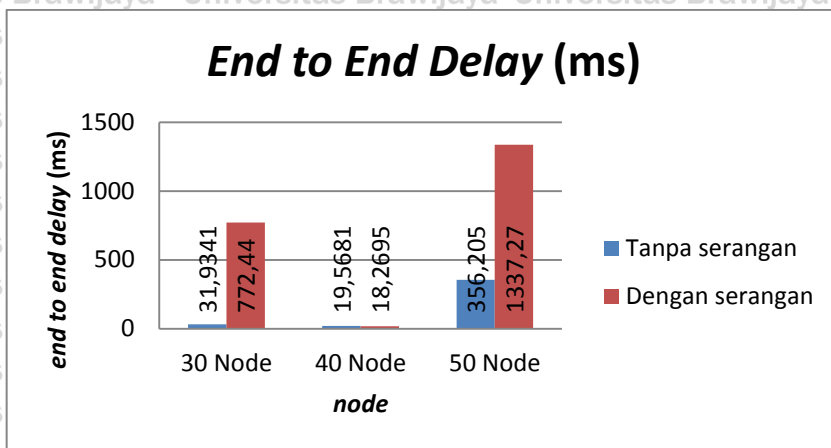
Gambar 6.14 Grafik Packet Loss dari 5 Node Serangan Rushing

Pada gambar 6.14 menunjukkan hasil *packet loss* dari hasil implementasi serangan *rushing* dengan jumlah 5 *node*. Dapat dilihat dari grafik terdapat kenaikan nilai *packet loss* dibandingkan dengan implementasi tanpa serangan. Pada 30 *node* terjadi kenaikan sebanyak 5,71%, 40 *node* terjadi kenaikan sebanyak 0,42%, dan 50 *node* tidak terjadi kenaikan. Kenaikan nilai *packet loss* pada implementasi 5 serangan *rushing* paling besar terdapat pada 30 *node* dengan kenaikan sebanyak 5,71%.



Gambar 6.15 Grafik Throughput dari 5 Node Serangan Rushing

Pada gambar 6.15 menunjukkan hasil *throughput* dari hasil implementasi serangan *rushing* dengan jumlah 5 *node*. Dapat dilihat dari grafik terdapat penurunan nilai *throughput* dibandingkan dengan implementasi tanpa serangan. Pada 30 *node* terjadi penurunan sebanyak 5,82 kbps, 40 *node* terjadi penurunan sebanyak 0,12 kbps, dan 50 *node* terjadi penurunan sebanyak 2,27 kbps. penurunan nilai *throughput* pada implementasi 5 serangan *rushing* paling besar terdapat pada 30 *node* dengan penarikan sebanyak 5,82 kbps.



Gambar 6.16 Grafik End to End Delay dari 5 Node Serangan Rushing

Pada gambar 6.16 menunjukkan hasil *end to end delay* dari hasil implementasi serangan *rushing* dengan jumlah 5 node. Dapat dilihat dari grafik terdapat kenaikan nilai *end to end delay* dibandingkan dengan implementasi tanpa serangan. Pada 30 node terjadi kenaikan sebanyak 740,5059 ms, 40 node terjadi penurunan sebanyak 1,2986 ms, dan 50 node terjadi kenaikan sebanyak 981,065 ms. Kenaikan nilai *end to end delay* pada implementasi 5 serangan *rushing* paling besar terdapat pada 50 node dengan kenaikan sebanyak 981,065 ms.

6.2 Analisis

Berdasarkan dari implementasi yang dilakukan didapatkan simpulan bahwa serangan *rushing* memengaruhi kinerja dari *routing* protokol AODV dengan mengubah jalur yang seharusnya dilalui. Serangan *rushing* berdampak pada ketiga jumlah node yang diujikan 30 node, 40 node, dan 50 node dengan adanya penurunan kualitas dengan ditunjukkan nilai pada *packet delivery ratio* yang turun, *packet loss* yang naik, *throughput* yang turun, dan *end to end delay* yang naik dibandingkan dengan implementasi tanpa serangan *rushing*. Penurunan paling besar terjadi pada implementasi 4 serangan *rushing* terjadi penurunan kualitas dimana *packet delivery ratio* pada 40 node terjadi penurunan sebesar 12,90% , *packet loss* pada 40 node terjadi kenaikan sebesar 12,90%, *throughput* pada 40 node terjadi penurunan sebesar 18,27 kbps, dan *end to end delay* pada 30 node terjadi kenaikan sebesar 4035,3259 ms. Dibandingkan dengan percobaan pada 30 node dan 50 node terjadinya penurunan kualitas sangat kecil dan cenderung tidak ada penurunan.

Berdasarkan hal tersebut serangan *rushing* secara keseluruhan memberikan dampak yang lebih pada jumlah node yang sedikit, namun serangan *rushing* sangat dipengaruhi oleh posisi node serangan, pergerakan node serangan, pergerakan node sender dan receiver, dan pergerakan node sekitarnya.

BAB 7 KESIMPULAN

7.1 Kesimpulan

1. Serangan *rushing* memengaruhi kinerja dari *routing* protokol AODV dengan mengubah jalur yang seharusnya dilalui.
2. Serangan *rushing* memberikan dampak pada *routing* protokol AODV dengan menurunkan kinerjanya. Dengan dibuktikan dari nilai *packet delivery ratio*, *packet loss*, *throughput*, dan *end to end delay* yang turun kualitasnya. Penurunan paling besar terjadi pada implementasi 4 serangan *rushing* terjadi penurunan kualitas dimana *packet delivery ratio* pada 40 *node* terjadi penurunan sebesar 12,90% , *packet loss* pada 40 *node* terjadi kenaikan sebesar 12,90%, *throughput* pada 40 *node* terjadi penurunan sebesar 18,27 kbps, dan *end to end delay* pada 30 *node* terjadi kenaikan sebesar 4035,3259 ms. Dibandingkan dengan percobaan pada 30 *node* dan 50 *node* terjadinya penurunan kualitas sangat kecil dan cenderung tidak ada penurunan. Berdasarkan hal tersebut serangan *rushing* secara keseluruhan memberikan dampak yang lebih pada jumlah *node* yang sedikit, namun serangan *rushing* sangat dipengaruhi oleh posisi *node* serangan, pergerakan *node* serangan, pergerakan *node sender* dan *receiver*, dan pergerakan *node sekitarnya*.

7.2 Saran

Saran untuk penelitian yang sejenis atau penelitian selanjutnya dapat menggunakan protokol selain AODV ataupun dapat menggunakan model pergerakan selain *Random Way Point* sehingga didapatkan hasil dari serangan *rushing* yang lebih beragam. Pelatikan *node* juga dapat menggunakan SUMO dan juga dapat menggunakan *network simulator* yang lebih baru.

DAFTAR PUSTAKA

- Bayu Aji, M. A., S., & Zahra, A. A. (2015). EVALUASI KINERJA PROTOKOL ROUTING DSDV TERHADAP PENGARUH MALICIOUS NODE PADA MANET MENGGUNAKAN NETWORK SIMULATOR 2 (NS-2). TRANSIENT.
- Bhattacharyya, A., Banerjee, A., & Bose, D. (2011). Different types of attacks in Mobile ADHOC Network: Prevention and mitigation techniques. Research Gate.
- Iskandar, I., & Hidayat, A. (2015). *Analisa Quality of Service (QoS) Jaringan Internet Kampus (Studi Kasus: UIN Suska Riau)* (Vol. 1). Jurnal CoreIT.
- Jayanti, V. N. (2014). Routing Protocols in MANET: Comparative Study. Routing Protocols in MANET: Comparative Study. IEEE.
- Mobile Ad Hoc Networking. (2017, September 26). Retrieved January 10, 2018, from <https://www.cisco.com/c/en/us/products/ios-nx-os-software/mobile-ad-hoc-networking/index.html>
- Prasad, J. R., & Babu, D. R. (2015). Implentation of Rushing Attack in Manets. *International Journal of Computational Mathematical Ideas*. Jain, A., & Sharma, S. D. (2014). Rushing attack prevention algorithm for manet using random route selection to make DSR and AODV more efficient. *International Journal Of Engineering And Computer Scienc*, 3(6), 6520-6524.
- Pratomo, I., & Hizburrahman, M. H. (2015). Pendeteksian Dan Pencegahan Serangan Black Hole & Gray Hole Pada Manet. *JAVA Journal of Electricl and Electronics Engineering*.
- Purba, D. U., Primananda, R., & Amron, K. (2018). Analisis Kinerja Protokol Ad Hoc On-Demand Distance Vector (AODV) dan Fisheye State Routing (FSR) pada Mobile Ad Hoc Network. *Jurnal Pengembangan Teknologi Informasi dan Ilmu Komputer*
- Sari, R. F., Syarif, A., & Budiardjo, B. (2010). Analisis Kinerja Protokol Routing Ad Hoc On-Demand Distance Vector (Aodv) Pada Jaringan Ad Hoc Hybrid: Perbandingan Hasil Simulasi Dengan Ns-2 Dan Implementasi Pada Testbed Dengan Pda. *MAKARA of Technology Series*, 12(1). doi:10.7454/mst.v12i1.517
- Seyyedtaj, M., & Jamali, M. A. (2014). Different Types of Attacks and Detection Techniques in Mobile Ad Hoc Network. *International Journal of Computer Applications Technology and Research*, 3(9), 541-546. doi:10.7753/ijcatr0309.1002

Seyyedtaj, M., & Jamali, M. A. (2014). Different Types of Attacks and Detection Techniques in Mobile Ad Hoc Network. *International Journal of Computer Applications Technology and Research*, 3(9), 541-546. doi:10.7753/ijcatr0309.1002

Thilagarasi, R., & Geetha, D. (2015). Review On Rushing Attack And Its Prevention Techniques In MANET. Research Gate



LAMPIRAN 1 SCRIPT AODV.TCL

```

#####
# Simulation parameters setup
#####
set val(chan) Channel/WirelessChannel ;# channel type
set val(prop) Propagation/TwoRayGround ;# radio-propagation
model
set val(netif) Phy/WirelessPhy ;# network interface
type
set val(mac) Mac/802_11 ;# MAC type
set val(ifq) Queue/DropTail/PriQueue ;# interface queue type
set val(ll) LL ;# link layer type
set val(ant) Antenna/OmniAntenna ;# antenna model
set val(ifqlen) 50 ;# max packet in ifq
set val(nn) 30 ;# number of
mobilenodes
set val(rp) AODV ;# routing protocol
set val(x) 1000 ;# X dimension of
topography
set val(y) 1000 ;# Y dimension of
topography
set val(stop) 100.0 ;# time of
simulation end
set val(t1) 0.0 ;
set val(t2) 0.0 ;
set val(sc) "scenario_30"

#####
# Initialization
#####
#Create a ns simulator
set ns_ [new Simulator]

#Setup topography object
set topo [new Topography]
$topo load_flatgrid $val(x) $val(y)
set god_ [create-god $val(nn)]

#Open the NS trace file
set tracefile [open out30.tr w]
$ns_ trace-all $tracefile

#Open the NAM trace file
set namfile [open out30.nam w]
$ns_ namtrace-all $namfile
$ns_ namtrace-all-wireless $namfile $val(x) $val(y)
set chan [new $val(chan)];#Create wireless channel

#####
# Mobile node parameter setup
#####
$ns_ node-config -adhocRouting $val(rp) \

```

```

-llType $val(ll) \
-macType $val(mac) \
-ifqType $val(ifq) \
-ifqLen $val(ifqlen) \
-antType $val(ant) \
-propType $val(prop) \
-phyType $val(netif) \
-channel $chan \
-topoInstance $topo \
-agentTrace ON \
-routerTrace ON \
-macTrace ON \
-movementTrace ON

#====
# Nodes Definition
#====

#[ $val(nn) ] and "attach" them
for {set i 0} {$i < $val(nn)} {incr i} {
    set node_($i) [$ns_node]
    $node_($i) random-motion 0;
}

puts "Loading scenario file..."
source $val(sc)

for {set i 0} {$i < $val(nn)} {incr i} {
    $ns_initial_node_pos $node_($i) 50
}
for {set i 0} {$i < $val(nn)} {incr i} {
    $ns_at $val(stop).0 "$node_($i) reset";
}

$node_(16) color red
$ns_at 0.0 "$node_(16) color red"
$ns_at 0.0 "$node_(16) label attacker"

$node_(25) color red
$ns_at 0.0 "$node_(25) color red"
$ns_at 0.0 "$node_(25) label attacker"

$node_(11) color red
$ns_at 0.0 "$node_(11) color red"
$ns_at 0.0 "$node_(11) label attacker"

$node_(10) color red
$ns_at 0.0 "$node_(10) color red"
$ns_at 0.0 "$node_(10) label attacker"

$node_(3) color red
$ns_at 0.0 "$node_(3) color red"
$ns_at 0.0 "$node_(3) label attacker"

$node_(18) color blue
$ns_at 0.0 "$node_(18) color blue"
$ns_at 0.0 "$node_(18) label receiver"

```

```

$node_ (4) color green
$ns_ at 0.0 "$node_ (4) color green"
$ns_ at 0.0 "$node_ (4) label sender"

#Rushing attackers
$ns_ at 0.0 "[ $node_ (16) set ragent_ ] rushingattack"
$ns_ at 0.0 "[ $node_ (25) set ragent_ ] rushingattack"
$ns_ at 0.0 "[ $node_ (11) set ragent_ ] rushingattack"
$ns_ at 0.0 "[ $node_ (3) set ragent_ ] rushingattack"
$ns_ at 0.0 "[ $node_ (10) set ragent_ ] rushingattack"

#-----
# Agents Definition
#-----

#Setup a UDP connection
set udp0 [new Agent/UDP]
$ns_ attach-agent $node_ (4) $udp0
set null1 [new Agent/Null]
$ns_ attach-agent $node_ (18) $null1
$ns_ connect $udp0 $null1
$udp0 set packetSize_ 1024

#Setup a CBR Application over UDP connection
set cbr0 [new Application/Traffic/CBR]
$cbr0 attach-agent $udp0
$cbr0 set packetSize_ 1024
$cbr0 set rate_ 0.1Mb
$cbr0 set random_ null
$ns_ at 1.0 "$cbr0 start"
$ns_ at 100.0 "$cbr0 stop"

#Setup a UDP connection
set udp1 [new Agent/UDP]
$ns_ attach-agent $node_ (4) $udp1
set null2 [new Agent/Null]
$ns_ attach-agent $node_ (18) $null2
$ns_ connect $udp1 $null1
$udp1 set packetSize_ 1024

#-----
# Termination
#-----

#Define a 'finish' procedure
proc finish {} {
    global ns_ tracefile namfile
    $ns_ flush-trace
    close $tracefile
    close $namfile
    exec nam out30.nam &
    exit 0
}

for {set i 0} {$i < $sval(nn)} {incr i} {
    $ns_ at $sval(stop).0 "$node_ ($i) reset"
}
$ns_ at $sval(stop) "$ns_ nam-end-wireless $sval(stop)"
$ns_ at $sval(stop) "finish"
$ns_ at $sval(stop) "puts \"done\" ; $ns_ halt"
$ns_ run

```

LAMPIRAN 2 SKENARIO PERGERAKAN NODE

```

#
# nodes: 30, pause: 0.00, max speed: 50.00, max x: 1000.00, max y:
1000.00
#
$node_(0) set X_ 215.930176878692
$node_(0) set Y_ 777.425335884204
$node_(0) set Z_ 0.000000000000
$node_(1) set X_ 157.073377322234
$node_(1) set Y_ 36.530929989748
$node_(1) set Z_ 0.000000000000
$node_(2) set X_ 227.148203935201
$node_(2) set Y_ 876.714839217413
$node_(2) set Z_ 0.000000000000
$node_(3) set X_ 274.507894203449
$node_(3) set Y_ 176.327314618063
$node_(3) set Z_ 0.000000000000
$node_(4) set X_ 878.265528399318
$node_(4) set Y_ 780.842990478348
$node_(4) set Z_ 0.000000000000
$node_(5) set X_ 537.042851491113
$node_(5) set Y_ 948.644482139045
$node_(5) set Z_ 0.000000000000
$node_(6) set X_ 958.261347682765
$node_(6) set Y_ 233.831902881394
$node_(6) set Z_ 0.000000000000
$node_(7) set X_ 485.077484719482
$node_(7) set Y_ 655.429984053931
$node_(7) set Z_ 0.000000000000
$node_(8) set X_ 971.358289486385
$node_(8) set Y_ 171.511245815628
$node_(8) set Z_ 0.000000000000
$node_(9) set X_ 93.258623359211
$node_(9) set Y_ 334.528864031193
$node_(9) set Z_ 0.000000000000
$node_(10) set X_ 865.088119390032
$node_(10) set Y_ 443.095910168241
$node_(10) set Z_ 0.000000000000
$node_(11) set X_ 328.072291854545
$node_(11) set Y_ 297.368508263642
$node_(11) set Z_ 0.000000000000
$node_(12) set X_ 522.189392153032
$node_(12) set Y_ 65.612144220463
$node_(12) set Z_ 0.000000000000
$node_(13) set X_ 941.762194243850
$node_(13) set Y_ 336.569603999722
$node_(13) set Z_ 0.000000000000
$node_(14) set X_ 179.253704679378
$node_(14) set Y_ 122.637210997879
$node_(14) set Z_ 0.000000000000
$node_(15) set X_ 89.900911482840
$node_(15) set Y_ 757.952169900306
$node_(15) set Z_ 0.000000000000
$node_(16) set X_ 573.412664297464
$node_(16) set Y_ 380.249182482210
$node_(16) set Z_ 0.000000000000
$node_(17) set X_ 656.005867395834

```



```

$node_(17) set Y 33.038145599871
$node_(17) set Z 0.000000000000
$node_(18) set X 138.141647384843
$node_(18) set Y 205.946248452370
$node_(18) set Z 0.000000000000
$node_(19) set X 155.357172553030
$node_(19) set Y 42.944187515506
$node_(19) set Z 0.000000000000
$node_(20) set X 359.959277061636
$node_(20) set Y 337.319123829337
$node_(20) set Z 0.000000000000
$node_(21) set X 80.676211691613
$node_(21) set Y 872.093443618025
$node_(21) set Z 0.000000000000
$node_(22) set X 518.766162661687
$node_(22) set Y 107.730381518584
$node_(22) set Z 0.000000000000
$node_(23) set X 113.517237736747
$node_(23) set Y 130.710049576054
$node_(23) set Z 0.000000000000
$node_(24) set X 447.655018212331
$node_(24) set Y 857.558901741228
$node_(24) set Z 0.000000000000
$node_(25) set X 428.700273663191
$node_(25) set Y 300.302050184185
$node_(25) set Z 0.000000000000
$node_(26) set X 222.362110682605
$node_(26) set Y 718.017466680061
$node_(26) set Z 0.000000000000
$node_(27) set X 54.480819108898
$node_(27) set Y 528.644888186394
$node_(27) set Z 0.000000000000
$node_(28) set X 461.164620221183
$node_(28) set Y 103.634038371006
$node_(28) set Z 0.000000000000
$node_(29) set X 176.988431907630
$node_(29) set Y 997.399812205499
$node_(29) set Z 0.000000000000
$ns_at 0.000000000000 "$node_(0) setdest 605.332521234910
194.173451836239 7.455103099500"
$ns_at 0.000000000000 "$node_(1) setdest 183.986208697113
316.418711518657 5.330564898615"
$ns_at 0.000000000000 "$node_(2) setdest 917.976608718544
186.744440776027 21.307598725422"
$ns_at 0.000000000000 "$node_(3) setdest 532.375088830949
492.409142297949 20.039528461225"
$ns_at 0.000000000000 "$node_(4) setdest 584.100025820733
760.302327140906 26.471634932351"
$ns_at 0.000000000000 "$node_(5) setdest 897.245168133405
741.443718136357 44.094121077000"
$ns_at 0.000000000000 "$node_(6) setdest 947.531848467566
927.519628760424 20.554209250322"
$ns_at 0.000000000000 "$node_(7) setdest 117.385102067166
483.925705695652 37.054477168091"
$ns_at 0.000000000000 "$node_(8) setdest 257.762628983387
920.996670044797 1.128340031648"
$ns_at 0.000000000000 "$node_(9) setdest 740.418782226533
124.862784280316 43.313654758791"
$ns_at 0.000000000000 "$node_(10) setdest 725.753539697439

```



```

207.440082018156 9.424361460904"
$ns_ at 0.000000000000 "$node_(11) setdest 162.703944799123
978.085661875507 11.181654973371"
$ns_ at 0.000000000000 "$node_(12) setdest 582.806239422340
758.227373638957 36.978417435081"
$ns_ at 0.000000000000 "$node_(13) setdest 535.665269572841
317.913208418979 7.637146100990"
$ns_ at 0.000000000000 "$node_(14) setdest 196.304950823875
261.218718330724 19.692372180525"
$ns_ at 0.000000000000 "$node_(15) setdest 320.966608999543
538.563173502018 31.831678753018"
$ns_ at 0.000000000000 "$node_(16) setdest 110.438384108987
243.643369916319 7.990126500825"
$ns_ at 0.000000000000 "$node_(17) setdest 509.016850235757
25.577730108092 42.997542732276"
$ns_ at 0.000000000000 "$node_(18) setdest 893.674556138997
114.496468989008 12.867396726836"
$ns_ at 0.000000000000 "$node_(19) setdest 770.031640112070
691.631375546410 29.943682702325"
$ns_ at 0.000000000000 "$node_(20) setdest 532.114519430282
424.819457661930 19.521098062486"
$ns_ at 0.000000000000 "$node_(21) setdest 204.922161675945
486.953526801973 37.270897627423"
$ns_ at 0.000000000000 "$node_(22) setdest 681.018513080629
972.469387639694 13.721099892629"
$ns_ at 0.000000000000 "$node_(23) setdest 522.800642238588
447.571717690424 45.590690775510"
$ns_ at 0.000000000000 "$node_(24) setdest 982.488938224898
198.649751329596 23.129084231530"
$ns_ at 0.000000000000 "$node_(25) setdest 358.990835181925
140.803758354667 16.947896376988"
$ns_ at 0.000000000000 "$node_(26) setdest 557.634906142033
328.905653537339 49.132014361550"
$ns_ at 0.000000000000 "$node_(27) setdest 229.317156294819
763.763119900303 5.225565362935"
$ns_ at 0.000000000000 "$node_(28) setdest 194.954518356952
315.674264603352 23.146808930798"
$ns_ at 0.000000000000 "$node_(29) setdest 935.226672684576
142.811308313336 41.259142961796"
$god_ set-dist 0 1 5
$god_ set-dist 0 2 1
$god_ set-dist 0 3 4
$god_ set-dist 0 4 16777215
$god_ set-dist 0 5 2
$god_ set-dist 0 6 16777215
$god_ set-dist 0 7 2
$god_ set-dist 0 8 16777215
$god_ set-dist 0 9 3
$god_ set-dist 0 10 16777215
$god_ set-dist 0 11 4
$god_ set-dist 0 12 6
$god_ set-dist 0 13 16777215
$god_ set-dist 0 14 4
$god_ set-dist 0 15 1
$god_ set-dist 0 16 6
$god_ set-dist 0 17 6
$god_ set-dist 0 18 4
$god_ set-dist 0 19 5
$god_ set-dist 0 20 5

```



\$god_set-dist	0	21	1
\$god_set-dist	0	22	6
\$god_set-dist	0	23	4
\$god_set-dist	0	24	1
\$god_set-dist	0	25	5
\$god_set-dist	0	26	1
\$god_set-dist	0	27	2
\$god_set-dist	0	28	5
\$god_set-dist	0	29	1
\$god_set-dist	1	2	5
\$god_set-dist	1	3	1
\$god_set-dist	1	4	16777215
\$god_set-dist	1	5	7
\$god_set-dist	1	6	16777215
\$god_set-dist	1	7	7
\$god_set-dist	1	8	16777215
\$god_set-dist	1	9	2
\$god_set-dist	1	10	16777215
\$god_set-dist	1	11	2
\$god_set-dist	1	12	3
\$god_set-dist	1	13	16777215
\$god_set-dist	1	14	1
\$god_set-dist	1	15	4
\$god_set-dist	1	16	3
\$god_set-dist	1	17	3
\$god_set-dist	1	18	1
\$god_set-dist	1	19	1
\$god_set-dist	1	20	2
\$god_set-dist	1	21	5
\$god_set-dist	1	22	3
\$god_set-dist	1	23	1
\$god_set-dist	1	24	6
\$god_set-dist	1	25	2
\$god_set-dist	1	26	5
\$god_set-dist	1	27	3
\$god_set-dist	1	28	2
\$god_set-dist	1	29	6
\$god_set-dist	2	3	4
\$god_set-dist	2	4	16777215
\$god_set-dist	2	5	2
\$god_set-dist	2	6	16777215
\$god_set-dist	2	7	2
\$god_set-dist	2	8	16777215
\$god_set-dist	2	9	3
\$god_set-dist	2	10	16777215
\$god_set-dist	2	11	4
\$god_set-dist	2	12	6
\$god_set-dist	2	13	16777215
\$god_set-dist	2	14	4
...			
\$ns_at	0.058538743041	"\$god_set-dist	12 16 2"
\$ns_at	0.058538743041	"\$god_set-dist	12 20 2"
\$ns_at	0.058538743041	"\$god_set-dist	12 25 1"
\$ns_at	0.248214270787	"\$god_set-dist	17 20 2"
\$ns_at	0.248214270787	"\$god_set-dist	20 28 1"
\$ns_at	0.291506096509	"\$god_set-dist	1 7 6"
\$ns_at	0.291506096509	"\$god_set-dist	3 7 5"
\$ns_at	0.291506096509	"\$god_set-dist	7 9 4"
\$ns_at	0.291506096509	"\$god_set-dist	7 11 5"

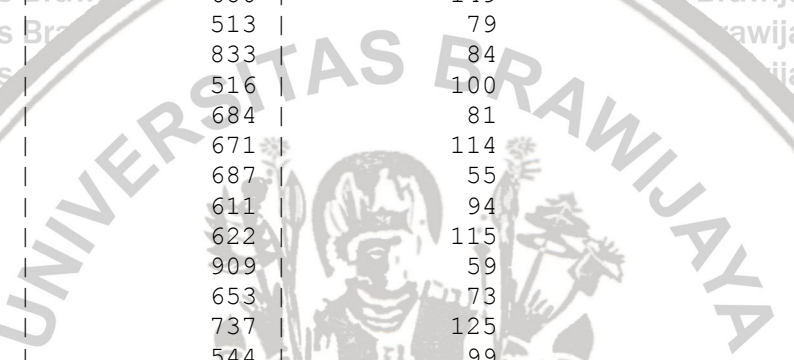
```

$ns_at 0.291506096509 "$god set-dist 7 12 7"
$ns_at 0.291506096509 "$god set-dist 7 14 5"
$ns_at 0.291506096509 "$god set-dist 7 15 2"
$ns_at 0.291506096509 "$god set-dist 7 16 7"
$ns_at 0.291506096509 "$god set-dist 7 17 7"
$ns_at 0.291506096509 "$god set-dist 7 18 5"
$ns_at 0.291506096509 "$god set-dist 7 19 6"
$ns_at 0.291506096509 "$god set-dist 7 20 6"
$ns_at 0.291506096509 "$god set-dist 7 21 2"
$ns_at 0.291506096509 "$god set-dist 7 22 7"
$ns_at 0.291506096509 "$god set-dist 7 23 5"
$ns_at 0.291506096509 "$god set-dist 7 25 6"
$ns_at 0.291506096509 "$god set-dist 7 26 1"
$ns_at 0.291506096509 "$god set-dist 7 27 3"
$ns_at 0.291506096509 "$god set-dist 7 28 6"
$ns_at 0.296993066209 "$god set-dist 1 7 5"
$ns_at 0.296993066209 "$god set-dist 1 26 4"
$ns_at 0.296993066209 "$god set-dist 3 7 4"
$ns_at 0.296993066209 "$god set-dist 3 26 3"
$ns_at 0.296993066209 "$god set-dist 7 9 3"
$ns_at 0.296993066209 "$god set-dist 7 11 4"
$ns_at 0.296993066209 "$god set-dist 7 12 6"
$ns_at 0.296993066209 "$god set-dist 7 14 4"
$ns_at 0.296993066209 "$god set-dist 7 16 6"
$ns_at 0.296993066209 "$god set-dist 7 17 6"
$ns_at 0.296993066209 "$god set-dist 7 18 4"
$ns_at 0.296993066209 "$god set-dist 7 19 5"
$ns_at 0.296993066209 "$god set-dist 7 20 5"
$ns_at 0.296993066209 "$god set-dist 7 22 6"
$ns_at 0.296993066209 "$god set-dist 7 23 4"
$ns_at 0.296993066209 "$god set-dist 7 25 5"
$ns_at 0.296993066209 "$god set-dist 7 27 2"
$ns_at 0.296993066209 "$god set-dist 7 28 5"
$ns_at 0.296993066209 "$god set-dist 9 26 2"
$ns_at 0.296993066209 "$god set-dist 11 26 3"
$ns_at 0.296993066209 "$god set-dist 12 26 5"
$ns_at 0.296993066209 "$god set-dist 14 26 3"
$ns_at 0.296993066209 "$god set-dist 16 26 5"
$ns_at 0.296993066209 "$god set-dist 17 26 5"
$ns_at 0.296993066209 "$god set-dist 18 26 3"
$ns_at 0.296993066209 "$god set-dist 19 26 4"
$ns_at 0.296993066209 "$god set-dist 20 26 4"
$ns_at 0.296993066209 "$god set-dist 22 26 5"
$ns_at 0.296993066209 "$god set-dist 23 26 3"
$ns_at 0.296993066209 "$god set-dist 25 26 4"
$ns_at 0.296993066209 "$god set-dist 26 27 1"
$ns_at 0.296993066209 "$god set-dist 26 28 4"
$ns_at 0.403460978758 "$god set-dist 0 22 5"
$ns_at 0.403460978758 "$god set-dist 1 22 2"
$ns_at 0.403460978758 "$god set-dist 2 22 5"
$ns_at 0.403460978758 "$god set-dist 3 22 1"
$ns_at 0.403460978758 "$god set-dist 5 22 7"
$ns_at 0.403460978758 "$god set-dist 7 22 5"
$ns_at 0.403460978758 "$god set-dist 9 22 2"
$ns_at 0.403460978758 "$god set-dist 14 22 2"
.
#
# Destination Unreachables: 973

```



#	Node	Route Changes	Link Changes
# Route Changes: 10196			
# Link Changes: 1251			
#	0	431	78
#	1	803	36
#	2	720	80
#	3	679	75
#	4	699	51
#	5	491	65
#	6	917	49
#	7	634	105
#	8	678	26
#	9	751	111
#	10	730	87
#	11	1003	51
#	12	680	149
#	13	513	79
#	14	833	84
#	15	516	100
#	16	684	81
#	17	671	114
#	18	687	55
#	19	611	94
#	20	622	115
#	21	909	59
#	22	653	73
#	23	737	125
#	24	544	99
#	25	702	86



LAMPIRAN 3 TRACE FILE

```

M 0.00000 0 (127.29, 852.62, 0.00), (744.99, 691.07), 4.32
M 0.00000 1 (129.80, 399.13, 0.00), (554.82, 430.05), 9.84
M 0.00000 2 (15.96, 673.03, 0.00), (952.46, 420.58), 3.75
M 0.00000 3 (495.61, 118.28, 0.00), (87.38, 757.35), 1.81
M 0.00000 4 (784.04, 658.12, 0.00), (102.69, 671.66), 4.11
M 0.00000 5 (675.18, 259.49, 0.00), (10.76, 782.81), 0.21
M 0.00000 6 (992.92, 733.00, 0.00), (35.16, 293.73), 6.53
M 0.00000 7 (728.73, 57.52, 0.00), (642.46, 167.70), 0.11
M 0.00000 8 (229.14, 639.76, 0.00), (473.33, 173.62), 9.05
M 0.00000 9 (879.59, 481.75, 0.00), (468.57, 136.70), 1.92
M 0.00000 10 (429.41, 55.39, 0.00), (894.58, 870.14), 5.82
M 0.00000 11 (320.03, 989.08, 0.00), (420.27, 919.46), 7.21
M 0.00000 12 (389.88, 641.91, 0.00), (698.35, 970.59), 3.44
M 0.00000 13 (306.99, 543.80, 0.00), (139.58, 290.74), 4.54
M 0.00000 14 (482.87, 255.02, 0.00), (411.22, 657.46), 8.37
M 0.00000 15 (744.95, 985.81, 0.00), (329.62, 551.10), 3.45
M 0.00000 16 (799.02, 328.70, 0.00), (15.93, 380.53), 3.25
M 0.00000 17 (991.95, 165.10, 0.00), (941.35, 711.90), 9.67
M 0.00000 18 (51.13, 651.65, 0.00), (489.08, 854.26), 4.60
M 0.00000 19 (240.54, 375.20, 0.00), (487.75, 861.03), 5.34
M 0.00000 20 (409.82, 963.82, 0.00), (811.23, 107.13), 8.06
M 0.00000 21 (398.48, 57.04, 0.00), (989.27, 596.63), 5.50
M 0.00000 22 (245.77, 408.49, 0.00), (870.57, 6.25), 2.23
M 0.00000 23 (469.52, 394.19, 0.00), (303.37, 77.22), 3.60
M 0.00000 24 (431.43, 911.28, 0.00), (629.02, 711.13), 3.94
M 0.00000 25 (635.02, 642.83, 0.00), (137.16, 815.29), 0.25
M 0.00000 26 (237.68, 830.16, 0.00), (841.79, 265.85), 2.95
M 0.00000 27 (704.60, 720.74, 0.00), (343.33, 781.64), 5.09
M 0.00000 28 (797.30, 593.12, 0.00), (789.48, 845.37), 2.99
M 0.00000 29 (190.49, 589.41, 0.00), (33.16, 642.55), 1.91
s 1.000000000 _4_ AGT --- 0 cbr 1024 [0 0 0 0] ----- [4:0 18:0
32 0] [0] 0 4
r 1.000000000 _4_ RTR --- 0 cbr 1024 [0 0 0 0] ----- [4:0 18:0
32 0] [0] 0 4
s 1.000000000 _4_ RTR --- 0 AODV 48 [0 0 0 0] ----- [4:255 -
1:255 30 0] [0x2 1 1 [18 0] [4 4]] (REQUEST)
s 1.000535000 _4_ MAC --- 0 AODV 106 [0 ffffffff 4 800] -----
[4:255 -1:255 30 0] [0x2 1 1 [18 0] [4 4]] (REQUEST)
r 1.001383215 _28_ MAC --- 0 AODV 48 [0 ffffffff 4 800] -----
[4:255 -1:255 30 0] [0x2 1 1 [18 0] [4 4]] (REQUEST)
r 1.001383341 _27_ MAC --- 0 AODV 48 [0 ffffffff 4 800] -----
[4:255 -1:255 30 0] [0x2 1 1 [18 0] [4 4]] (REQUEST)
r 1.001383487 _25_ MAC --- 0 AODV 48 [0 ffffffff 4 800] -----
[4:255 -1:255 30 0] [0x2 1 1 [18 0] [4 4]] (REQUEST)
r 1.001383677 _9_ MAC --- 0 AODV 48 [0 ffffffff 4 800] -----
[4:255 -1:255 30 0] [0x2 1 1 [18 0] [4 4]] (REQUEST)
r 1.001383731 _6_ MAC --- 0 AODV 48 [0 ffffffff 4 800] -----
[4:255 -1:255 30 0] [0x2 1 1 [18 0] [4 4]] (REQUEST)
r 1.001408215 _28_ RTR --- 0 AODV 48 [0 ffffffff 4 800] -----
[4:255 -1:255 30 0] [0x2 1 1 [18 0] [4 4]] (REQUEST)
s 1.001408215 _28_ RTR --- 0 AODV 48 [0 ffffffff 4 800] -----
[28:255 -1:255 29 0] [0x2 2 1 [18 0] [4 4]] (REQUEST)
r 1.001408341 _27_ RTR --- 0 AODV 48 [0 ffffffff 4 800] -----
[4:255 -1:255 30 0] [0x2 1 1 [18 0] [4 4]] (REQUEST)
s 1.001408341 _27_ RTR --- 0 AODV 48 [0 ffffffff 4 800] -----
[27:255 -1:255 29 0] [0x2 2 1 [18 0] [4 4]] (REQUEST)

```



```

r 1.001408487 25 RTR --- 0 AODV 48 [0 ffffffff 4 800] ---
[4:255 -1:255 30 0] [0x2 1 1 [18 0] [4 4]] (REQUEST)
r 1.001408677 9 RTR --- 0 AODV 48 [0 ffffffff 4 800] ---
[4:255 -1:255 30 0] [0x2 1 1 [18 0] [4 4]] (REQUEST)
s 1.001408677 9 RTR --- 0 AODV 48 [0 ffffffff 4 800] ---
[9:255 -1:255 29 0] [0x2 2 1 [18 0] [4 4]] (REQUEST)
r 1.001408731 6 RTR --- 0 AODV 48 [0 ffffffff 4 800] ---
[4:255 -1:255 30 0] [0x2 1 1 [18 0] [4 4]] (REQUEST)
s 1.001408731 6 RTR --- 0 AODV 48 [0 ffffffff 4 800] ---
[6:255 -1:255 29 0] [0x2 2 1 [18 0] [4 4]] (REQUEST)
s 1.001483677 9 MAC --- 0 AODV 106 [0 ffffffff 9 800] ---
[9:255 -1:255 29 0] [0x2 2 1 [18 0] [4 4]] (REQUEST)
s 1.001550533 25 RTR --- 0 AODV 48 [0 ffffffff 4 800] ---
[25:255 -1:255 29 0] [0x2 1 1 [18 0] [4 4]] (REQUEST)
r 1.002332147 28 MAC --- 0 AODV 48 [0 ffffffff 9 800] ---
[9:255 -1:255 29 0] [0x2 2 1 [18 0] [4 4]] (REQUEST)
r 1.002332252 16 MAC --- 0 AODV 48 [0 ffffffff 9 800] ---
[9:255 -1:255 29 0] [0x2 2 1 [18 0] [4 4]] (REQUEST)
r 1.002332353 4 MAC --- 0 AODV 48 [0 ffffffff 9 800] ---
[9:255 -1:255 29 0] [0x2 2 1 [18 0] [4 4]] (REQUEST)
r 1.002357147 28 RTR --- 0 AODV 48 [0 ffffffff 9 800] ---
[9:255 -1:255 29 0] [0x2 2 1 [18 0] [4 4]] (REQUEST)
r 1.002357252 16 RTR --- 0 AODV 48 [0 ffffffff 9 800] ---
[9:255 -1:255 29 0] [0x2 2 1 [18 0] [4 4]] (REQUEST)
r 1.002357353 4 RTR --- 0 AODV 48 [0 ffffffff 9 800] ---
[9:255 -1:255 29 0] [0x2 2 1 [18 0] [4 4]] (REQUEST)
s 1.002682147 28 MAC --- 0 AODV 106 [0 ffffffff 1c 800] ---
[28:255 -1:255 29 0] [0x2 2 1 [18 0] [4 4]] (REQUEST)
r 1.003530362 4 MAC --- 0 AODV 48 [0 ffffffff 1c 800] ---
[28:255 -1:255 29 0] [0x2 2 1 [18 0] [4 4]] (REQUEST)
r 1.003530617 9 MAC --- 0 AODV 48 [0 ffffffff 1c 800] ---
[28:255 -1:255 29 0] [0x2 2 1 [18 0] [4 4]] (REQUEST)
r 1.003530677 27 MAC --- 0 AODV 48 [0 ffffffff 1c 800] ---
[28:255 -1:255 29 0] [0x2 2 1 [18 0] [4 4]] (REQUEST)
r 1.003530711 25 MAC --- 0 AODV 48 [0 ffffffff 1c 800] ---
[28:255 -1:255 29 0] [0x2 2 1 [18 0] [4 4]] (REQUEST)
r 1.003530922 6 MAC --- 0 AODV 48 [0 ffffffff 1c 800] ---
[28:255 -1:255 29 0] [0x2 2 1 [18 0] [4 4]] (REQUEST)
r 1.003555362 4 RTR --- 0 AODV 48 [0 ffffffff 1c 800] ---
[28:255 -1:255 29 0] [0x2 2 1 [18 0] [4 4]] (REQUEST)
r 1.003555617 9 RTR --- 0 AODV 48 [0 ffffffff 1c 800] ---
[28:255 -1:255 29 0] [0x2 2 1 [18 0] [4 4]] (REQUEST)
r 1.003555677 27 RTR --- 0 AODV 48 [0 ffffffff 1c 800] ---
[28:255 -1:255 29 0] [0x2 2 1 [18 0] [4 4]] (REQUEST)
r 1.003555711 25 RTR --- 0 AODV 48 [0 ffffffff 1c 800] ---
[28:255 -1:255 29 0] [0x2 2 1 [18 0] [4 4]] (REQUEST)
r 1.003555922 6 RTR --- 0 AODV 48 [0 ffffffff 1c 800] ---
[28:255 -1:255 29 0] [0x2 2 1 [18 0] [4 4]] (REQUEST)
s 1.003740922 6 MAC --- 0 AODV 106 [0 ffffffff 6 800] ---
[6:255 -1:255 29 0] [0x2 2 1 [18 0] [4 4]] (REQUEST)
r 1.004589652 4 MAC --- 0 AODV 48 [0 ffffffff 6 800] ---
[6:255 -1:255 29 0] [0x2 2 1 [18 0] [4 4]] (REQUEST)
r 1.004589696 28 MAC --- 0 AODV 48 [0 ffffffff 6 800] ---
[6:255 -1:255 29 0] [0x2 2 1 [18 0] [4 4]] (REQUEST)
r 1.004614652 4 RTR --- 0 AODV 48 [0 ffffffff 6 800] ---
[6:255 -1:255 29 0] [0x2 2 1 [18 0] [4 4]] (REQUEST)
r 1.004614696 28 RTR --- 0 AODV 48 [0 ffffffff 6 800] ---
[6:255 -1:255 29 0] [0x2 2 1 [18 0] [4 4]] (REQUEST)
s 1.005044131 25 MAC --- 0 AODV 106 [0 ffffffff 19 800] ---

```

```

[25:255 -1:255 29 0] [0x2 1 1 [18 0] [4 4]] (REQUEST)
r 1.005892471_27_MAC --- 0 AODV 48 [0 ffffffff 19 800] -----
[25:255 -1:255 29 0] [0x2 1 1 [18 0] [4 4]] (REQUEST)
r 1.005892618_4_MAC --- 0 AODV 48 [0 ffffffff 19 800] -----
[25:255 -1:255 29 0] [0x2 1 1 [18 0] [4 4]] (REQUEST)
r 1.005892695_28_MAC --- 0 AODV 48 [0 ffffffff 19 800] -----
[25:255 -1:255 29 0] [0x2 1 1 [18 0] [4 4]] (REQUEST)
r 1.005892940_12_MAC --- 0 AODV 48 [0 ffffffff 19 800] -----
[25:255 -1:255 29 0] [0x2 1 1 [18 0] [4 4]] (REQUEST)
r 1.005917471_27_RTR --- 0 AODV 48 [0 ffffffff 19 800] -----
[25:255 -1:255 29 0] [0x2 1 1 [18 0] [4 4]] (REQUEST)
r 1.005917618_4_RTR --- 0 AODV 48 [0 ffffffff 19 800] -----
[25:255 -1:255 29 0] [0x2 1 1 [18 0] [4 4]] (REQUEST)
r 1.005917695_28_RTR --- 0 AODV 48 [0 ffffffff 19 800] -----
[25:255 -1:255 29 0] [0x2 1 1 [18 0] [4 4]] (REQUEST)
r 1.005917940_12_RTR --- 0 AODV 48 [0 ffffffff 19 800] -----
[25:255 -1:255 29 0] [0x2 1 1 [18 0] [4 4]] (REQUEST)
s 1.005917940_12_RTR --- 0 AODV 48 [0 ffffffff 19 800] -----
[12:255 -1:255 28 0] [0x2 2 1 [18 0] [4 4]] (REQUEST)
s 1.006062471_27_MAC --- 0 AODV 106 [0 ffffffff 1b 800] -----
[27:255 -1:255 29 0] [0x2 2 1 [18 0] [4 4]] (REQUEST)
r 1.006910811_25_MAC --- 0 AODV 48 [0 ffffffff 1b 800] -----
[27:255 -1:255 29 0] [0x2 2 1 [18 0] [4 4]] (REQUEST)
r 1.006910812_4_MAC --- 0 AODV 48 [0 ffffffff 1b 800] -----
[27:255 -1:255 29 0] [0x2 2 1 [18 0] [4 4]] (REQUEST)
r 1.006911001_28_MAC --- 0 AODV 48 [0 ffffffff 1b 800] -----
[27:255 -1:255 29 0] [0x2 2 1 [18 0] [4 4]] (REQUEST)
r 1.006935811_25_RTR --- 0 AODV 48 [0 ffffffff 1b 800] -----
[27:255 -1:255 29 0] [0x2 2 1 [18 0] [4 4]] (REQUEST)
r 1.006935812_4_RTR --- 0 AODV 48 [0 ffffffff 1b 800] -----
[27:255 -1:255 29 0] [0x2 2 1 [18 0] [4 4]] (REQUEST)
r 1.006936001_28_RTR --- 0 AODV 48 [0 ffffffff 1b 800] -----
[27:255 -1:255 29 0] [0x2 2 1 [18 0] [4 4]] (REQUEST)
s 1.007805527_12_MAC --- 0 AODV 106 [0 ffffffff c 800] -----
[12:255 -1:255 28 0] [0x2 2 1 [18 0] [4 4]] (REQUEST)
r 1.008653982_13_MAC --- 0 AODV 48 [0 ffffffff c 800] -----
[12:255 -1:255 28 0] [0x2 2 1 [18 0] [4 4]] (REQUEST)
r 1.008654058_8_MAC --- 0 AODV 48 [0 ffffffff c 800] -----
[12:255 -1:255 28 0] [0x2 2 1 [18 0] [4 4]] (REQUEST)
r 1.008654229_29_MAC --- 0 AODV 48 [0 ffffffff c 800] -----
[12:255 -1:255 28 0] [0x2 2 1 [18 0] [4 4]] (REQUEST)
r 1.008654323_26_MAC --- 0 AODV 48 [0 ffffffff c 800] -----
[12:255 -1:255 28 0] [0x2 2 1 [18 0] [4 4]] (REQUEST)
r 1.008654335_25_MAC --- 0 AODV 48 [0 ffffffff c 800] -----
[12:255 -1:255 28 0] [0x2 2 1 [18 0] [4 4]] (REQUEST)
r 1.008678982_13_RTR --- 0 AODV 48 [0 ffffffff c 800] -----
[12:255 -1:255 28 0] [0x2 2 1 [18 0] [4 4]] (REQUEST)
s 1.008678982_13_RTR --- 0 AODV 48 [0 ffffffff c 800] -----
[13:255 -1:255 27 0] [0x2 3 1 [18 0] [4 4]] (REQUEST)
r 1.008679058_8_RTR --- 0 AODV 48 [0 ffffffff c 800] -----
[12:255 -1:255 28 0] [0x2 2 1 [18 0] [4 4]] (REQUEST)
s 1.008679058_8_RTR --- 0 AODV 48 [0 ffffffff c 800] -----
[8:255 -1:255 27 0] [0x2 3 1 [18 0] [4 4]] (REQUEST)
r 1.008679229_29_RTR --- 0 AODV 48 [0 ffffffff c 800] -----
[12:255 -1:255 28 0] [0x2 2 1 [18 0] [4 4]] (REQUEST)

```



```

r 20.611104577_24 MAC --- 0 CTS 38 [474 18 0 0]
s 20.611114577_24 MAC --- 0 AODV 102 [13a 1b 18 800] -----
[18:255 4:255 28 27] [0x4 3 [18 8] 10.000000] (REPLY)
r 20.611931114_27 MAC --- 0 AODV 44 [13a 1b 18 800] -----
[18:255 4:255 28 27] [0x4 3 [18 8] 10.000000] (REPLY)
s 20.611941114_27 MAC --- 0 ACK 38 [0 18 0 0]
r 20.611956114_27 RTR --- 0 AODV 44 [13a 1b 18 800] -----
[18:255 4:255 28 27] [0x4 3 [18 8] 10.000000] (REPLY)
f 20.611956114_27 RTR --- 0 AODV 44 [13a 1b 18 800] -----
[18:255 4:255 27 4] [0x4 4 [18 8] 10.000000] (REPLY)
r 20.612245651_24 MAC --- 0 ACK 38 [0 18 0 0]
s 20.612405418_25 MAC --- 0 AODV 106 [0 ffffffff 19 800]
- [25:255 -1:255 5 0] [0x2 1 2 [18 5] [4 6]] (REQUEST)
r 20.613253655_4 MAC --- 0 AODV 48 [0 ffffffff 19 800] -----
[25:255 -1:255 5 0] [0x2 1 2 [18 5] [4 6]] (REQUEST)
r 20.613253745_27 MAC --- 0 AODV 48 [0 ffffffff 19 800] -----
[25:255 -1:255 5 0] [0x2 1 2 [18 5] [4 6]] (REQUEST)
r 20.613253971_28 MAC --- 0 AODV 48 [0 ffffffff 19 800] -----
[25:255 -1:255 5 0] [0x2 1 2 [18 5] [4 6]] (REQUEST)
r 20.613254078_12 MAC --- 0 AODV 48 [0 ffffffff 19 800] -----
[25:255 -1:255 5 0] [0x2 1 2 [18 5] [4 6]] (REQUEST)
r 20.613254171_20 MAC --- 0 AODV 48 [0 ffffffff 19 800] -----
[25:255 -1:255 5 0] [0x2 1 2 [18 5] [4 6]] (REQUEST)
r 20.613254227_6 MAC --- 0 AODV 48 [0 ffffffff 19 800] -----
[25:255 -1:255 5 0] [0x2 1 2 [18 5] [4 6]] (REQUEST)
r 20.613278655_4 RTR --- 0 AODV 48 [0 ffffffff 19 800] -----
[25:255 -1:255 5 0] [0x2 1 2 [18 5] [4 6]] (REQUEST)
r 20.613278745_27 RTR --- 0 AODV 48 [0 ffffffff 19 800] -----
[25:255 -1:255 5 0] [0x2 1 2 [18 5] [4 6]] (REQUEST)
r 20.613278971_28 RTR --- 0 AODV 48 [0 ffffffff 19 800] -----
[25:255 -1:255 5 0] [0x2 1 2 [18 5] [4 6]] (REQUEST)
r 20.613279078_12 RTR --- 0 AODV 48 [0 ffffffff 19 800] -----
[25:255 -1:255 5 0] [0x2 1 2 [18 5] [4 6]] (REQUEST)
r 20.613279171_20 RTR --- 0 AODV 48 [0 ffffffff 19 800] -----
[25:255 -1:255 5 0] [0x2 1 2 [18 5] [4 6]] (REQUEST)
r 20.613279227_6 RTR --- 0 AODV 48 [0 ffffffff 19 800] -----
[25:255 -1:255 5 0] [0x2 1 2 [18 5] [4 6]] (REQUEST)
s 20.613683745_27 MAC --- 0 RTS 44 [5ae 4 1b 0]
r 20.614036164_4 MAC --- 0 RTS 44 [5ae 4 1b 0]
s 20.614046164_4 MAC --- 0 CTS 38 [474 1b 0 0]
r 20.614350583_27 MAC --- 0 CTS 38 [474 1b 0 0]
s 20.614360583_27 MAC --- 0 AODV 102 [13a 4 1b 800] -----
[18:255 4:255 27 4] [0x4 4 [18 8] 10.000000] (REPLY)
r 20.615177002_4 MAC --- 0 AODV 44 [13a 4 1b 800] -----
[18:255 4:255 27 4] [0x4 4 [18 8] 10.000000] (REPLY)
s 20.615187002_4 MAC --- 0 ACK 38 [0 1b 0 0]
r 20.615202002_4 RTR --- 0 AODV 44 [13a 4 1b 800] -----
[18:255 4:255 27 4] [0x4 4 [18 8] 10.000000] (REPLY)
s 20.615202002_4 RTR --- 239 cbr 1044 [0 0 0 0] ----- [4:0
18:0 30 27] [239] 0 4
r 20.615491422_27 MAC --- 0 ACK 38 [0 1b 0 0]
s 20.615641239_25 MAC --- 0 RTS 44 [24ee c 19 0]
r 20.615993898_12 MAC --- 0 RTS 44 [24ee c 19 0]
s 20.616003898_12 MAC --- 0 CTS 38 [23b4 19 0 0]
r 20.616308558_25 MAC --- 0 CTS 38 [23b4 19 0 0]
s 20.616318558_25 MAC --- 178 cbr 1102 [13a c 19 800] -----
[4:0 18:0 29 12] [178] 1 4
r 20.625135217_12 MAC --- 178 cbr 1044 [13a c 19 800] -----
[4:0 18:0 29 12] [178] 2 4

```

```

s 20.625145217_12_MAC --- 0 ACK 38 [0 19 0 0]
r 20.625160217_12_RTR --- 178 cbr 1044 [13a c 19 800] -----
[4:0 18:0 29 12] [178] 2 4
D 20.625160217_12_RTR NRTE 178 cbr 1044 [13a c 19 800] -----
[4:0 18:0 28 12] [178] 2 4
s 20.625160217_12_RTR --- 0 AODV 32 [0 0 0 0] ----- [12:255 -
1:255 1 0] [0x8 1 [18 0] 0.000000] (ERROR)
r 20.625449877_25_MAC --- 0 ACK 38 [0 19 0 0]
s 20.625639217_12_MAC --- 0 AODV 90 [0 ffffffff c 800] -----
[12:255 -1:255 1 0] [0x8 1 [18 0] 0.000000] (ERROR)
r 20.626359640_20_MAC --- 0 AODV 32 [0 ffffffff c 800] -----
[12:255 -1:255 1 0] [0x8 1 [18 0] 0.000000] (ERROR)
r 20.626359775_24_MAC --- 0 AODV 32 [0 ffffffff c 800] -----
[12:255 -1:255 1 0] [0x8 1 [18 0] 0.000000] (ERROR)
r 20.626359779_27_MAC --- 0 AODV 32 [0 ffffffff c 800] -----
[12:255 -1:255 1 0] [0x8 1 [18 0] 0.000000] (ERROR)
r 20.626359827_26_MAC --- 0 AODV 32 [0 ffffffff c 800] -----
[12:255 -1:255 1 0] [0x8 1 [18 0] 0.000000] (ERROR)
r 20.626359870_11_MAC --- 0 AODV 32 [0 ffffffff c 800] -----
[12:255 -1:255 1 0] [0x8 1 [18 0] 0.000000] (ERROR)
r 20.626359877_25_MAC --- 0 AODV 32 [0 ffffffff c 800] -----
[12:255 -1:255 1 0] [0x8 1 [18 0] 0.000000] (ERROR)
r 20.626384640_20_RTR --- 0 AODV 32 [0 ffffffff c 800] -----
[12:255 -1:255 1 0] [0x8 1 [18 0] 0.000000] (ERROR)
r 20.626384775_24_RTR --- 0 AODV 32 [0 ffffffff c 800] -----
[12:255 -1:255 1 0] [0x8 1 [18 0] 0.000000] (ERROR)
r 20.626384779_27_RTR --- 0 AODV 32 [0 ffffffff c 800] -----
[12:255 -1:255 1 0] [0x8 1 [18 0] 0.000000] (ERROR)
r 20.626384827_26_RTR --- 0 AODV 32 [0 ffffffff c 800] -----
[12:255 -1:255 1 0] [0x8 1 [18 0] 0.000000] (ERROR)
r 20.626384870_11_RTR --- 0 AODV 32 [0 ffffffff c 800] -----
[12:255 -1:255 1 0] [0x8 1 [18 0] 0.000000] (ERROR)
r 20.626384877_25_RTR --- 0 AODV 32 [0 ffffffff c 800] -----
[12:255 -1:255 1 0] [0x8 1 [18 0] 0.000000] (ERROR)
s 20.627034055_8_MAC --- 0 ARP 86 [0 ffffffff 8 806] -----
[REQUEST 8/8 0/13]
r 20.627722139_19_MAC --- 0 ARP 28 [0 ffffffff 8 806] -----
[REQUEST 8/8 0/13]
r 20.627722258_13_MAC --- 0 ARP 28 [0 ffffffff 8 806] -----
[REQUEST 8/8 0/13]
r 20.627722264_1_MAC --- 0 ARP 28 [0 ffffffff 8 806] -----
[REQUEST 8/8 0/13]
r 20.627722375_22_MAC --- 0 ARP 28 [0 ffffffff 8 806] -----
[REQUEST 8/8 0/13]
r 20.627722540_14_MAC --- 0 ARP 28 [0 ffffffff 8 806] -----
[REQUEST 8/8 0/13]
r 20.627722683_23_MAC --- 0 ARP 28 [0 ffffffff 8 806] -----
[REQUEST 8/8 0/13]
r 20.627722744_29_MAC --- 0 ARP 28 [0 ffffffff 8 806] -----
[REQUEST 8/8 0/13]
s 20.627792258_13_MAC --- 0 RTS 44 [52e 8 d 0]
r 20.628144462_8_MAC --- 0 RTS 44 [52e 8 d 0]
s 20.628154462_8_MAC --- 0 CTS 38 [3f4 d 0 0]
r 20.628458666_13_MAC --- 0 CTS 38 [3f4 d 0 0]
s 20.628468666_13_MAC --- 0 ARP 86 [13a 8 d 806] ----- [REPLY
13/13 8/8]
r 20.629156869_8_MAC --- 0 ARP 28 [13a 8 d 806] ----- [REPLY
13/13 8/8]
M:192.82593.14 (437.01, 225.24, 0.00), (477.24, 62.63), 5.39

```

M 195.78071	18	(833.13, 921.36, 0.00),	(967.86, 870.43),	5.59
M 201.24815	24	(237.99, 885.42, 0.00),	(473.01, 233.21),	9.03
M 201.78761	11	(436.54, 671.10, 0.00),	(608.48, 57.89),	4.29
M 203.86291	13	(844.00, 159.91, 0.00),	(822.04, 92.00),	0.98
M 213.80111	15	(603.79, 707.90, 0.00),	(263.85, 793.73),	0.15
M 215.72109	27	(928.10, 762.16, 0.00),	(981.72, 936.50),	4.24
M 219.78140	28	(604.72, 674.73, 0.00),	(491.77, 314.22),	6.84
M 221.52754	18	(967.86, 870.43, 0.00),	(425.89, 229.07),	0.26
M 223.88013	14	(477.24, 62.63, 0.00),	(507.68, 88.33),	2.44
M 225.51228	29	(561.14, 404.87, 0.00),	(139.09, 796.26),	3.36
M 231.13948	8	(646.92, 886.29, 0.00),	(334.53, 310.69),	7.11
M 237.05385	17	(564.19, 483.32, 0.00),	(281.28, 619.82),	8.79
M 240.19085	14	(507.68, 88.33, 0.00),	(374.60, 319.59),	2.46
M 241.29761	16	(15.93, 380.53, 0.00),	(896.94, 556.12),	5.97
M 242.17577	0	(495.60, 914.71, 0.00),	(245.25, 460.04),	8.68
M 254.90732	21	(380.16, 993.98, 0.00),	(725.73, 20.20),	4.14
M 255.05776	12	(985.90, 377.39, 0.00),	(961.47, 289.21),	1.31
M 258.70808	27	(981.72, 936.50, 0.00),	(735.23, 225.53),	7.56
M 258.85736	2	(952.46, 420.58, 0.00),	(712.87, 232.82),	4.86
M 272.78462	17	(281.28, 619.82, 0.00),	(602.81, 142.95),	2.07
M 275.02356	28	(491.77, 314.22, 0.00),	(220.96, 330.66),	7.52
M 276.69154	13	(822.04, 92.00, 0.00),	(103.92, 215.17),	0.16
M 278.04743	24	(473.01, 233.21, 0.00),	(537.44, 882.38),	0.94
M 279.37122	9	(468.57, 136.70, 0.00),	(844.43, 630.66),	9.10
M 280.34717	26	(841.79, 265.85, 0.00),	(903.33, 212.10),	2.86
M 284.02408	10	(180.95, 35.83, 0.00),	(655.48, 19.74),	0.24
M 301.97039	0	(245.25, 460.04, 0.00),	(795.86, 593.79),	1.76
M 308.91650	26	(903.33, 212.10, 0.00),	(930.85, 792.97),	0.26
M 311.10876	28	(220.96, 330.66, 0.00),	(642.49, 669.41),	5.61
M 321.45961	2	(712.87, 232.82, 0.00),	(340.23, 31.40),	0.93
M 323.20312	8	(334.53, 310.69, 0.00),	(319.88, 201.76),	4.52
M 324.76111	12	(961.47, 289.21, 0.00),	(622.93, 85.15),	2.63
M 333.59164	22	(870.57, 6.25, 0.00),	(47.95, 318.17),	0.98
M 347.51529	8	(319.88, 201.76, 0.00),	(203.01, 524.49),	2.41
M 347.54682	9	(844.43, 630.66, 0.00),	(534.05, 509.54),	0.45
M 348.52432	14	(374.60, 319.59, 0.00),	(769.16, 959.21),	1.74
M 350.28285	11	(608.48, 57.89, 0.00),	(222.03, 42.78),	6.13
M 358.23895	27	(735.23, 225.53, 0.00),	(359.12, 193.41),	1.78
M 391.80709	16	(896.94, 556.12, 0.00),	(124.62, 788.77),	3.69
M 396.76170	29	(139.09, 796.26, 0.00),	(357.93, 371.53),	4.34
M 407.54990	28	(642.49, 669.41, 0.00),	(966.54, 536.50),	0.91
M 413.38318	11	(222.03, 42.78, 0.00),	(946.65, 349.85),	3.35
M 418.42083	3	(87.38, 757.35, 0.00),	(398.93, 12.94),	4.92
M 431.40811	20	(241.06, 724.79, 0.00),	(734.51, 926.02),	7.66
M 474.95389	12	(622.93, 85.15, 0.00),	(280.66, 416.46),	1.41
M 490.17544	8	(203.01, 524.49, 0.00),	(568.60, 626.22),	2.60
M 500.97186	20	(734.51, 926.02, 0.00),	(51.61, 752.53),	0.32
M 504.76312	21	(725.73, 20.20, 0.00),	(66.22, 985.61),	4.58
M 506.77880	29	(357.93, 371.53, 0.00),	(501.96, 700.72),	6.26
M 541.19951	1	(23.42, 571.04, 0.00),	(194.90, 646.41),	6.75
M 551.29541	17	(602.81, 142.95, 0.00),	(557.27, 942.86),	6.46
M 564.22038	29	(501.96, 700.72, 0.00),	(169.65, 215.97),	3.22
M 568.93747	1	(194.90, 646.41, 0.00),	(344.46, 248.93),	4.19
M 569.81150	27	(359.12, 193.41, 0.00),	(571.94, 789.81),	3.52
M 582.33057	3	(398.93, 12.94, 0.00),	(671.59, 853.03),	0.59
M 599.66747	4	(248.97, 214.46, 0.00),	(87.17, 921.59),	6.41
M 610.38289	16	(124.62, 788.77, 0.00),	(379.18, 706.64),	8.78
M 623.59285	0	(795.86, 593.79, 0.00),	(925.93, 547.39),	2.47
M 636.08598	8	(568.60, 626.22, 0.00),	(451.42, 313.18),	6.20



M 640.83149	16	(379.18, 706.64, 0.00),	(612.21, 10.49),	3.93
M 648.51645	11	(946.65, 349.85, 0.00),	(197.87, 966.71),	3.26
M 670.34597	1	(344.46, 248.93, 0.00),	(922.19, 550.92),	7.91
M 675.26446	17	(557.27, 942.86, 0.00),	(780.65, 857.74),	8.94
M 679.58439	0	(925.93, 547.39, 0.00),	(394.97, 727.91),	2.55
M 689.97125	8	(451.42, 313.18, 0.00),	(929.16, 811.73),	0.60
M 702.01899	17	(780.65, 857.74, 0.00),	(73.90, 489.34),	5.82
M 712.91032	4	(87.17, 921.59, 0.00),	(584.44, 696.31),	7.76
M 746.96673	29	(169.65, 215.97, 0.00),	(977.82, 347.74),	5.28
M 749.52022	27	(571.94, 789.81, 0.00),	(244.71, 410.32),	4.96
M 752.74301	1	(922.19, 550.92, 0.00),	(864.41, 139.90),	3.04
M 760.17873	21	(66.22, 985.61, 0.00),	(645.61, 356.62),	3.16
M 778.16275	2	(340.23, 31.40, 0.00),	(638.59, 975.22),	8.86
M 779.79579	14	(769.16, 959.21, 0.00),	(819.03, 814.00),	4.38
M 783.23274	4	(584.44, 696.31, 0.00),	(488.33, 381.18),	3.84
M 793.06429	28	(966.54, 536.50, 0.00),	(736.23, 947.84),	0.47
M 812.72082	12	(280.66, 416.46, 0.00),	(17.66, 699.86),	8.14
M 814.87130	14	(819.03, 814.00, 0.00),	(805.97, 95.43),	7.61
M 827.86765	16	(612.21, 10.49, 0.00),	(266.99, 169.61),	8.26
M 839.03098	17	(73.90, 489.34, 0.00),	(348.50, 333.57),	1.64
M 850.60155	27	(244.71, 410.32, 0.00),	(311.86, 272.74),	8.04
M 860.24662	12	(17.66, 699.86, 0.00),	(684.78, 591.79),	6.33
M 869.09857	4	(488.33, 381.18, 0.00),	(423.41, 319.41),	5.84
M 869.64546	27	(311.86, 272.74, 0.00),	(185.07, 329.24),	2.17
M 873.90594	16	(266.99, 169.61, 0.00),	(940.90, 307.90),	2.90
M 884.44348	4	(423.41, 319.41, 0.00),	(656.72, 160.15),	5.70
M 889.47694	1	(864.41, 139.90, 0.00),	(324.22, 640.06),	9.84
M 889.89624	2	(638.59, 975.22, 0.00),	(296.51, 965.33),	6.17
M 899.15235	0	(394.97, 727.91, 0.00),	(877.56, 976.16),	6.70
M 902.17727	29	(977.82, 347.74, 0.00),	(833.78, 211.06),	7.78
M 909.37184	14	(805.97, 95.43, 0.00),	(869.96, 103.62),	3.47
M 927.69019	29	(833.78, 211.06, 0.00),	(81.27, 630.29),	9.61
M 927.98854	14	(869.96, 103.62, 0.00),	(286.87, 906.70),	0.67
M 928.60904	6	(299.08, 861.64, 0.00),	(275.32, 844.08),	6.65
M 933.05423	6	(275.32, 844.08, 0.00),	(675.59, 17.67),	0.29
M 933.52693	27	(185.07, 329.24, 0.00),	(765.05, 902.76),	8.18
M 934.00052	4	(656.72, 160.15, 0.00),	(8.63, 71.53),	4.85
M 945.34253	2	(296.51, 965.33, 0.00),	(776.15, 980.53),	6.09
M 945.68388	11	(197.87, 966.71, 0.00),	(930.16, 487.93),	0.76
M 964.28529	1	(324.22, 640.06, 0.00),	(173.23, 484.67),	1.96
M 967.05557	12	(684.78, 591.79, 0.00),	(138.04, 843.50),	6.81
M 969.91372	24	(537.44, 882.38, 0.00),	(565.54, 425.42),	9.68
M 980.12968	0	(877.56, 976.16, 0.00),	(547.92, 393.38),	1.32
D 1000.00000000	5	IFQ END 0 AODV 44 [13a 5 5 800]		

[25:255 8:255 26 23] [0x4 8 [18 4] 9.000000] (REPLY)



LAMPIRAN 4 FILE AWK

```

# AWK Script for Packet Delivery Calculation for OLD Trace Format

BEGIN {
    sendLine = 0;
    recvLine = 0;
    fowardLine = 0;
}

$0 ~ /^s.* AGT/ {
    sendLine ++;
}

$0 ~ /^r.* AGT/ {
    recvLine ++;
}

$0 ~ /^f.* RTR/ {
    fowardLine ++;
}

END {
    printf "Packet Sent :%d",sendLine;
    printf "\nPacket Received :%d",recvLine;
    printf "\nPacket Loss :%d",sendLine-recvLine;
    print "\nPacket Loss : ((sendLine-recvLine)/sendLine)*100 " "%";
    print "Packet Delivery Ratio : (recvLine/sendLine)*100 " "%";
}

# The BEGIN section, as noted above, is unnecessary.
{
    event = $1
    time = $2
    node_id = $3
    pkt_size = $8
    level = $4

    if (level == "AGT" && event == "s" && $7 == "cbr") {
        sent++
        # Note the change in the next line. This initializes the startTime
        with the first encountered "time" value.
        if (!startTime || (time < startTime)) {
            startTime = time
        }
    }

    if (level == "AGT" && event == "r" && $7 == "cbr") {
        receive++
        if (time > stopTime) {
            stopTime = time
        }
        recvdSize += pkt_size
    }
}

```

```
END {
    printf("Average Throughput[kbps] =
%.2f\tStartTime=%.2f\tStopTime = %.2f\n", (recvdSize/(stopTime-
startTime))*(8/1000),startTime,stopTime);
}
BEGIN {
    seqno = -1;

    count = 0;
}
{
    if($4 == "AGT" && $1 == "s" && seqno < $6) {
        seqno = $6;
    }
    #end-to-end delay
    if($4 == "AGT" && $1 == "s") {
        start_time[$6] = $2;
    } else if(($7 == "cbr" && ($1 == "r"))) {
        end_time[$6] = $2;
    } else if($1 == "D" && $7 == "cbr") {
        end_time[$6] = -1;
    }
}
END {
    for(i=0; i<=seqno; i++) {
        if(end_time[i] > 0) {
            delay[i] = end_time[i] - start_time[i];
            count++;
        }
        else
        {
            delay[i] = -1;
        }
    }
}
```

```
}  
}  
for(i=0; i<count; i++) {  
    if(delay[i] > 0) {  
        n_to_n_delay = n_to_n_delay + delay[i];  
    }  
}  
n_to_n_delay = n_to_n_delay / count;  
print "End-to-End Delay = " n_to_n_delay * 1000 " ms";  
}
```

